



Universidade de Brasília – UnB
Faculdade UnB Gama – FGA
Engenharia Aeroespacial

**Caracterização de incertezas no
comportamento dinâmico de mangueiras
pressurizadas para aplicações aeroespaciais**

Autor: Nivaldo Pereira Lopo Junior
Orientador: Prof. Dr. Sergio Henrique da Silva Carneiro

Brasília, DF
2017



Nivaldo Pereira Lopo Junior

**Caracterização de incertezas no comportamento
dinâmico de mangueiras pressurizadas para aplicações
aeroespaciais**

Monografia submetida ao curso de graduação em Engenharia Aeroespacial da Universidade de Brasília, como requisito parcial para obtenção do Título de Bacharel em Engenharia Aeroespacial.

Universidade de Brasília – UnB

Faculdade UnB Gama – FGA

Orientador: Prof. Dr. Sergio Henrique da Silva Carneiro

Brasília, DF

2017

Nivaldo Pereira Lopo Junior

Caracterização de incertezas no comportamento dinâmico de mangueiras pressurizadas para aplicações aeroespaciais/ Nivaldo Pereira Lopo Junior. – Brasília, DF, 2017-

121 p. : il. (algumas color.) ; 30 cm.

Orientador: Prof. Dr. Sergio Henrique da Silva Carneiro

Trabalho de Conclusão de Curso – Universidade de Brasília – UnB
Faculdade UnB Gama – FGA , 2017.

1. Mangueira Flexível. 2. Vibração. I. Prof. Dr. Sergio Henrique da Silva Carneiro. II. Universidade de Brasília. III. Faculdade UnB Gama. IV. Caracterização de incertezas no comportamento dinâmico de mangueiras pressurizadas para aplicações aeroespaciais

CDU 02:141:005.6

Nivaldo Pereira Lopo Junior

Caracterização de incertezas no comportamento dinâmico de mangueiras pressurizadas para aplicações aeroespaciais

Monografia submetida ao curso de graduação em Engenharia Aeroespacial da Universidade de Brasília, como requisito parcial para obtenção do Título de Bacharel em Engenharia Aeroespacial.

Trabalho aprovado. Brasília, DF, 08 de Dezembro de 2017:

**Prof. Dr. Sergio Henrique da Silva
Carneiro**
Orientador

Prof. Dr. Artem Andrianov
Convidado 1

Prof. Dr. Cristian Vendittozzi
Convidado 2

Brasília, DF
2017

Agradecimentos

Primeiramente gostaria de agradecer aos meus pais, Maria do Carmo e Nivaldo Lopo, por tornar todas as conquistas em minha vida possíveis, em especial minha graduação em Engenharia Aeroespacial, me dando todo o suporte necessário com muito amor e dedicação.

Agradeço também à minha fiel companheira Camila Cardador por estar ao meu lado e nos momentos mais difíceis me motivar e me manter focado nessa reta final da graduação, além de me confortar com os melhores abraços.

A todo o corpo docente do curso que me apresentou com maestria o mundo da engenharia aeroespacial me inspirando a seguir esta carreira com paixão e vontade. Ao Professor Sergio Carneiro pela paciência, ajuda e compreensão, pelas conversas e orientações durante a realização desta monografia e aos professores Artem Andrianov, Chantal Cappelletti, Artur Bertoldi, Jungpyo Lee, Olexiy Shynkarenko, Manuel Barcelos, Paolo Gessini, Domenico Simone, Sébastien Rondineau e Cristian Vendittozzi por me ajudarem e compartilharem seus conhecimentos me permitindo também aplicar todo seu ensinamento.

Obrigado aos meus amigos Lui Txai, Luan Henrique, Hermes William, Nícollas Diniz, Beatriz Liberino, Luan Guimarães, Felipe Duerno, Igor Kinoshita, Matheus Cabral, Lucas Germano, José Eduardo e Reges Matheus por todas as conversas e momentos que tenho certeza terem sido essenciais para minha vontade e persistência em perseguir e não desistir deste sonho.

“Isto não é voar, isto é cair com estilo”

Toy Story

Resumo

Uma particularidade de sistemas propulsivos com propelentes líquidos e/ou gasosos é a possível existência de mangueiras flexíveis, estas presentes em locais onde será necessária a movimentação de partes estruturais do foguete. A geometria interna das mangueiras flexíveis é extremamente favorável a possíveis curvas ou pequenos deslocamentos das mesmas, porém tem como grande contrapartida a possível existência de vibrações induzidas pelo escoamento interno. O presente trabalho apresenta um estudo do efeito de incertezas nos parâmetros construtivos e operacionais sobre o comportamento dinâmico das mangueiras flexíveis. A análise é feita a partir da aplicação de simulações de Monte Carlo sobre um método encontrado na literatura que descreve o fenômeno vibratório das mangueiras flexíveis. O método é implementado em um algoritmo computacional e é feita primeiramente uma análise de sensibilidade dos parâmetros utilizados seguida da realização de casos de randomização dos parâmetros geométricos e operacionais da mangueira, tais casos mostram que mesmo operando nominalmente, fora do regime vibratório, mangueiras flexíveis estão suscetíveis ao acoplamento fluido-estrutural devido a incerteza dos parâmetros descritivos das mesmas.

Palavras-chaves: Mangueira Flexível. Vibração. Incerteza. Monte Carlo.

Abstract

A particularity of liquid and/or gaseous propulsive systems is the possible existence of flexible hoses, those present in places where the mobility of some of the rocket structures are needed. The internal geometry of flexible hoses is extremely favorable to possible curves and small displacements of themselves, but has a major counterpart: the possible existence of internal flow-induced vibrations. The present project presents a study about the uncertainty effects on constructive and operational parameters on the dynamic behavior of flexible hoses. The analysis is made from the application of Monte Carlo simulations over a method found in literature that describes the vibrating phenomenon of the flexible hoses. The method is implemented in a computational algorithm and a sensitivity analysis of the parameters used is performed, followed by cases of randomization of the geometric and operational parameters of the hose, such cases showed that even operating in nominal condition, out of the vibration regime, flexible hoses are susceptible to fluid-structural coupling duo to uncertainty of some of their parameters.

Key-words: Flexible Hose. Vibration. Uncertainty. Monte Carlo.

Lista de ilustrações

| | |
|---|----|
| Figura 1 – Esquema da seção transversal da mangueira ¹ | 23 |
| Figura 2 – Mangueira flexível ² | 24 |
| Figura 3 – Parâmetros das convoluções ³ | 24 |
| Figura 4 – Nomenclatura das convoluções ⁴ | 29 |
| Figura 5 – Sequência de eventos de acoplamento fluido estrutural ⁵ | 30 |
| Figura 6 – Modelo mecânico da mangueira flexível ⁶ | 31 |
| Figura 7 – Modo de vibração em fase ⁷ | 32 |
| Figura 8 – Modo de vibração fora de fase ⁸ | 32 |
| Figura 9 – Ilustração do modo de flexão local ⁹ | 32 |
| Figura 10 – Fluxograma do <i>script main.py</i> | 41 |
| Figura 11 – Retorno do <i>script main.py</i> | 42 |
| Figura 12 – Distribuição de velocidades na análise de sensibilidade de σ | 43 |
| Figura 13 – Distribuição de velocidades na análise de sensibilidade de h | 44 |
| Figura 14 – Distribuição de velocidades na análise de sensibilidade de t | 45 |
| Figura 15 – Distribuição de velocidades na análise de sensibilidade de D_i | 46 |
| Figura 16 – Distribuição de velocidades na análise de sensibilidade de E | 47 |
| Figura 17 – Distribuição de velocidades na análise de sensibilidade de ρ_m | 48 |
| Figura 18 – Distribuição de velocidades na análise de sensibilidade de \dot{m} | 49 |
| Figura 19 – Distribuição de velocidades na análise de sensibilidade de ρ_f | 50 |
| Figura 20 – Fluxograma do <i>script Monte-Carlo-Analysis.py</i> | 53 |
| Figura 21 – Distribuição de velocidades na simulação 01 | 54 |
| Figura 22 – Distribuição de velocidades na simulação 02 | 55 |
| Figura 23 – Distribuição de velocidades na simulação 03 | 55 |
| Figura 24 – Distribuição de velocidades na simulação 04 | 56 |
| Figura 25 – Distribuição de velocidades na simulação 05 | 56 |
| Figura 26 – Distribuição de velocidades na simulação 06 | 57 |
| Figura 27 – Distribuição de velocidades na simulação 07 | 57 |
| Figura 28 – Distribuição de velocidades na simulação 08 | 58 |
| Figura 29 – Distribuição de velocidades na simulação 09 | 58 |
| Figura 30 – Distribuição de velocidades na simulação 10 | 59 |
| Figura 31 – Histogramas - parâmetro h | 60 |
| Figura 32 – Histogramas - parâmetro D_i | 61 |
| Figura 33 – Relação entre o desvio padrão em h e a porcentagem de acoplamento | 62 |
| Figura 34 – Relação entre o desvio padrão em D_i e a porcentagem de acoplamento | 62 |
| Figura 35 – Histograma variando h usando 35% de h como desvio padrão | 63 |

Lista de tabelas

| | |
|--|----|
| Tabela 1 – Porcentagem de acoplamento em cada modo de vibração | 51 |
| Tabela 2 – Análise de sensibilidade, velocidade inferior para modo em fase | 51 |
| Tabela 3 – Análise de sensibilidade, velocidade inferior para modo fora de fase | 51 |
| Tabela 4 – Análise de sensibilidade, velocidade inferior para modo de flexão local | 52 |
| Tabela 5 – Análise de sensibilidade, velocidade do escoamento | 52 |
| Tabela 6 – Casos simulados pelo Método de Monte Carlo | 54 |
| Tabela 7 – Resultado simulações de Monte Carlo | 59 |

Lista de abreviaturas e siglas

| | |
|------|---|
| EUA | Estados Unidos da América |
| NASA | <i>National Aeronautics and Space Administration</i> |
| MSFC | <i>Marshall Space Flight Center</i> |
| SwRI | <i>Southwest Research Institute</i> |
| TCC | Trabalho de Conclusão de Curso |
| FNCO | Primeiro número de frequência do modo acústico radial |
| CEE | Constante elástica específica |
| MMC | Método de Monte Carlo |
| FDP | Função de densidade de probabilidade |

Lista de símbolos

| | |
|----------------|--|
| σ | Comprimento da convolução |
| λ | Passo entre as convoluções |
| h | Altura das convoluções |
| t | Espessura das convoluções |
| δ | Espaço entre convoluções = $\lambda - \sigma$ |
| a | Raio médio da convolução |
| S | Número de Strouhal |
| $S_{\sigma i}$ | Limite inferior de Strouhal = 0.1 |
| $S_{\sigma c}$ | Valor crítico de Strouhal = 0.2 |
| $S_{\sigma s}$ | Limite superior de Strouhal = 0.3 |
| f | Frequência |
| f_{EF} | Frequência para modo em-fase |
| f_{FF} | Frequência para modo fora-de-fase |
| f_{FL} | Frequência para o modo de flexão local |
| f_{acous} | Frequência primeiro modo ressonância acústica radial |
| V | Velocidade |
| V_e | Velocidade do escoamento |
| V_s | Velocidade do som no meio |
| V_{acous} | Velocidade primeiro modo ressonância acústica radial |
| V_I | Limite inferior de velocidade |
| V_C | Valor crítico de velocidade |
| V_S | Limite superior de velocidade |
| l | Comprimento específico |

| | |
|------------|--|
| k | Constante elástica de meia convolução |
| K_a | Constante elástica de uma convolução inteira |
| D_i | Diametro interno da mangueira |
| D_e | Diametro externo da mangueira |
| D_m | Diametro médio da mangueira = $(D_i + D_e)/2$ |
| E | Módulo de Elasticidade |
| N_p | Número de camadas das convoluções |
| m_m | Massa do material de uma convolução |
| m_{EF} | Massa de fluido para modo em-fase |
| m_{FF} | Massa de fluido para modo fora-de-fase |
| ρ_f | Densidade do fluido |
| ρ_m | Densidade do material das convoluções |
| r_i | Raio interno = $D_i/2$ |
| T_{esc} | Tensão induzida pelo escoamento |
| $T_{esc}C$ | Tensão induzida pelo escoamento corrigida |
| FC | Fator de correção |
| P_D | Pressão dinâmica |
| C_{NP} | Coefficiente de N_p modificador de amortecimento |
| C_c | Coefficiente de cotovelo amplificador de tensão |

Sumário

| | | |
|-------------|---|-----------|
| 1 | INTRODUÇÃO | 23 |
| 1.1 | Contextualização | 23 |
| 1.1.1 | Mangueiras Flexíveis | 23 |
| 1.1.2 | Vibração induzida pelo escoamento em mangueiras flexíveis | 24 |
| 1.1.3 | Incerteza dos parâmetros utilizados | 25 |
| 1.2 | Objetivos | 26 |
| 1.2.1 | Objetivo geral | 26 |
| 1.2.2 | Objetivos específicos | 26 |
| 1.3 | Organização do trabalho | 26 |
| 2 | REFERENCIAL TEÓRICO | 29 |
| 2.1 | Nomenclatura | 29 |
| 2.2 | Instabilidade Fluido Estrutural | 30 |
| 2.3 | Número de Strouhal | 31 |
| 2.4 | Modelo Mecânico | 31 |
| 2.4.1 | Constante elástica (k) | 33 |
| 2.4.2 | Massa (m) | 33 |
| 2.4.3 | Frequências | 33 |
| 2.5 | Intervalos de excitação | 34 |
| 2.6 | Primeiro modo de ressonância acústica radial | 34 |
| 2.7 | Cálculo de tensões | 35 |
| 2.8 | Fator de correção | 37 |
| 2.9 | Método de Monte Carlo | 37 |
| 2.10 | Distribuição Gama | 38 |
| 3 | METODOLOGIA | 39 |
| 3.1 | Implementação computacional do método | 39 |
| 3.2 | Análise de sensibilidade | 39 |
| 3.3 | Simulação de Monte Carlo | 40 |
| 3.3.1 | Análise de influência do desvio padrão | 40 |
| 3.3.2 | Geração de histogramas | 40 |
| 3.4 | Valores nominais dos parâmetros | 40 |
| 4 | RESULTADOS | 41 |
| 4.1 | Implementação | 41 |
| 4.2 | Análise de sensibilidade | 43 |

| | | |
|-----|---|------------|
| 4.3 | Simulação de Monte Carlo | 52 |
| 4.4 | Distribuições de entrada e saída | 60 |
| 4.5 | Interferência do desvio padrão da entrada | 61 |
| 5 | CONCLUSÃO | 65 |
| | REFERÊNCIAS | 67 |
| | APÊNDICES | 69 |
| | APÊNDICE A – VALORES NOMINAIS UTILIZADOS | 71 |
| A.1 | Parâmetros utilizados na validação da implementação em 4.1 | 71 |
| A.2 | Valores nominais dos parâmetros utilizados em 4.2, 4.3, 4.4 e 4.5 | 72 |
| | APÊNDICE B – FLEXHOSE.PY | 73 |
| | APÊNDICE C – FLUID.PY | 75 |
| | APÊNDICE D – EQUATIONS.PY | 77 |
| | APÊNDICE E – MAIN.PY | 83 |
| | APÊNDICE F – SENSIBILITY-TEST-VEL.PY | 85 |
| | APÊNDICE G – MONTE-CARLO-ANALYSIS.PY | 109 |
| | APÊNDICE H – HISTOGRAMA-IO-H.PY | 111 |
| | APÊNDICE I – HISTOGRAMA-IO-DI.PY | 113 |
| | APÊNDICE J – SD-ANALYSIS-H.PY | 115 |
| | APÊNDICE K – SD-ANALYSIS-DI.PY | 119 |

1 Introdução

Este capítulo tem como objetivo uma apresentação inicial do presente trabalho, desde uma contextualização da problemática aqui envolvida até uma breve descrição dos objetivos desta monografia.

1.1 Contextualização

1.1.1 Mangueiras Flexíveis

Uma particularidade de sistemas propulsivos com propelentes líquidos e/ou gasosos é a possível existência de mangueiras flexíveis, estas presentes em locais onde será necessária a movimentação de partes estruturais do foguete. Durante a concepção de todo o conjunto propulsivo o projetista deve utilizar o menor número possível de seções flexíveis e posicioná-las de maneira a ter-se a maior movimentação possível do sistema como um todo, com a menor movimentação possível das seções flexíveis, evitando altos níveis de tensão nos componentes (HUZEL; HUANG, 1992).

As mangueiras flexíveis estudadas nesse documento correspondem a uma sequência de convoluções metálicas envolvidas por uma trança, também metálica, como mostram as Figs. 1 e 2, de forma que o movimento do topo das convoluções é limitado pela trança.

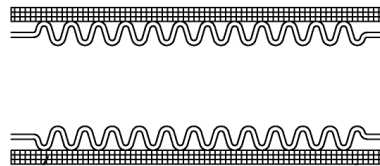


Figura 1 – Esquema da seção transversal da mangueira¹.

Os parâmetros que descrevem as convoluções são: comprimento da convolução, σ , passo entre as convoluções, λ , altura das convoluções, h e a espessura das convoluções, t , como mostra a Fig. 3. Somados a esses parâmetros, tem-se também os diâmetros interno e externo da mangueira, levando em consideração apenas as convoluções, sem a trança externa. As mangueiras podem, também, possuir uma ou mais camadas de convoluções.

¹ Adaptada de Cap, Urquidi e Canzona (2013).



Figura 2 – Mangueira flexível².

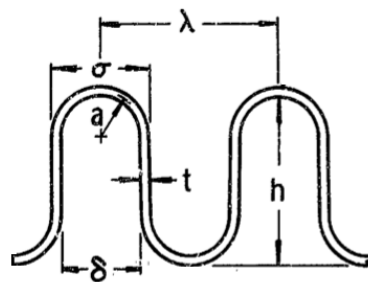


Figura 3 – Parâmetros das convoluções³.

1.1.2 Vibração induzida pelo escoamento em mangueiras flexíveis

A geometria interna das mangueiras flexíveis é extremamente favorável a possíveis curvas ou pequenos deslocamentos das mesmas, porém tem como grande contrapartida a possível existência de vibrações induzidas pelo escoamento interno nas convoluções da mangueira. Esse tipo de vibração pode levar a falhas por fadiga, forçando desligamento prematuro de sistemas críticos de fluidos (GERLACH, 1969). A importância desse tópico foi descoberta em investigações da causa de falha de uma mangueira flexível no voo AS-502 do foguete *Saturn* (BASS III et al., 1970), onde acredita-se que esse tipo de vibração em seções da linha de combustível causou o mal funcionamento dos motores foguete *Rocketdyne J-2* (DOUGHERTY JR; RAFFERTY, 1968).

Os métodos mais comuns para corrigir aplicações não sucedidas de mangueiras flexíveis são tanto o uso de um forro interno, quando possível, ou o uso de convoluções com camada mais espessa ou mais de uma camada. Este último método, no entanto, nem sempre previne a ocorrência de vibrações induzidas pelo escoamento e a inserção de um forro interno geralmente leva ao acréscimo do peso e custo dos componentes. É desejável, portanto, do ponto de vista do projetista, o uso de um procedimento analítico que permita a predição de zonas de escoamento críticas para certa configuração de convoluções em

² Disponível em: <<https://goo.gl/images/aaJ1Q7>>.

³ Adaptado de Gerlach e Schroeder (1969).

uma mangueira flexível, possibilitando, também, o posterior cálculo do nível de tensão resultante da excitação fluídica em tais zonas críticas (GERLACH, 1969).

Dada tamanha importância do bom funcionamento das mangueiras flexíveis em aplicações aeroespaciais, onde a falha do sistema de propulsão pode levar a perda total da missão, ou ainda mais grave em missões tripuladas, ao óbito, foi iniciado pelo *Southwest Research Institute* (SwRI) nos EUA um estudo do fenômeno de vibração das convoluções de linhas flexíveis, os primeiros resultados desse estudo são descritos por Gerlach e Schroeder (1969).

A análise foi realizada por meio da experimentação de diversas amostras de convoluções, com e sem a trança externa, onde cada espécime possuía um medidor de tensão conectado ao topo da convolução. Foi então observado que a causa dos problemas relacionados a vibração induzida pelo escoamento provém de uma instabilidade fluido-elástica, com o acoplamento do derramamento de vórtice nos topos das convoluções com os modos de vibração naturais da estrutura (GERLACH; SCHROEDER, 1969).

Com o interesse, e financiamento, da agência espacial norte-americana (NASA) essa pesquisa foi mantida com aprimoramento dos métodos para cálculo das zonas críticas de excitação de linhas flexíveis, além de melhoras no método empírico para cálculo dos níveis de tensão exercidos nas convoluções, tais estudos são descritos por Johnson et al. (1979) e Tygielski, Smyly e Gerlach (1983). Com todo o conhecimento levantado por meio de tais pesquisas, o *Marshall Space Flight Center* (MSFC) desenvolveu um documento descritivo para a avaliação de linhas flexíveis com vibrações induzidas pelo escoamento (MSFC, 1992), tal documento é utilizado pela NASA em aplicações atuais, como em NASA (2016).

Nos estudos do fenômeno de vibração de linhas flexíveis, realizados por Gerlach e Schroeder (1969), Bass III et al. (1970), Johnson et al. (1979), Tygielski, Smyly e Gerlach (1983) foram analisadas mangueiras flexíveis e foles metálicos, que correspondem a convoluções metálicas sem a presença da trança externa. Nesse trabalho, porém, foi realizada a análise de incertezas somente em mangueiras flexíveis.

1.1.3 Incerteza dos parâmetros utilizados

Para a avaliação dos modos de vibração das mangueiras flexíveis, MSFC (1992) utiliza das dimensões físicas que descrevem as convoluções, além de características específicas tanto do material da mangueira como do fluido. Tais parâmetros possuem uma incerteza em seus valores, esta incerteza provém, no caso das dimensões, do método de fabricação das mangueiras, já em relação as características do fluido podem haver variações de pressão e temperatura ao longo do percurso da mangueira, além de uma indefinição do valor preciso da rigidez do material. Essas incertezas, podem, portanto, influenciar no

fenômeno de vibração das linhas flexíveis.

1.2 Objetivos

1.2.1 Objetivo geral

Este trabalho tem por objetivo investigar o efeito de incertezas nos parâmetros construtivos e operacionais sobre o comportamento dinâmico de mangueiras flexíveis pressurizadas utilizadas em sistemas propulsivos de veículos espaciais.

1.2.2 Objetivos específicos

De maneira a alcançar o escopo do trabalho aqui descrito, são estabelecidos os seguintes objetivos específicos:

- (a) Estudar o problema de vibração em linhas flexíveis de sistemas propulsivos.
- (b) Analisar o atual método implementado pela NASA para validação de linhas flexíveis.
- (c) Implementar este método analítico/empírico em linguagem computacional.
- (d) Realizar análise de sensibilidade dos parâmetros utilizados no método.
- (e) Implementar o método de Monte Carlo em linguagem computacional.
- (f) Realizar simulações de Monte Carlo para análise de incertezas nos parâmetros construtivos e operacionais da mangueira flexível.
- (g) Analisar distribuições de probabilidade nos parâmetros de entrada e saída do método.

1.3 Organização do trabalho

No capítulo 2 deste trabalho encontra-se toda a descrição do método utilizado para análise de vibrações induzidas pelo escoamento em mangueiras flexíveis, além da descrição do método utilizado para investigação de incertezas nos parâmetros governantes do problema.

No capítulo 3 é apresentada a metodologia aplicada na realização do presente trabalho, citando as ferramentas utilizadas no mesmo.

No capítulo 4 são apresentados os resultados e discussões das análises e simulações realizadas na presente monografia.

O capítulo 5 faz uma síntese do presente trabalho, com uma análise final dos resultados obtidos. Além de apresentar outros possíveis estudos relacionados ao tema aqui analisado.

2 Referencial Teórico

Ao longo deste capítulo será explicado o método utilizado para avaliação do fenômeno de vibração das mangueiras flexíveis, além de uma breve explicação do método utilizado para análise de incerteza dos parâmetros de entrada no cálculo.

2.1 Nomenclatura

Os parâmetros utilizados para descrição da geometria das mangueiras flexíveis que são aplicados nas equações que descrevem o problema de vibração nas mesmas estão especificados na Fig. 4

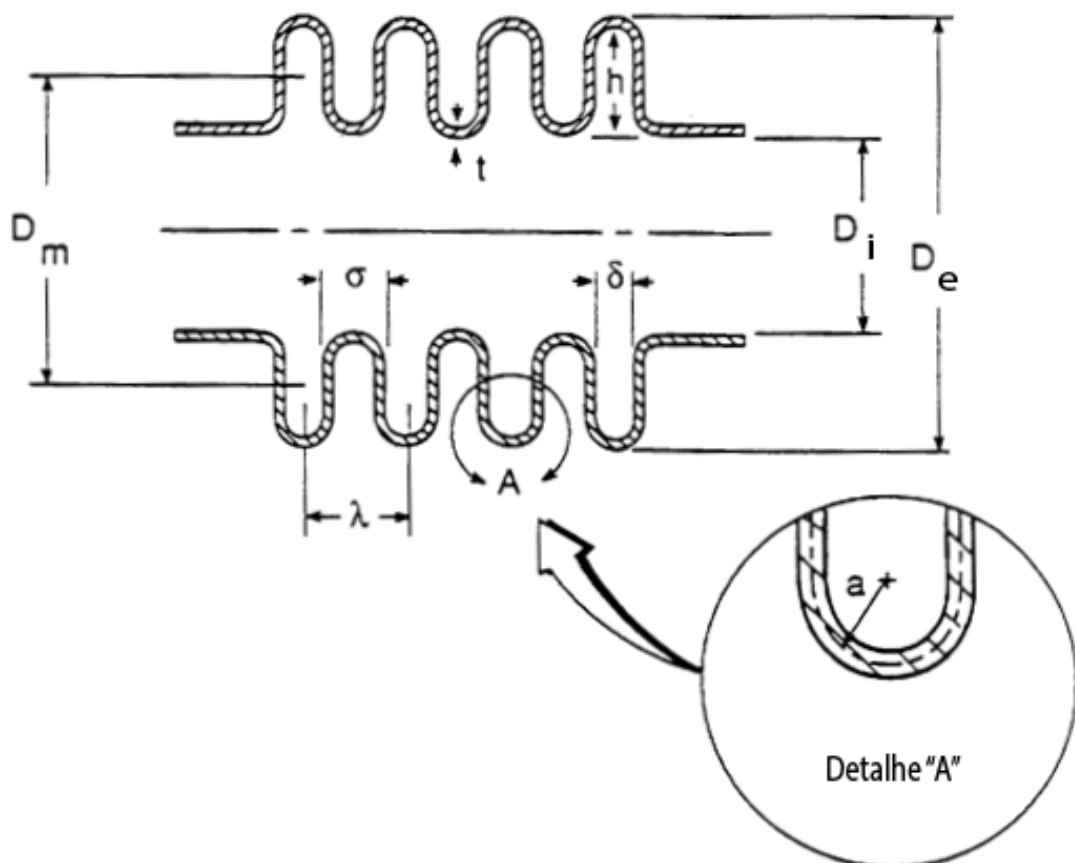


Figura 4 – Nomenclatura das convoluções¹.

¹ Adaptada de MSFC (1992).

N_p = Número de camadas

D_m = Diâmetro médio

D_i = Diâmetro interno

D_e = Diâmetro externo

t = Espessura da camada

λ = Passo entre as convoluções

σ = Comprimento da convolução

a = Raio médio da convolução

h = Altura das convoluções

δ = Espaço entre convoluções

2.2 Instabilidade Fluido Estrutural

O fenômeno de vibração das convoluções de mangueiras flexíveis trata-se de um problema de instabilidade fluido-estrutural, onde a estrutura (convoluções) deve estar em movimento para causar atividade dinâmica de vórtice, ao passo que é necessária a existência de vórtices para geração de vibração estrutural, formando assim um evento não linear (TYGIELSKI; SMYLY; GERLACH, 1983). Este fenômeno é exemplificado na Fig.

5

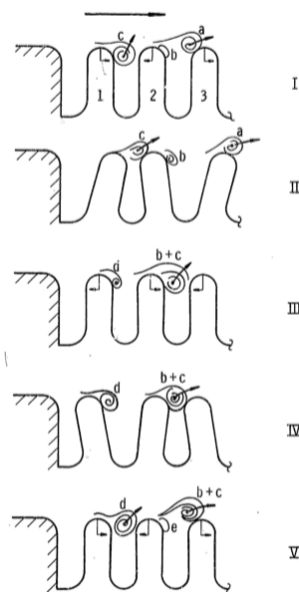


Figura 5 – Sequência de eventos de acoplamento fluido estrutural ².

² Fonte: Gerlach e Schroeder (1969).

2.3 Número de Strouhal

Para determinada mangueira, com uma dada geometria interna, existem certas velocidades de escoamento que proporcionam máxima amplitude de excitação das convoluções em um modo de vibração correspondente. São, portanto, nessas velocidades que o processo de derramamento de vórtice possui melhor circunstância para fornecer energia do escoamento para o processo de vibração. Partindo desse fato, um ótimo método para correlacionar a frequência de vibração com a velocidade do escoamento e a geometria do sistema é através do número adimensional de Strouhal (S), da forma:

$$S = \frac{fl}{V} \quad (2.1)$$

onde f representa a frequência, V a velocidade do escoamento e l um comprimento específico, neste estudo será aplicado o comprimento da convolução σ (GERLACH; SCHROEDER, 1969).

2.4 Modelo Mecânico

Durante aplicação as mangueiras flexíveis tem o movimento longitudinal da base de suas convoluções limitado pela presença da trança externa, devido a pressão interna. Dessa forma a movimentação de uma convolução é independente das convoluções vizinhas. Com isso é possível modelar a dinâmica estrutural das convoluções como um sistema massa-mola engastado em ambas extremidades, como mostra a Fig. 6.

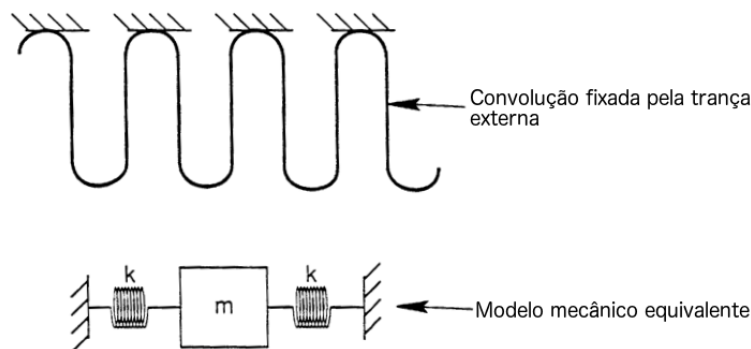


Figura 6 – Modelo mecânico da mangueira flexível³.

Analisando-se a partir desse modelo seria possível apenas um modo de vibração, no entanto, com a presença do fluido, dois modos de acoplamento fluido-estrutural se tornam possíveis (GERLACH, 1969). Estes modos são: o modo ‘em-fase’, onde todas as convoluções se movimentam de maneira uniforme (Fig. 7), e o modo ‘fora-de-fase’, onde as

³ Adaptada de MSFC (1992).

convoluções não possuem movimento uniforme, causando aceleração do fluido para dentro e fora das convoluções, com evidenciado na Fig. 8.

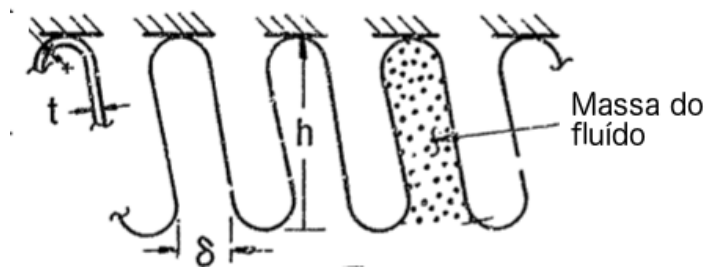


Figura 7 – Modo de vibração em fase⁴.

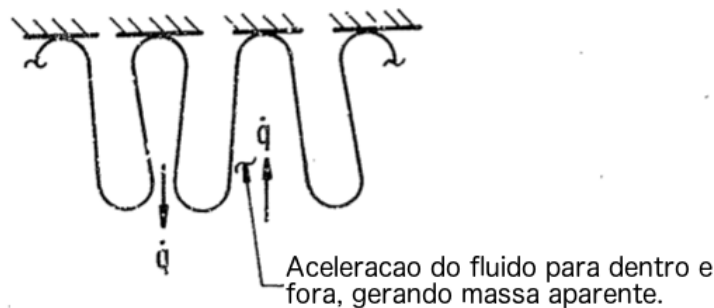


Figura 8 – Modo de vibração fora de fase⁵.

Tais modos se diferem na massa atribuída ao modelo, onde: para o modo ‘em-fase’ a massa adicionada pelo escoamento corresponde apenas a massa contida entre as convoluções, e no modo ‘fora-de-fase’ a massa não corresponde a um valor real e sim a um valor de massa aparente devido ao movimento do fluido.

Nos experimentos realizados por Gerlach e Schroeder (1969) foi também observado um modo de vibração de maior ordem, onde ocorre flexão local em cada convolução, como ilustra a Fig. 9, nesse modo a massa fluídica utilizada é a mesma no modo fora-de-fase.

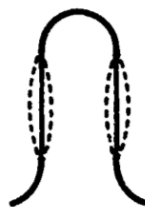


Figura 9 – Ilustração do modo de flexão local⁶.

⁴ Adaptada de Gerlach e Schroeder (1969).

⁵ Adaptada de Gerlach e Schroeder (1969).

⁶ Adaptada de Tygielski, Smyly e Gerlach (1983).

2.4.1 Constante elástica (k)

A constante elástica k para o referido modelo mecânico pode ser encontrada através da relação:

$$k = 2K_a \quad (2.2)$$

onde K_a corresponde a constante elástica para uma convolução inteira, preferencialmente determinada através de um ensaio com a mangueira flexível, quando tal ensaio não for possível, K_a pode ser estimado através da equação:

$$K_a = D_m E N_p \left(\frac{t}{h}\right)^3 \quad (2.3)$$

onde E corresponde ao módulo de elasticidade do material da mangueira flexível.

2.4.2 Massa (m)

A massa usada no modelo corresponde a uma soma da massa do material da convolução (m_m) com a massa adicionada pelo escoamento correspondente ao modo de vibração, m_{EF} para o modo em fase e m_{FF} para os modos fora de fase e de flexão local.

$$m_m = \pi \rho_m D_m t N_p [\pi a + h - 2a] \quad (2.4)$$

$$m_{EF} = \frac{\pi}{2} \rho_f D_m h (2a - t N_p) \quad (2.5)$$

$$m_{FF} = \frac{0.68}{\delta} \rho_f D_m h^3 \quad (2.6)$$

2.4.3 Frequências

A frequência para cada modo de vibração da mangueira flexível podem ser calculadas por meio das equações:

$$f_{EF} = \frac{1}{2\pi} \sqrt{\frac{2k}{m_m + m_{EF}}} \quad (2.7)$$

$$f_{FF} = \frac{1}{2\pi} \sqrt{\frac{2k}{m_m + m_{FF}}} \quad (2.8)$$

$$f_{FL} = \frac{1}{2\pi} \sqrt{\frac{8k}{m_m + m_{FF}}} \quad (2.9)$$

onde,

f_{EF} = Frequência para o modo em-fase

f_{FF} = Frequência para o modo fora-de-fase

f_{FL} = Frequência para o modo de flexão local

2.5 Intervalos de excitação

Como mencionado anteriormente, as condições de excitação do fenômeno de vibração induzida pelo escoamento podem ser correlacionadas com o uso do número de Strouhal. Em posse das frequências correspondentes a cada modo de vibração, torna-se possível, com o uso da equação 2.1, o cálculo dos intervalos de velocidade do escoamento para qual cada modo irá ocorrer (GERLACH; SCHROEDER, 1969).

Utilizando o comprimento da convolução (σ) como dimensão específica, tem-se a seguinte relação de Strouhal para o cálculo da faixa de velocidade (TYGIELSKI; SMYLY; GERLACH, 1983):

$$S_{\sigma i} = \text{Limite inferior de Strouhal} = 0.1$$

$$S_{\sigma c} = \text{Valor crítico de Strouhal} = 0.2$$

$$S_{\sigma s} = \text{Limite superior de Strouhal} = 0.3$$

Logo, para um modo de vibração da mangueira flexível com frequência f , a excitação fluídica pode ocorrer a partir de um limite inferior (V_I) até um limite superior (V_S), passando por um valor crítico (V_C):

$$V_I = \frac{f\sigma}{S_{\sigma s}} \quad (2.10)$$

$$V_C = \frac{f\sigma}{S_{\sigma c}} \quad (2.11)$$

$$V_S = \frac{f\sigma}{S_{\sigma i}} \quad (2.12)$$

2.6 Primeiro modo de ressonância acústica radial

Em mangueiras flexíveis com meio interno gasoso é possível a ocorrência de ressonância acústica radial. Esse modo acústico ocorre além dos modos em-fase, fora-de-fase e de flexão local (MSFC, 1992).

O primeiro modo acústico radial ocorre na frequência dada por:

$$f_{acus} = \frac{(FNCO)V_s}{2\pi r_i} \quad (2.13)$$

Onde V_s é a velocidade do som no meio, determinada pelas propriedades do fluido, r_i corresponde ao raio interno da mangueira flexível e $FNCO$ é um parâmetro empírico dado por:

$$FNCO = 3.8 - 16.72(h/r_i)^2 + 13.67(h/r_i)^3 \quad \text{para } 0 \leq (h/r_i) < 0.4 \quad (2.14a)$$

$$FNCO = -0.336 + 0.935(h/r_i)^{-1} \quad \text{para } 0.4 \leq (h/r_i) \leq 1 \quad (2.14b)$$

A velocidade na qual o primeiro modo de ressonância acústica radial ocorre é calculado por:

$$V_{acus} = \frac{f_{acus}\sigma}{S_{\sigma c}} \quad (2.15)$$

O cálculo do primeiro modo de ressonância acústica radial é necessário para a verificação de uma sobreposição deste modo com algum dos outros modos de vibração da mangueira flexível, caso ocorra tal sobreposição, é necessária a aplicação de um fator de correção no valor da tensão exercida no material das convoluções, como evidenciado na seção 2.8.

2.7 Cálculo de tensões

Caso a velocidade do escoamento na mangueira flexível esteja entre qualquer um dos intervalos de velocidades dos modos de vibração, assume-se a presença de vibração induzida pelo escoamento nas convoluções. Logo, é necessário o cálculo de tensões exercidas no material da mangueira flexível para inferir sobre a existência de falha por fadiga ou ruptura do material (MSFC, 1992).

Nessa seção será, portanto, exposto o método desenvolvido por Tygielski, Smyly e Gerlach (1983) e descrito em MSFC (1992). Esse método provém da análise de diversos experimentos realizados no *Southwest Research Institute* e no *Marshall Space Flight Center*, dessa maneira, correspondem a equações modeladas empiricamente.

A tensão induzida pelo escoamento nas convoluções da mangueira flexível pode ser calculada através da equação:

$$T_{esc} = (EE) \left[\frac{C^*tP_D}{V'(CEE)\delta} \right] (E)(C_{NP})(C_c) \left(\frac{1}{N_p} \right) \quad (2.16)$$

Os parâmetros nessa equação são descritos e podem ser calculados pelas relações:

$$EE = 1 + 0.1 \left(\frac{2757902.8}{CEE} \right)^2 \quad (2.17)$$

Nota: O número 2757902.8 corresponde a uma constante elástica específica possuindo a dimensão $[N/m^2]$.

$$CEE = \frac{K_a}{D_m N_p} \quad (2.18)$$

Para o modo em-fase e fora-de-fase o calculo de C^* é feito através da equação:

$$C^* = \frac{C_1}{C_2 + (V')^2} + \frac{C_3 |\sin(\pi V')|}{C_4 + (V')^2} + C_5 \quad (2.19)$$

Para o modo de flexão local $C^* = 0.4$.

$$V' = \frac{V_C}{V^*} \quad (2.20)$$

V_C = valor crítico da velocidade para cada um dos 3 modos de vibração.

V^* = valor crítico da velocidade para o modo fora-de-fase.

A pressão dinâmica P_D é dada por:

$$P_D = \frac{\rho_f (V_C)^2}{2} \quad (2.21)$$

O parâmetro C_{NP} corresponde a um coeficiente modificador de amortecimento para convoluções com mais de uma camada (TYGIELSKI; SMYLY; GERLACH, 1983), dado por:

$$C_{NP} = \begin{cases} 1, & \text{para } N_p = 1 \\ 1 + \frac{C_6(\sigma/h)}{1+C_7(V')^2}, & \text{para } N_p = 2, 3, \dots \end{cases} \quad (2.22)$$

O termo C_c corresponde a um amplificador de tensão utilizado para computar o efeito de um cotovelo possivelmente presente anteriormente à entrada da linha flexível, dado por:

$$C_c = \begin{cases} 1, & \text{para nenhum cotovelo presente.} \\ 1 + \frac{4.7}{2+L/D}, & \text{para um cotovelo presente.} \end{cases} \quad (2.23)$$

Nota: L representa a distancia do cotovelo a entrada da linha e D o diâmetro da linha.

Os parâmetros C_1, C_2, \dots, C_7 representam coeficientes empíricos sem dimensão derivados dos experimentos realizados por [Tygielski, Smyly e Gerlach \(1983\)](#), e possuem os valores:

$$C_1 = 0.13$$

$$C_2 = 0.462$$

$$C_3 = 1.0$$

$$C_4 = 10.0$$

$$C_5 = 0.06$$

$$C_6 = 1.25$$

$$C_7 = 5.5$$

2.8 Fator de correção

Os valores de tensões (T_{esc}) calculados na seção [2.7](#) são derivados de uma análise puramente empírica do problema, portanto fatores de correção (FC) são aplicados para cálculo de valores de tensões corrigidas ($T_{esc}C$), de maneira que:

$$T_{esc}C = T_{esc} \cdot FC \quad (2.24)$$

Os fatores determinados por [MSFC \(1992\)](#) são:

- 2.0, para uma mangueira onde a constante elástica foi calculada experimentalmente.
- 2.5, para uma mangueira onde a constante elástica é estimada pela equação [2.3](#).

Caso ocorra sobreposição do modo acústico radial com algum dos modos de vibração, os fatores devem ser multiplicados por 7.5, caso as frequências modais sejam menores que a frequência do primeiro modo de ressonância acústico radial, o valor da tensão não sofre ajuste pelo fator acústico ([MSFC, 1992](#)).

2.9 Método de Monte Carlo

O método de Monte Carlo (MMC) é usado comumente em aplicações científicas e na engenharia como ferramenta matemática na simulação de problemas com representatividade estocástica. Pode ser descrito como um método estatístico, que realiza, a partir

da geração de uma sequência de números aleatórios, a simulação de um sistema real (YORIYAZ, 2009).

Para aplicar uma simulação de Monte Carlo é necessária a reprodução de aleatoriedade por um algoritmo de computador, que é determinístico por natureza (JOHANSEN; EVERS, 2008). São, portanto, usados números pseudorrandômicos na utilização do MMC. Segundo Ripley (1987), uma sequência pseudorrandômica de números corresponde a uma sequência determinística de números com as mesmas propriedades estatísticas de uma sequência randômica de valores.

O MMC utiliza cálculos computacionais para a simulação de um grande número de análises com entradas e saídas randômicas. Quando aplicado a avaliação de incertezas, os números randômicos são utilizados para amostrar aleatoriamente o espaço de incerteza dos parâmetros (PAPADOPOULOS; YEUNG, 2001). Dessa forma, cada distribuição randômica dos valores de entrada corresponde a um cenário provável do sistema real.

2.10 Distribuição Gama

A distribuição Gama é caracterizada por ser uma função densidade de probabilidade válida para valores reais positivos e ajustada por dois parâmetros, α de escala e β de forma. Sua formulação geral é escrita como

$$f_{\alpha,\beta}(x) = \frac{x^{\alpha-1}e^{-x/\beta}}{\beta^\alpha\Gamma(\alpha)} \quad (2.25)$$

onde $\Gamma = \Gamma(\alpha)$ é uma função gama e α e β devem necessariamente ser maiores que zero (MONTGOMERY; RUNGER, 2010). Os valores de α e β podem ser calculados a partir da média (μ) e do desvio padrão (s), como:

$$\alpha = \frac{\mu^2}{s^2} \quad \beta = \frac{s^2}{\mu} \quad (2.26)$$

Comparando-se a distribuição gama com a normal, é possível notar que as principais diferenças entre ambas é a validade da primeira apenas para valores reais positivos, quanto que no caso gaussiano a validade é sobre toda a reta real, e no que tange a simetria, já que a distribuição gama possui obliquidade maior que zero, quanto que a distribuição gaussiana é simétrica. Ambas características fazem da distribuição gama adequada para diversas situações onde o parâmetro a ser estudado possui significado físico apenas em valores positivos, como é o caso de distâncias espaciais e o tempo a partir de um evento (CUNHA, 2017).

3 Metodologia

O presente trabalho propõe-se a realizar um estudo de incertezas perante a vibração induzida pelo escoamento em mangueiras flexíveis. Para atingir tal objetivo a metodologia a seguir foi implementada.

3.1 Implementação computacional do método

Primeiramente foi realizado um estudo do método encontrado na pesquisa bibliográfica que permite a análise vibratória de linhas flexíveis. Com o domínio de tal método, este foi implementado na linguagem de programação Python, permitindo uma análise mais ágil do fenômeno, sendo facilmente possível a modificação manual dos parâmetros descritivos da mangueira flexível.

O código foi então validado a partir de exemplos presentes no apêndice B do [MSFC \(1992\)](#) para mangueiras flexíveis. Para validação foram verificados todos resultados do método, como os valores de faixa de velocidades de acoplamento, os valores de tensões para cada modo de vibração além do primeiro modo de ressonância acústica.

3.2 Análise de sensibilidade

Com o código validado, foi realizada uma análise de sensibilidade dos parâmetros construtivos e operacionais independentes da mangueira flexível. A análise foi realizada variando separadamente cada valor de entrada em mais e menos vinte por cento de seu valor nominal, calculando nessa faixa os valores de velocidade do escoamento e de limite inferior de velocidade (V_I) para todos os modos de acoplamento.

Os parâmetros analisados foram: o comprimento da convolução (σ), altura das convoluções (h), espessura da camada (t), diâmetro interno (D_i), módulo de elasticidade (E), densidade do material das convoluções (ρ_m), densidade do fluido (ρ_f) e a vazão mássica (\dot{m}).

Os parâmetros que não foram analisados foram: o passo entre as convoluções (λ) por não ser considerado nos cálculos propostos em [MSFC \(1992\)](#), o diâmetro externo (D_e) por ter relação direta com D_i e h , além da pressão e temperatura do fluido por estarem relacionadas a vazão mássica e a densidade do fluido.

3.3 Simulação de Monte Carlo

O módulo *random* da linguagem de programação *Python* foi utilizado para implementação do método de Monte Carlo. A simulação foi feita a partir da elaboração de um algoritmo de geração de mangueiras flexíveis que estabelece os parâmetros de entrada como variáveis aleatórias. A aleatoriedade foi feita com base na função de densidade de probabilidade (FDP) da distribuição gamma, utilizando como valor médio o valor nominal de cada parâmetro e como desvio padrão 5% do valor médio.

O estudo foi realizado estabelecendo isoladamente cada um dos parâmetros construtivos e operacionais como variáveis aleatórias bem como todos os parâmetros sendo randomizados de uma vez.

A análise do efeito de incertezas foi realizada a partir da comparação entre os valores de velocidade do escoamento e intervalo de velocidades de acoplamento para cada exemplar de mangueira flexível gerado. No exemplo utilizado os valores nominais dos parâmetros não ocasionam em acoplamento. Dessa forma, o efeito de incerteza nos parâmetros construtivos e operacionais da mangueira flexível é mensurado a partir da porcentagem dos exemplares gerados onde ocorra acoplamento.

3.3.1 Análise de influência do desvio padrão

A partir da simulação de Monte Carlo foi estudado o efeito da variação do desvio padrão (em função do valor nominal do parâmetro) utilizado na geração randômica de um dos parâmetros de maior sensibilidade estudado.

3.3.2 Geração de histogramas

Foram gerados histogramas para verificação da função de densidade de probabilidade nos valores de entrada e de saída do método.

3.4 Valores nominais dos parâmetros

Os valores nominais de cada parâmetro utilizados nas análises realizadas nesse trabalho estão listados no apêndice [A](#).

4 Resultados e Discussão

4.1 Implementação

A implementação do trabalho em *Python* foi realizada a partir da divisão do problema em três classes. Uma classe correspondente a mangueira flexível contendo todos os parâmetros construtivos da mesma, outra classe correspondente ao fluido contendo os parâmetros operacionais do sistema e uma terceira classe que recebe os valores impostos pelas outras duas classes e contém todas as equações que descrevem o fenômeno de vibração induzida pelo escoamento em mangueiras flexíveis.

Com o uso dessas três classes é possível realizar os cálculos de frequências, faixas de velocidades de acoplamento e tensões para todos os modos de vibração de uma dada mangueira flexível. Para tal foi então concebido um *script main.py* que recebe como entrada as três classes e realiza a verificação de acoplamento para cada modo de vibração da linha flexível, além de imprimir na tela os valores de frequência, faixas de velocidade e tensões correspondentes a cada modo. A Fig. 10 mostra um fluxograma representativo de tal *script*.

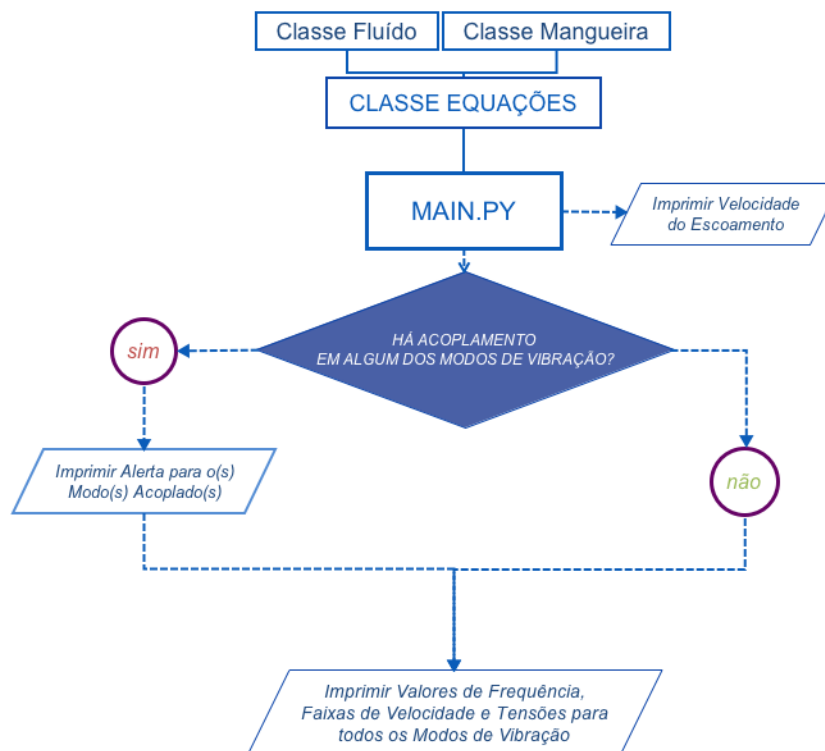


Figura 10 – Fluxograma do *script main.py*

Em posse dos três arquivos de classe e do *script main.py* foi possível realizar a validação da implementação computacional do método de análise utilizado. A Fig. 11 mostra o retorno do *script main.py* na validação do mesmo, utilizando valores provenientes do apêndice B do MSFC (1992), também disponíveis no apêndice A.

```

→ TCC git:(master) ✗ python main.py
The flow velocity is: 234.84 m/s

There is frequency coupling for the in-phase mode of vibration!!

There is frequency coupling for the out-of-phase mode of vibration!!

There is frequency coupling for the convolute bending mode of vibration!!

There is acoustic resonance phenomenon!!

The coupling frequency for the in-phase mode of vibration is:
f(IP) = 13675.01 Hz
The velocity range for the in-phase mode of vibration is:
Lower limit (IP) : 83.36 m/s
Critical value (IP) : 125.04 m/s
Upper limit (IP) : 250.09 m/s

The coupling frequency for the out-of-phase mode of vibration is:
f(OP) = 13640.79 Hz
The velocity range for the out-of-phase mode of vibration is:
Lower limit (OP) : 83.15 m/s
Critical value (OP) : 124.73 m/s
Upper limit (OP) : 249.46 m/s

The coupling frequency for the convolute bending mode of vibration is:
f(CB) = 27281.59 Hz
The velocity range for the convolute bending mode of vibration is:
Lower limit (CB) : 166.31 m/s
Critical value (CB) : 249.46 m/s
Upper limit (CB) : 498.93 m/s

The first radial acoustic mode frequency is:
fλ : 23755.13 Hz
The first radial acoustic mode velocity is:
Vλ : 217.22 m/s

The predicted Flow-Induced Stress (FIV) for the in-phase mode of vibration is:
FIV(IP) = 9804762.37 Pa
The predicted Flow-Induced Stress (FIV) for the out-of-phase mode of vibration is:
FIV(OP) = 9749196.98 Pa
The predicted Flow-Induced Stress (FIV) for the convolute bending mode of vibration is:
FIV(CB) = 420636614.71 Pa

```

Figura 11 – Retorno do *script main.py*

4.2 Análise de sensibilidade

Realizada a análise de sensibilidade dos parâmetros de entrada, foram obtidos os seguintes gráficos correspondentes as distribuições de velocidades para cada um dos modos de acoplamento.

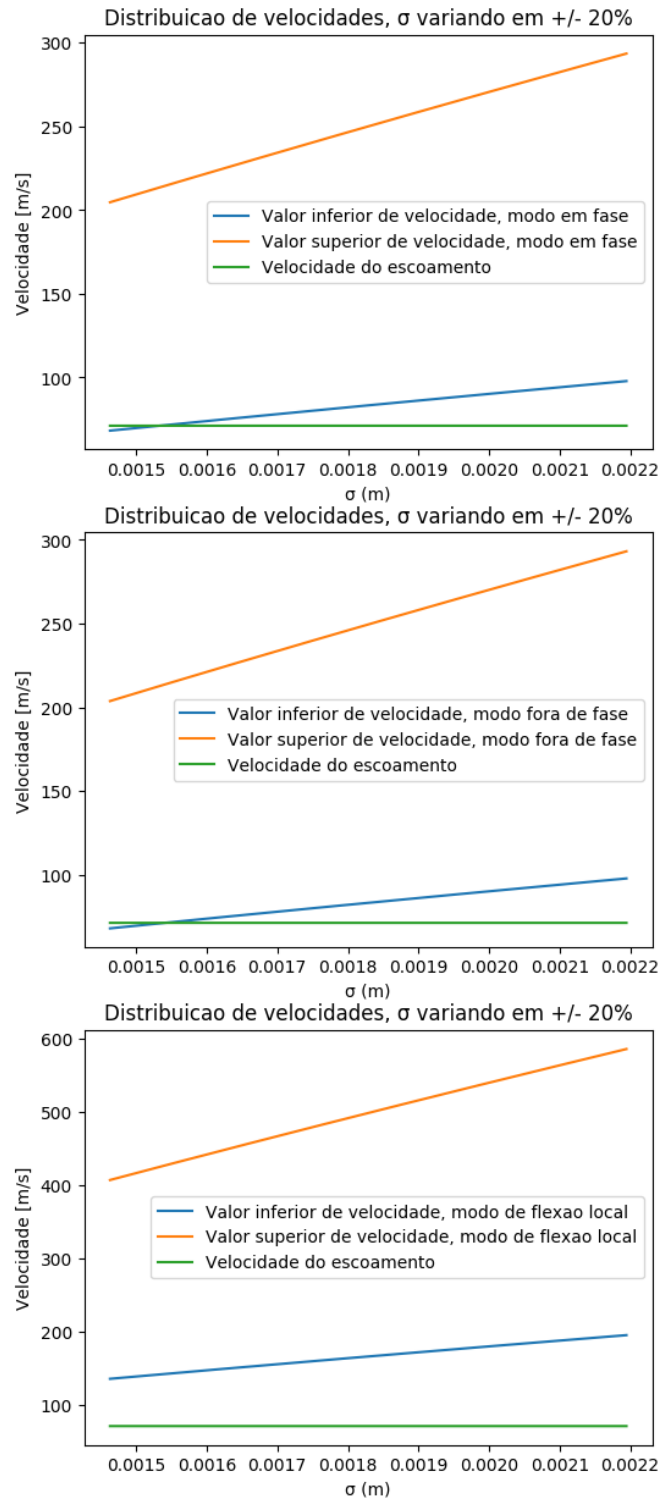
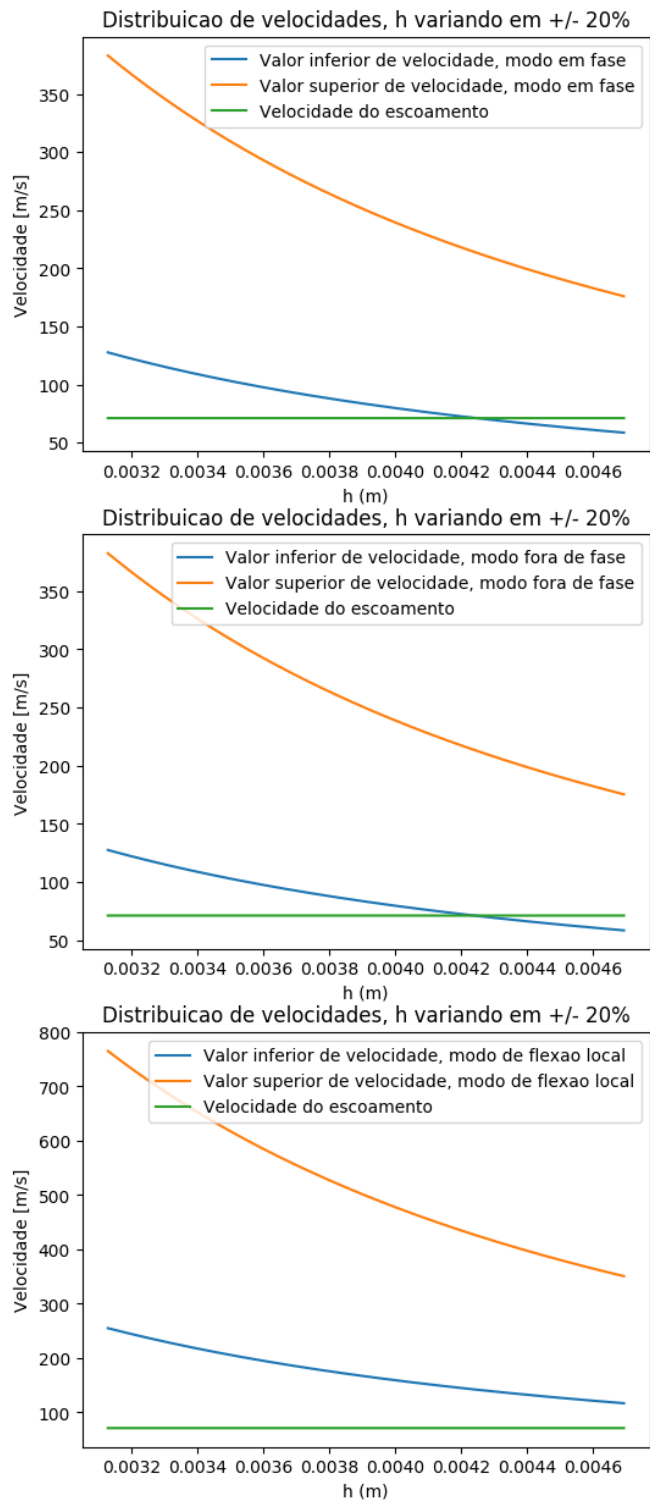
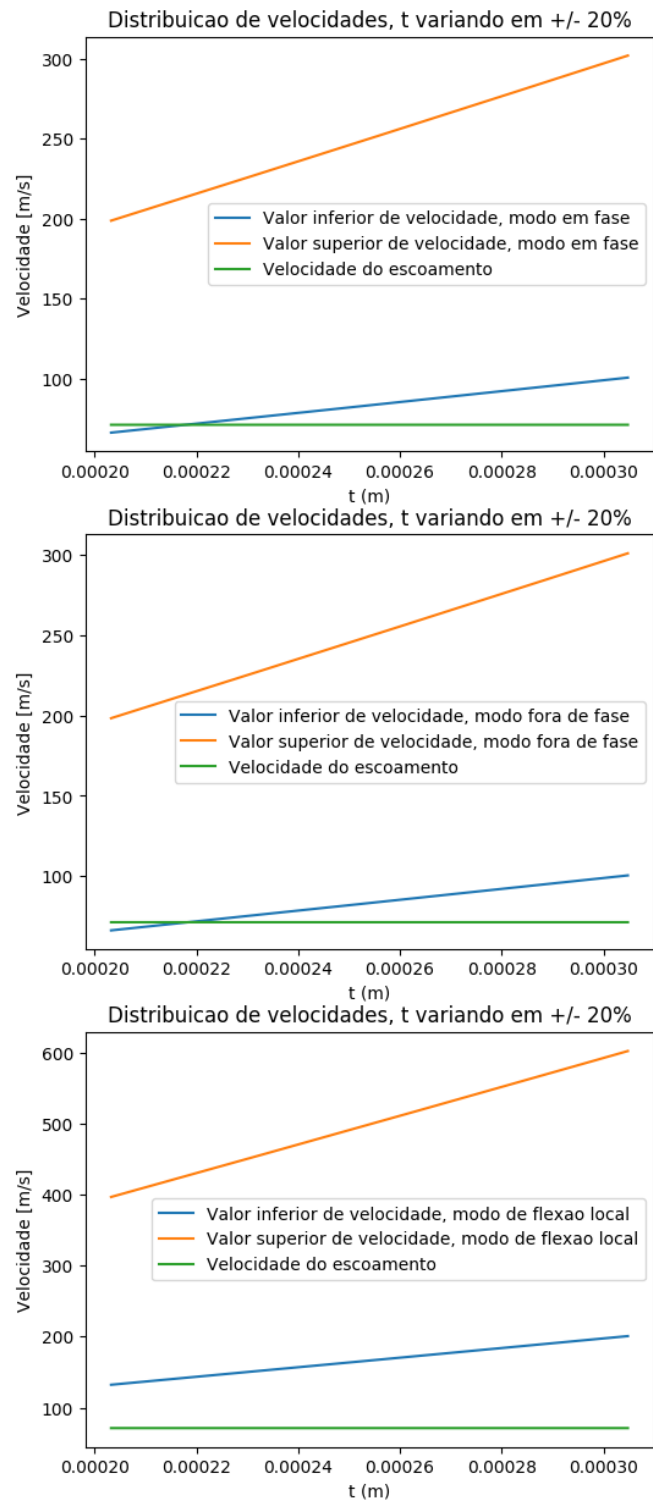


Figura 12 – Distribuição de velocidades na análise de sensibilidade de σ

Figura 13 – Distribuição de velocidades na análise de sensibilidade de h

Figura 14 – Distribuição de velocidades na análise de sensibilidade de t

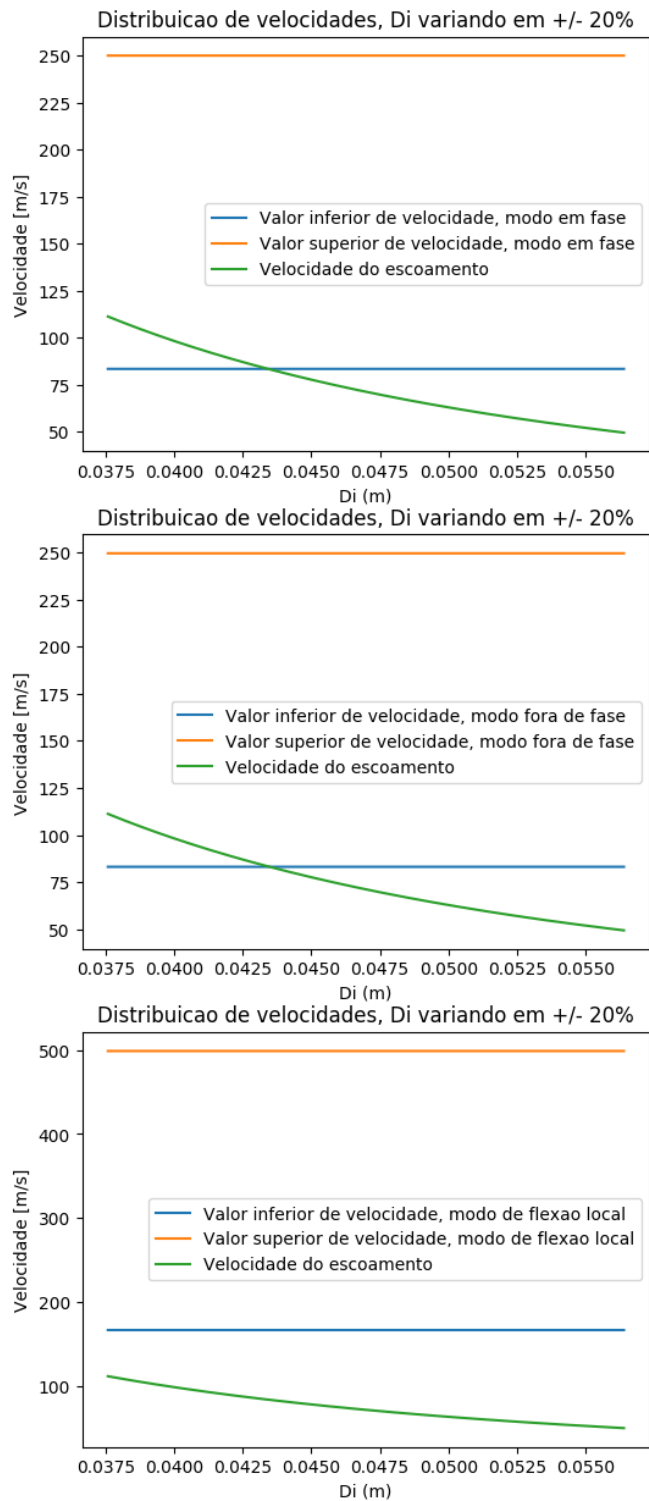


Figura 15 – Distribuição de velocidades na análise de sensibilidade de D_i

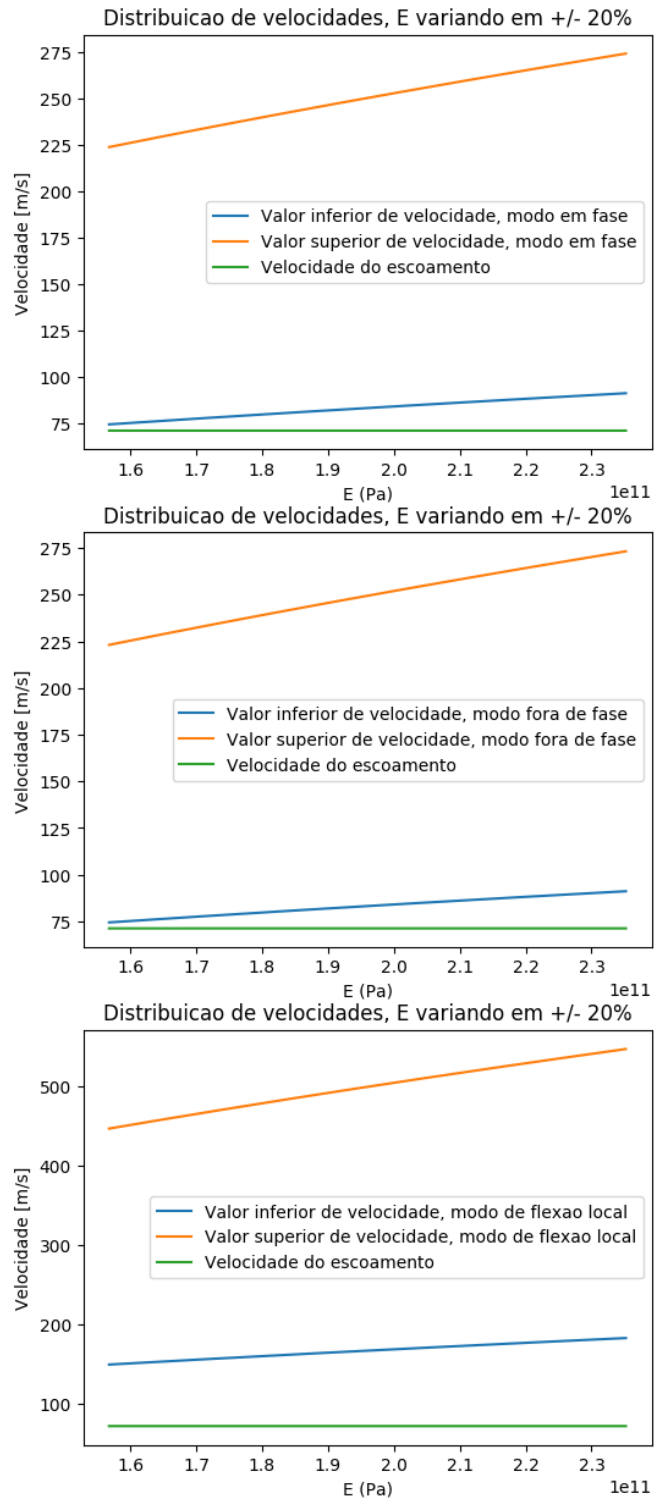


Figura 16 – Distribuição de velocidades na análise de sensibilidade de E

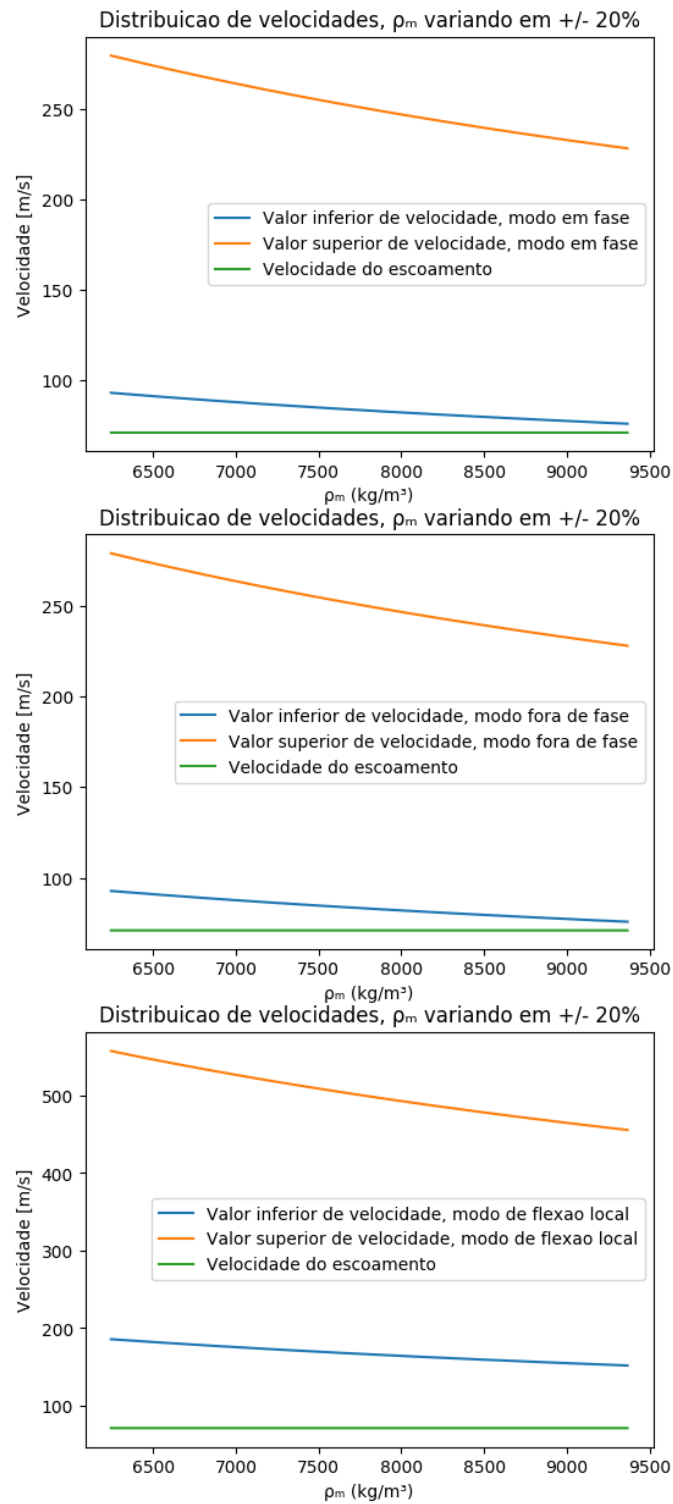


Figura 17 – Distribuição de velocidades na análise de sensibilidade de ρ_m

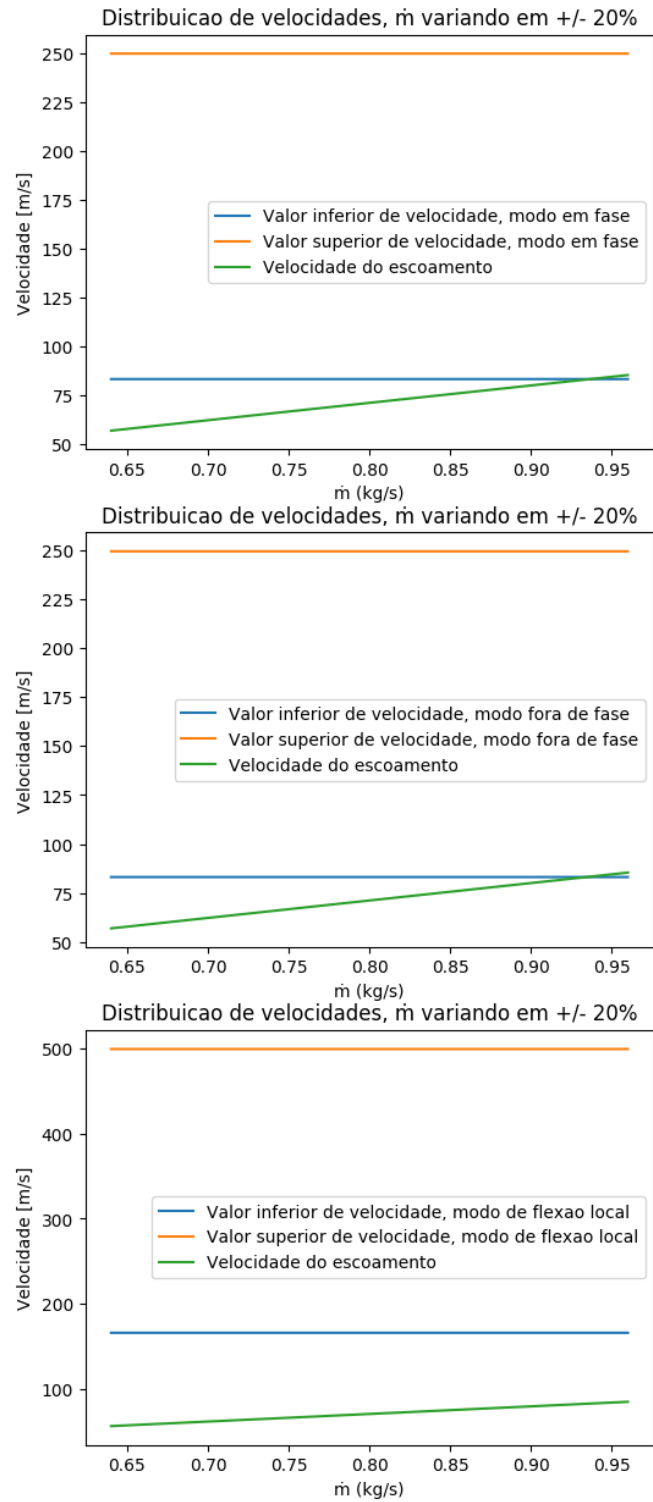


Figura 18 – Distribuição de velocidades na análise de sensibilidade de \dot{m}

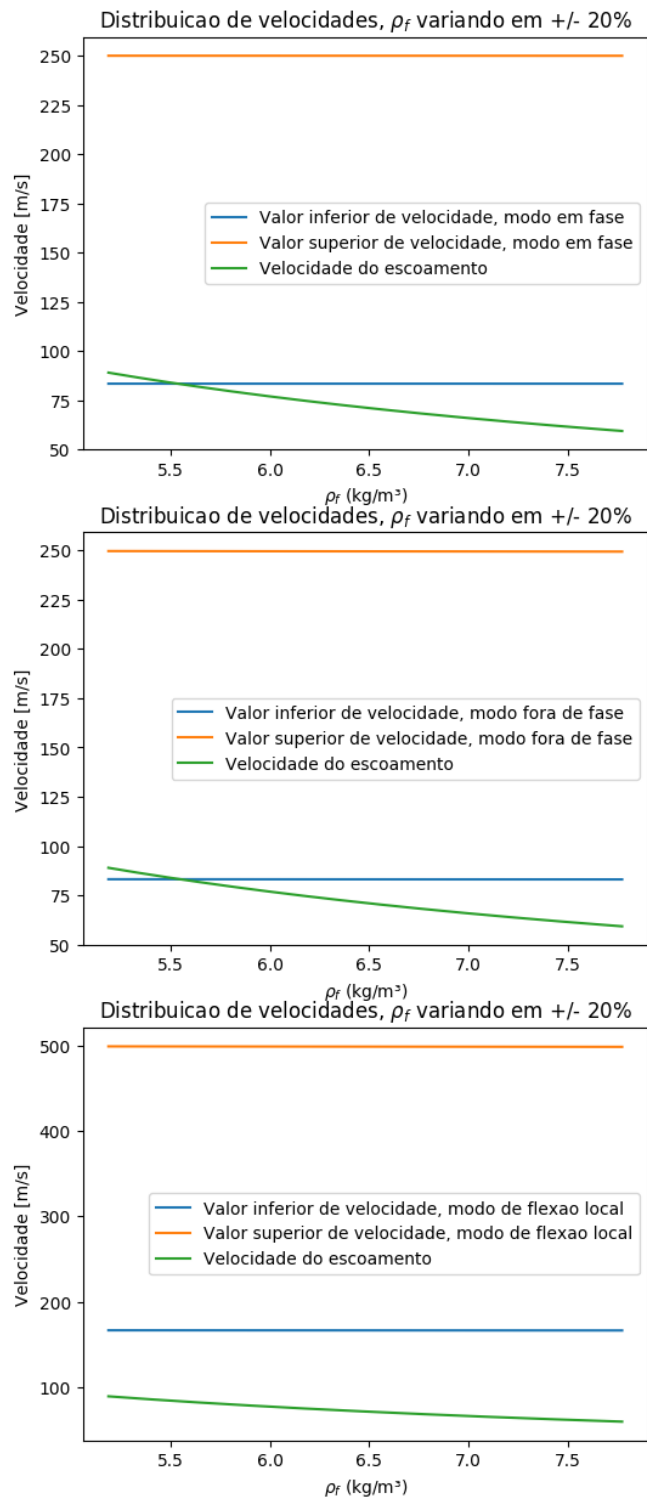


Figura 19 – Distribuição de velocidades na análise de sensibilidade de ρ_f

Através de tais gráficos é possível notar que a variação dos parâmetros σ , h , t , E e ρ_m provoca uma alteração no valor das velocidades de acoplamento. Já para os parâmetros D_i , \dot{m} e ρ_f a mudança dá-se na velocidade do escoamento.

Além dos gráficos presentes nas figuras 12 a 19 as tabelas 1 a 5 demonstram resultados da análise de sensibilidade.

Tabela 1 – Porcentagem de acoplamento em cada modo de vibração

| Parâmetro Variado | Modo em fase (%) | Modo fora de fase (%) | Modo de flexão local(%) |
|-------------------|------------------|-----------------------|-------------------------|
| σ | 9.58 | 10.58 | 0.00 |
| h | 28.60 | 29.03 | 0.00 |
| t | 14.46 | 14.95 | 0.00 |
| D_i | 31.03 | 31.32 | 0.00 |
| E | 0.00 | 0.00 | 0.00 |
| ρ_m | 0.00 | 0.00 | 0.00 |
| \dot{m} | 7.25 | 7.99 | 0.00 |
| ρ_f | 13.49 | 13.95 | 0.00 |

A tab. 1 lista a porcentagem de exemplares de mangueira flexíveis com acoplamento de velocidades para cada um dos modos de vibração.

Tabela 2 – Análise de sensibilidade, velocidade inferior para modo em fase

| Parâmetro Variado | Valor Min. | Valor Nominal | Valor Máx. | Faixa de variação a esquerda (%) | Faixa de variação a direita (%) | Faixa de variação total (%) |
|-------------------|------------|---------------|------------|----------------------------------|---------------------------------|-----------------------------|
| σ | 68.24 | 83.36 | 97.86 | 18.14 | 17.39 | 35.53 |
| h | 58.69 | 83.36 | 127.70 | 29.60 | 53.19 | 82.79 |
| t | 66.27 | 83.36 | 100.67 | 20.50 | 20.77 | 41.27 |
| D_i | 83.36 | 83.36 | 83.36 | 0.00 | 0.00 | 0.00 |
| E | 74.56 | 83.36 | 91.32 | 10.56 | 9.54 | 20.10 |
| ρ_m | 76.10 | 83.36 | 93.20 | 8.71 | 11.80 | 20.50 |
| \dot{m} | 83.36 | 83.36 | 83.36 | 0.00 | 0.00 | 0.00 |
| ρ_f | 83.37 | 83.36 | 83.36 | 0.00 | 0.00 | 0.00 |

Tabela 3 – Análise de sensibilidade, velocidade inferior para modo fora de fase

| Parâmetro Variado | Valor Min. | Valor Nominal | Valor Máx. | Faixa de variação a esquerda (%) | Faixa de variação a direita (%) | Faixa de variação total (%) |
|-------------------|------------|---------------|------------|----------------------------------|---------------------------------|-----------------------------|
| σ | 67.89 | 83.15 | 97.72 | 18.35 | 17.51 | 35.87 |
| h | 58.46 | 83.15 | 127.52 | 29.69 | 53.35 | 83.05 |
| t | 66.12 | 83.15 | 100.38 | 20.49 | 20.71 | 41.20 |
| D_i | 83.15 | 83.15 | 83.15 | 0.00 | 0.00 | 0.00 |
| E | 74.38 | 83.15 | 91.09 | 10.56 | 9.54 | 20.10 |
| ρ_m | 75.94 | 83.15 | 92.90 | 8.67 | 11.73 | 20.40 |
| \dot{m} | 83.15 | 83.15 | 83.15 | 0.00 | 0.00 | 0.00 |
| ρ_f | 83.11 | 83.15 | 83.20 | 0.06 | 0.06 | 0.12 |

Nas tabelas 2, 3 e 4 são listadas as faixas de variações (em porcentagem) a esquerda e direita do valor nominal da velocidade inferior para cada modo de vibração. Especificando os valores mínimos e máximos dos limites inferiores de velocidade a partir da variação em mais e menos 20% de cada um dos parâmetros de entrada no sistema.

Tabela 4 – Análise de sensibilidade, velocidade inferior para modo de flexão local

| Parâmetro Variado | Valor Min. | Valor Nominal | Valor Máx. | Faixa de variação a esquerda (%) | Faixa de variação a direita (%) | Faixa de variação total (%) |
|-------------------|------------|---------------|------------|----------------------------------|---------------------------------|-----------------------------|
| σ | 135.79 | 166.31 | 195.43 | 18.35 | 17.51 | 35.87 |
| h | 116.92 | 166.31 | 255.03 | 29.69 | 53.35 | 83.05 |
| t | 132.23 | 166.31 | 200.75 | 20.49 | 20.71 | 41.20 |
| D_i | 166.31 | 166.31 | 166.31 | 0.00 | 0.00 | 0.00 |
| E | 148.75 | 166.31 | 182.18 | 10.56 | 9.54 | 20.10 |
| ρ_m | 151.89 | 166.31 | 185.81 | 8.67 | 11.73 | 20.40 |
| \dot{m} | 166.31 | 166.31 | 166.31 | 0.00 | 0.00 | 0.00 |
| ρ_f | 166.22 | 166.31 | 166.40 | 0.06 | 0.06 | 0.12 |

Tabela 5 – Análise de sensibilidade, velocidade do escoamento

| Parâmetro Variado | Valor Min. | Valor Nominal | Valor Máx. | Faixa de variação a esquerda (%) | Faixa de variação a direita (%) | Faixa de variação total (%) |
|-------------------|------------|---------------|------------|----------------------------------|---------------------------------|-----------------------------|
| σ | 71.19 | 71.19 | 71.19 | 0.00 | 0.00 | 0.00 |
| h | 71.19 | 71.19 | 71.19 | 0.00 | 0.00 | 0.00 |
| t | 71.19 | 71.19 | 71.19 | 0.00 | 0.00 | 0.00 |
| D_i | 49.44 | 71.19 | 111.23 | 30.56 | 56.25 | 86.81 |
| E | 71.19 | 71.19 | 71.19 | 0.00 | 0.00 | 0.00 |
| ρ_m | 71.19 | 71.19 | 71.19 | 0.00 | 0.00 | 0.00 |
| \dot{m} | 56.95 | 71.19 | 85.43 | 20.00 | 20.00 | 40.00 |
| ρ_f | 59.32 | 71.19 | 88.99 | 16.67 | 25.00 | 41.67 |

Na tab. 5 são listadas as faixas de variações (em porcentagem) a esquerda e direita do valor nominal da velocidade do escoamento. Especificando os valores mínimos e máximos da velocidade do escoamento a partir da variação em mais e menos 20% de cada um dos parâmetros de entrada no sistema.

A partir da análise de sensibilidade foi possível observar que a altura das convoluções (h) e o diâmetro interno (D_i) da mangueira flexível são os parâmetros com maior sensibilidade no valor da resposta do sistema. Sendo h um parâmetro que interfere no valor da faixa de velocidade de acoplamento para cada um dos modos de vibração e D_i um parâmetro relacionado a velocidade do escoamento na mangueira flexível. A maior sensibilidade de tais parâmetros é também confirmada através da tab. 1 onde a variação de h e D_i proporcionou uma maior porcentagem de acoplamento em relação aos outros parâmetros.

Outra informação que pode ser retirada da análise de sensibilidade é a semelhança no comportamento dos modos de vibração em resposta a variação dos parâmetros de entrada. Em razão disso o método de Monte Carlo foi implementado na análise do modo de vibração em fase, por ser suficiente para compreensão do fenômeno.

4.3 Simulação de Monte Carlo

Validada a implementação do método e feita a análise de sensibilidade dos parâmetros de entrada do sistema, foi criado um novo *script* em *Python* para implementação

do método de Monte Carlo na análise de incertezas dos parâmetros construtivos e operacionais da mangueira flexível.

Após receber as classes anteriormente criadas, tal *script* inicia um loop para criação de exemplares de mangueiras flexíveis com certos parâmetros randomizados, anexando em uma lista a velocidade do escoamento bem como os valores inferiores (V_I) e superiores (V_S) de velocidade para o modo de vibração em análise. Em cada iteração desse mesmo loop é feita a verificação de acoplamento da velocidade do escoamento com a faixa de velocidade do modo de vibração analisado, utilizando um contador para armazenar o número de mangueiras com acoplamento.

Logo após o término do loop, tem-se o número total de mangueiras geradas e o número de mangueiras sujeitas ao fenômeno vibratório. Tornando possível o cálculo da porcentagem de mangueiras geradas com parâmetros randomizados com acoplamento. Em posse da lista de valores de velocidades é possível a *plotagem* de um gráfico de tais informações, para melhor análise dos dados a lista foi ordenada do menor ao maior valor de velocidade do escoamento.

A Fig. 20 mostra o fluxograma do *script Monte-Carlo-Analysis.py*.

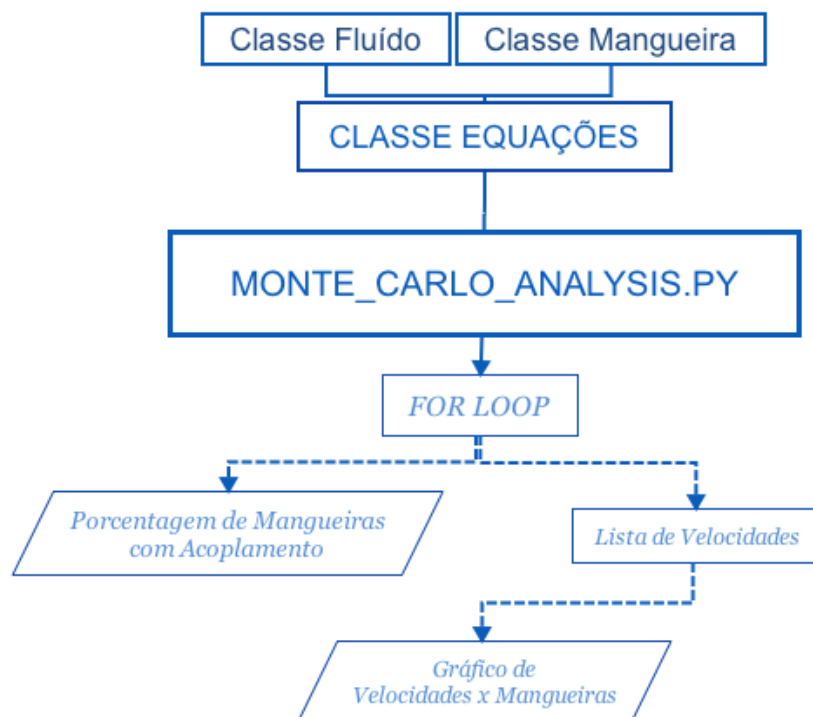


Figura 20 – Fluxograma do *script Monte-Carlo-Analysis.py*

O método de Monte Carlo foi aplicado randomizando cada um dos parâmetros analisados na análise de sensibilidade separadamente seguido de uma simulação com to-

Tabela 6 – Casos simulados pelo Método de Monte Carlo

| Simulações | Descrição da Simulação | N° de exemplares randômicos de mangueira flexível |
|------------|------------------------------|--|
| 01 | variando σ | 1000000 |
| 02 | variando h | 1000000 |
| 03 | variando t | 1000000 |
| 04 | variando D_i | 1000000 |
| 05 | variando E | 1000000 |
| 06 | variando ρ_m | 1000000 |
| 07 | variando \dot{m} | 1000000 |
| 08 | variando ρ_f | 1000000 |
| 09 | variando todos os parâmetros | 1000000 |
| 10 | variando todos os parâmetros | 10000000 |

dos os parâmetros como variáveis aleatórias. A tabela 6 lista os casos simulados e suas descrições.

As figuras 21 a 30 exibem os gráficos gerados em cada uma das simulações.

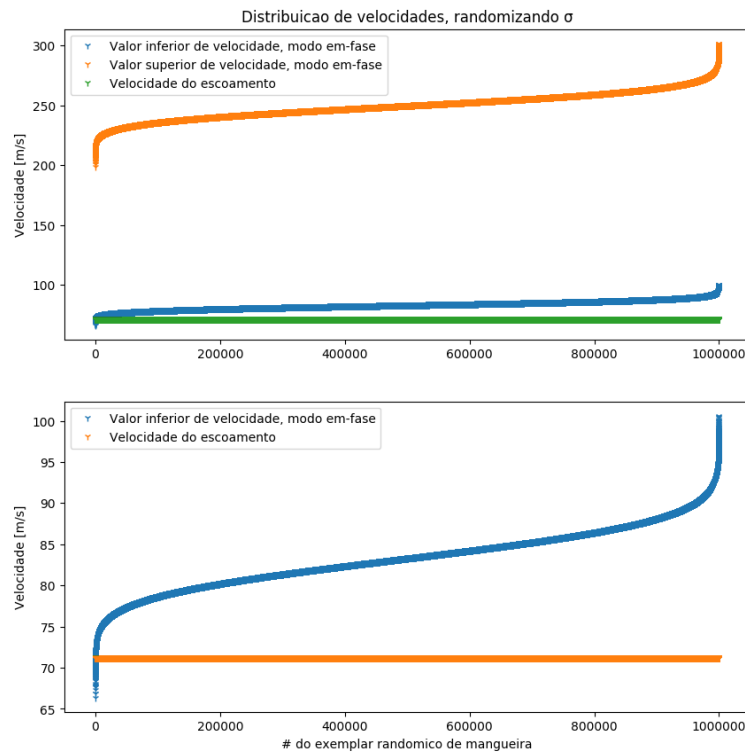


Figura 21 – Distribuição de velocidades na simulação 01

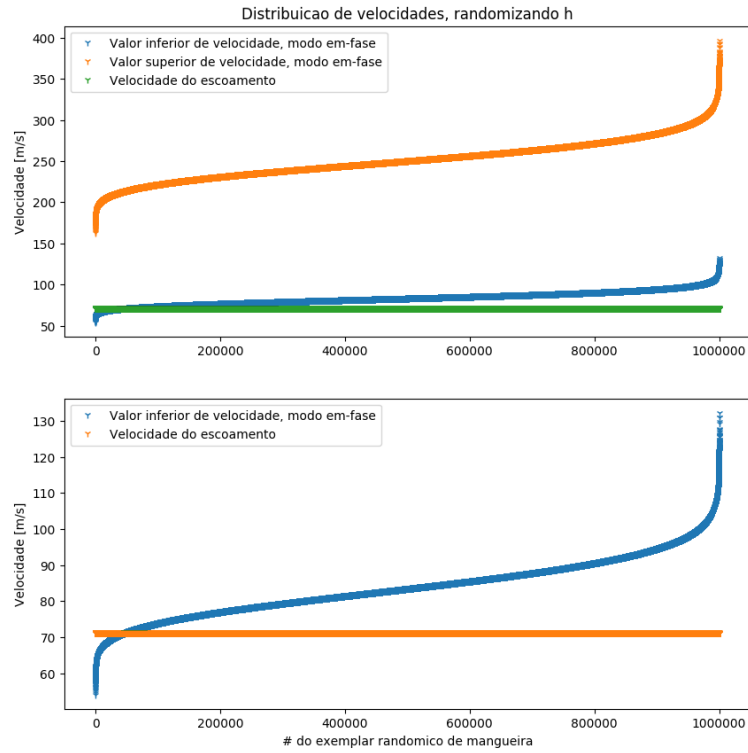


Figura 22 – Distribuição de velocidades na simulação 02

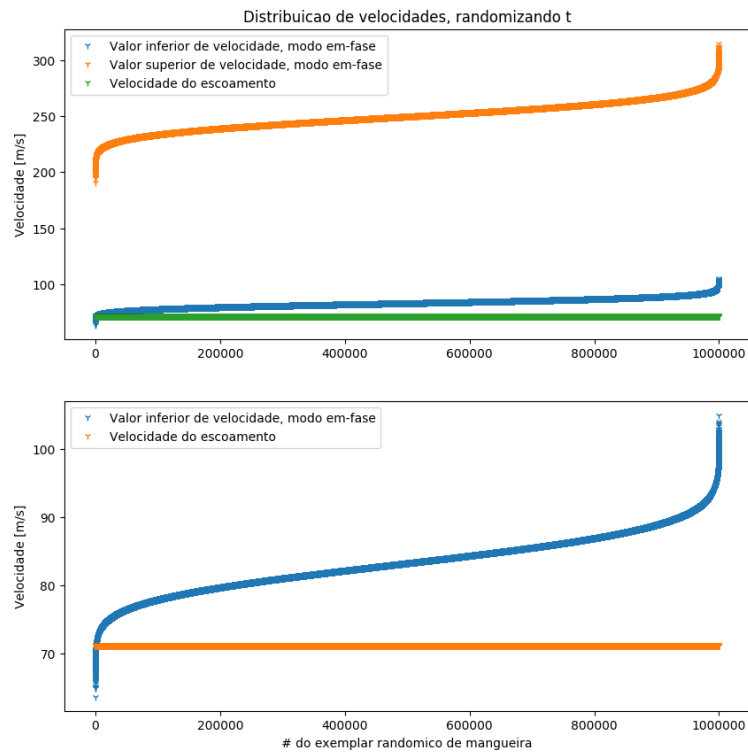


Figura 23 – Distribuição de velocidades na simulação 03

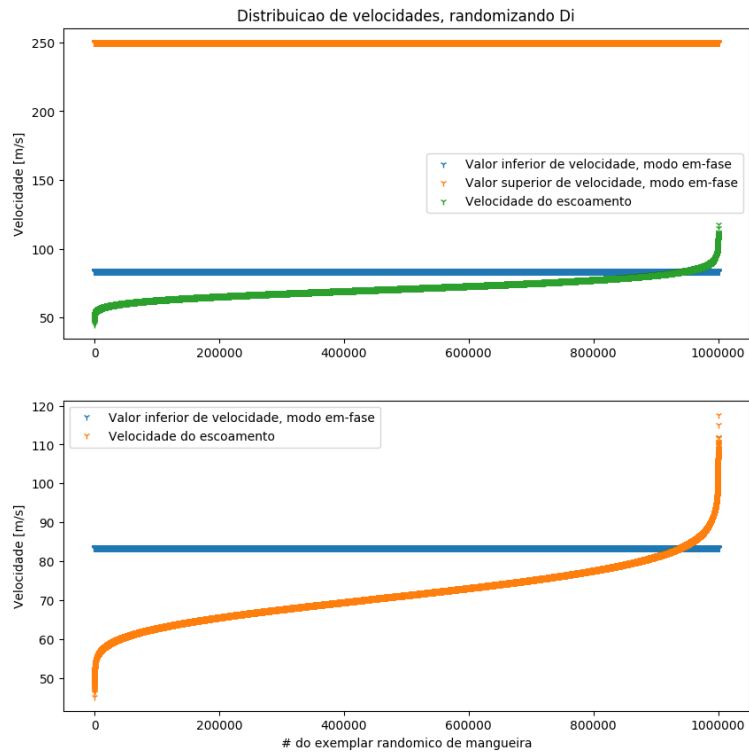


Figura 24 – Distribuição de velocidades na simulação 04

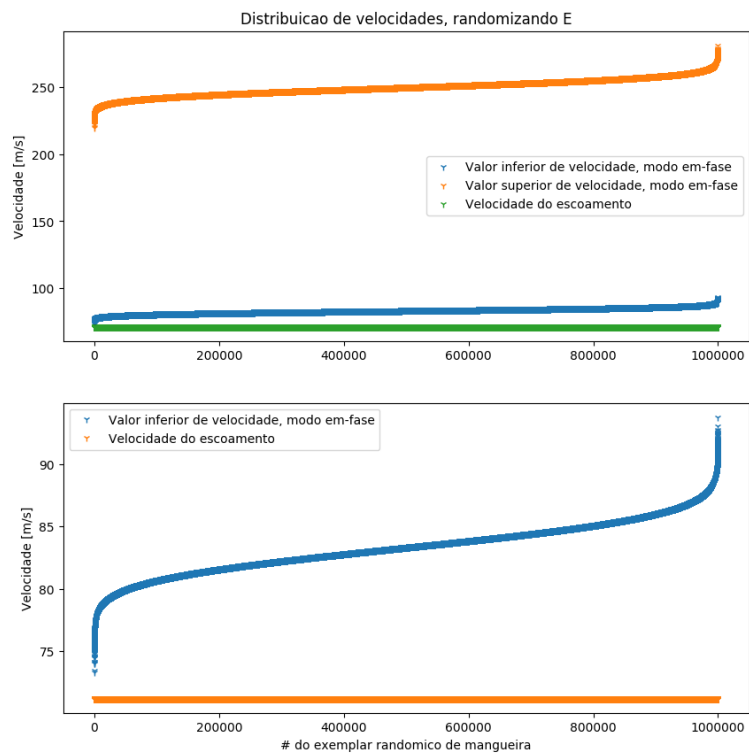


Figura 25 – Distribuição de velocidades na simulação 05

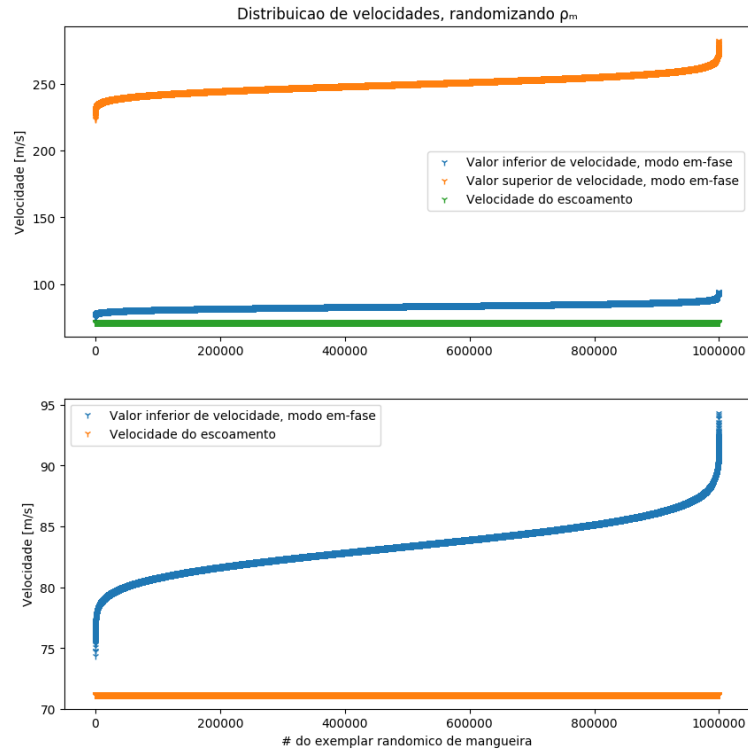


Figura 26 – Distribuição de velocidades na simulação 06

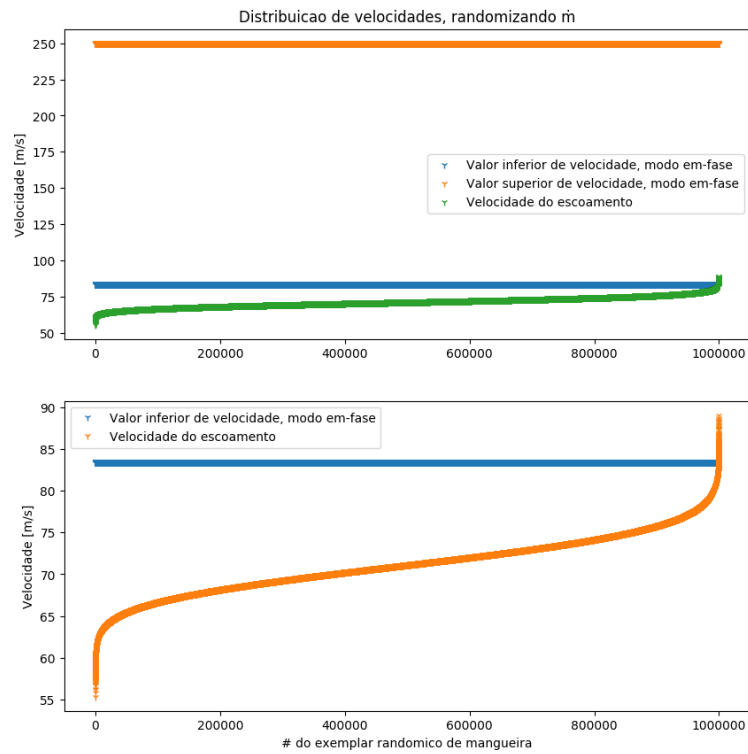


Figura 27 – Distribuição de velocidades na simulação 07

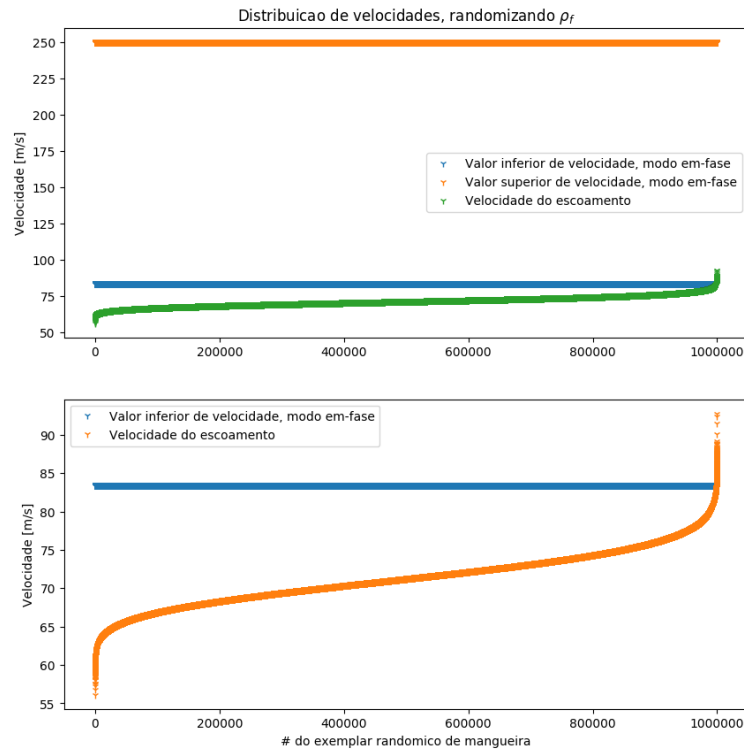


Figura 28 – Distribuição de velocidades na simulação 08

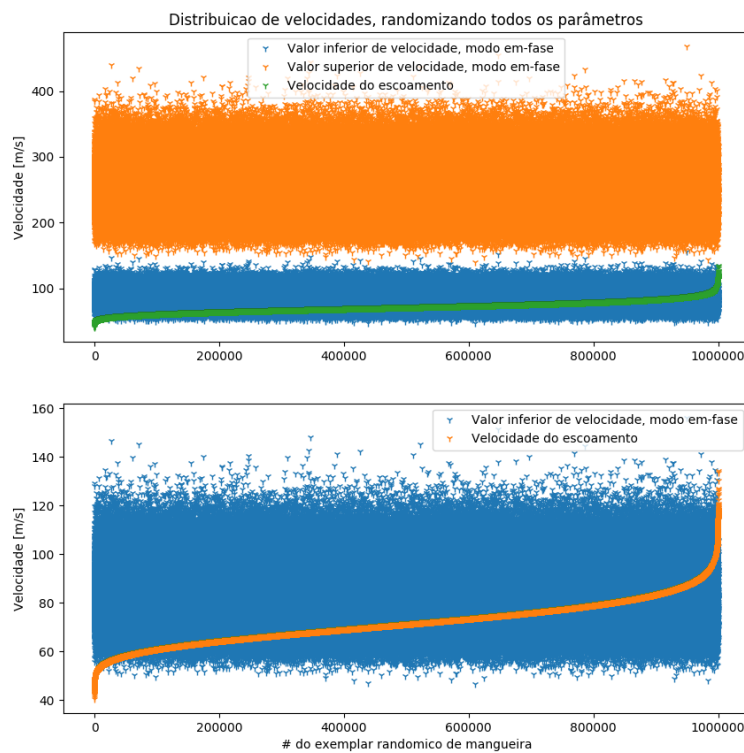


Figura 29 – Distribuição de velocidades na simulação 09

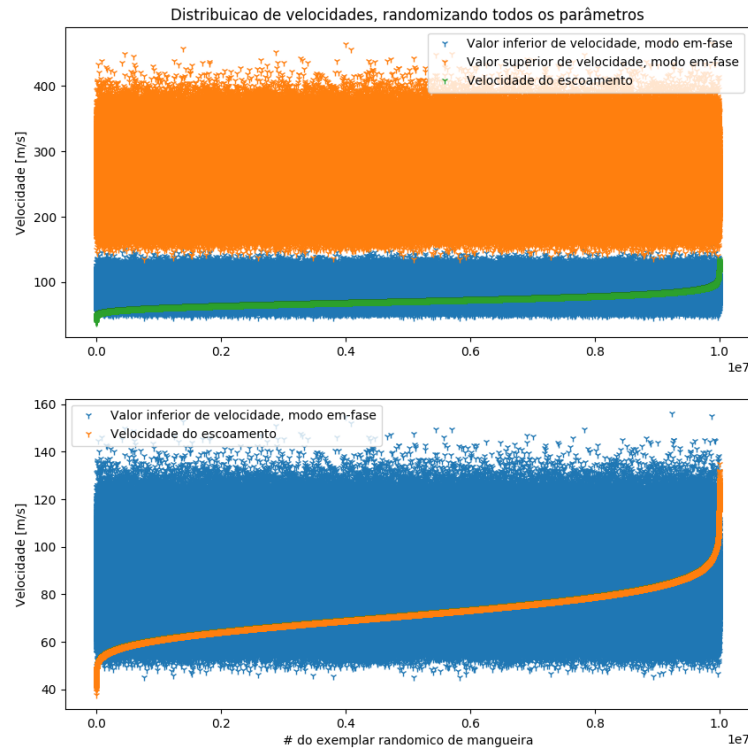


Figura 30 – Distribuição de velocidades na simulação 10

A tab. 7 lista o resultado das simulações de Monte Carlo, contendo a porcentagem de mangueiras com acoplamento para cada um dos casos simulados.

Tabela 7 – Resultado simulações de Monte Carlo

| Simulação | Parâmetro Variado | N° de mangueiras com acoplamento | Total de exemplares | Porcentagem de mangueiras com acoplamento (%) |
|-----------|-------------------|---|---------------------|---|
| 01 | σ | 310 | 1000000 | 0.03 |
| 02 | h | 46258 | 1000000 | 4.63 |
| 03 | t | 1522 | 1000000 | 0.15 |
| 04 | D_i | 61557 | 1000000 | 6.16 |
| 05 | E | 0 | 1000000 | 0.00 |
| 06 | ρ_m | 0 | 1000000 | 0.00 |
| 07 | \dot{m} | 561 | 1000000 | 0.06 |
| 08 | ρ_f | 1063 | 1000000 | 0.11 |
| 09 | todos | 186109 | 1000000 | 18.61 |
| 10 | todos | 1854099 | 10000000 | 18.54 |

A simulação 10 foi realizada para garantir que o mesmo numero de exemplares de mangueira flexível variando um ou todos os parâmetros é suficiente para fixar uma porcentagem de acoplamento. Foi observado que mesmo com dez vezes mais exemplares a porcentagem se manteve semelhante.

A partir das simulações de Monte Carlo foi possível verificar que mesmo operando nominalmente, fora do regime vibratório, mangueiras flexíveis estão suscetíveis ao acoplamento fluido-estrutural devido a incerteza de parâmetros construtivos e operacionais das mesmas.

Em corroboração com a análise de sensibilidade, a aleatoriedade dos parâmetros h e D_i proporcionaram uma maior porcentagem de acoplamento em relação aos outros parâmetros.

4.4 Distribuições de entrada e saída

Os histogramas dos valores de entrada com maior sensibilidade no método (h e D_i) e suas saídas estão nas fig. 31 e 32. Para h é analisado a distribuição gerada na velocidade inferior (V_i) para o modo em fase, já para D_i é analisada a distribuição gerada na velocidade do escoamento (V_e).

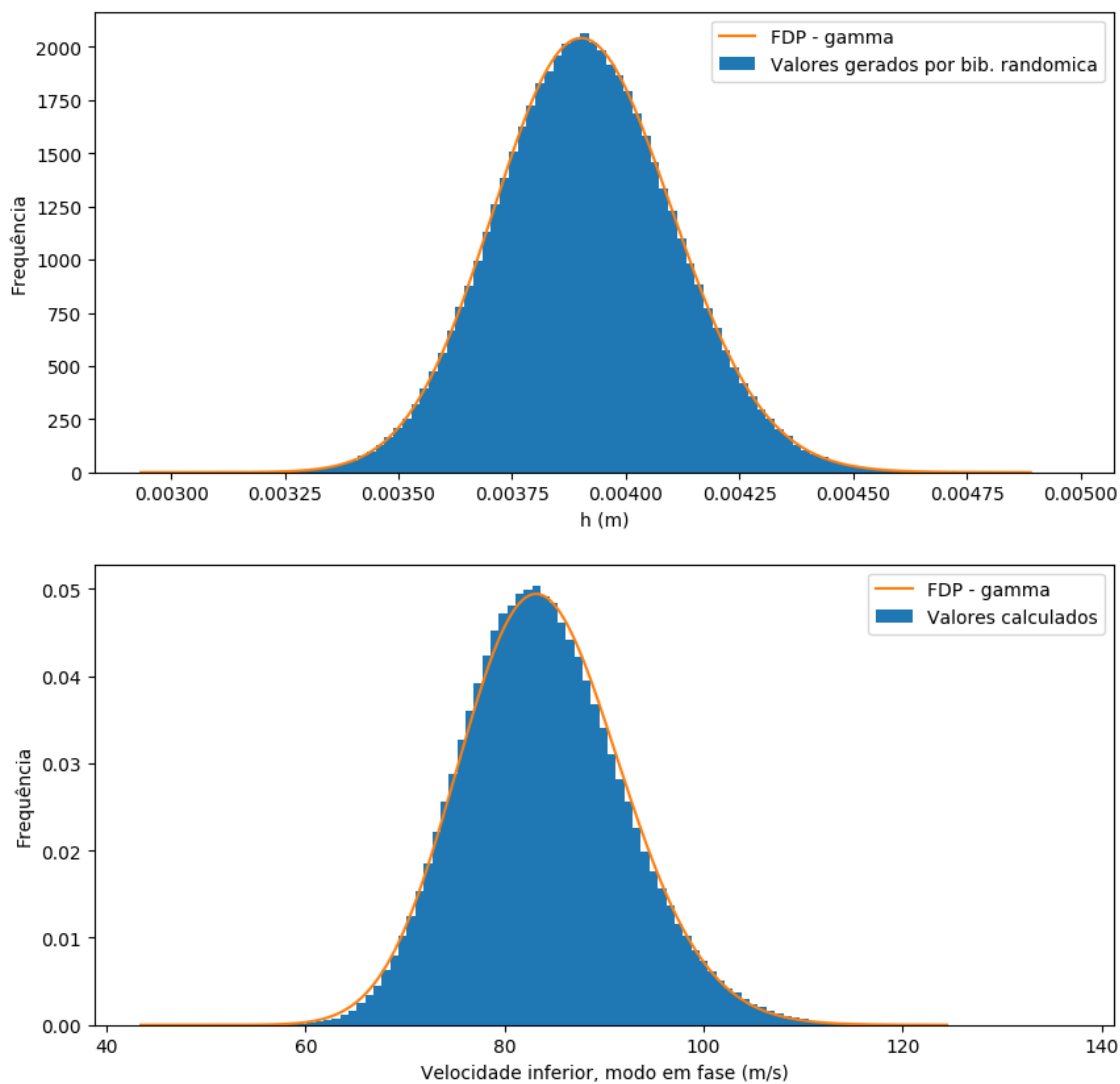
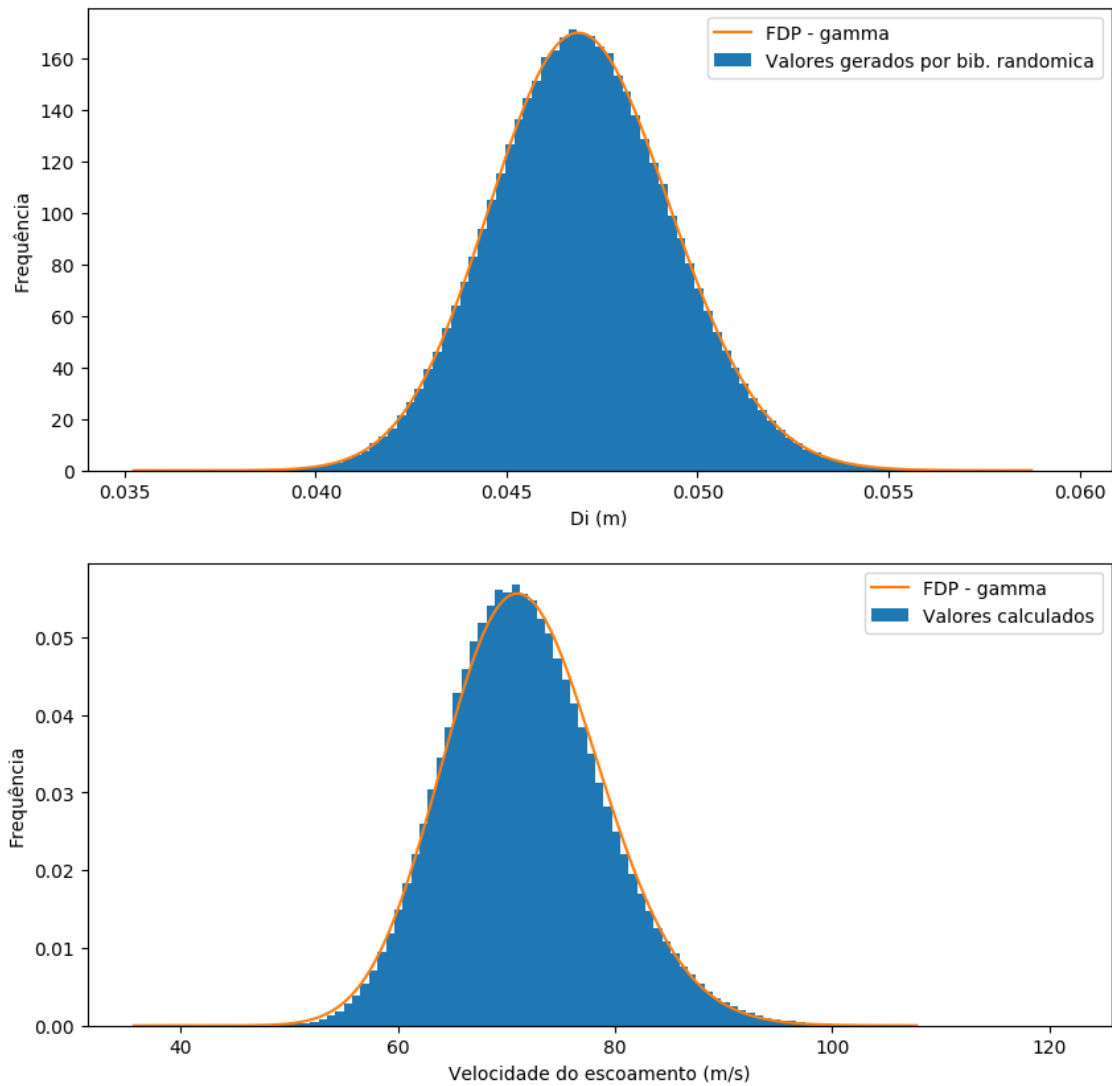


Figura 31 – Histogramas - parâmetro h

Figura 32 – Histogramas - parâmetro D_i

Observa-se nos histogramas que as distribuições de saída (V_i para h e V_e para D_i) aproximam-se bastante a função de densidade de probabilidade (FDP) gerada usando o valor médio e o desvio padrão das saídas encontradas como parâmetros de entrada. Dessa forma é possível afirmar que as saídas são ordenadas em uma distribuição gamma.

4.5 Interferência do desvio padrão da entrada

Os resultados obtidos na análise de interferência do desvio padrão utilizado na randomização dos valores de entrada das simulações está exposto nas figuras 33 e 34.

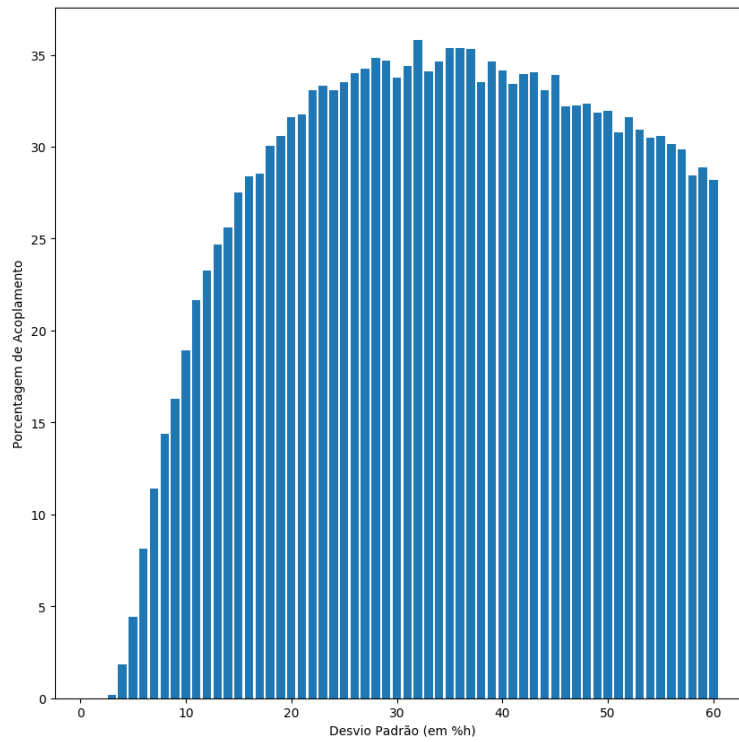


Figura 33 – Relação entre o desvio padrão em h e a porcentagem de acoplamento

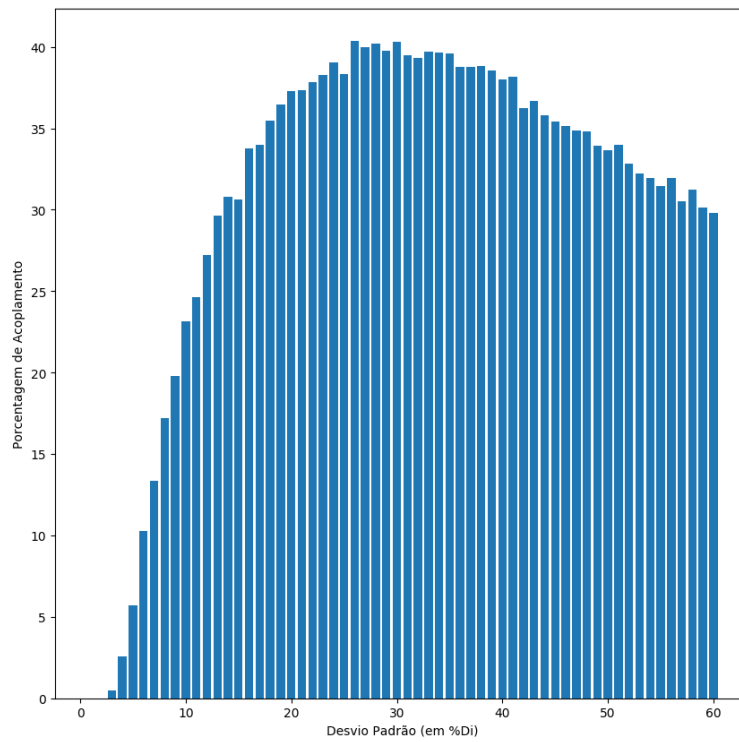


Figura 34 – Relação entre o desvio padrão em D_i e a porcentagem de acoplamento

Observa-se que a porcentagem de acoplamento cresce em relação ao desvio padrão até um valor máximo onde começa a decrescer. Esse fenômeno pode ser melhor analisado ao se observar a distribuição dos valores de saída para o valor de desvio padrão que gera esse máximo (pela fig. 33 aproximadamente 35% do valor de h), como exemplifica a fig. 35.

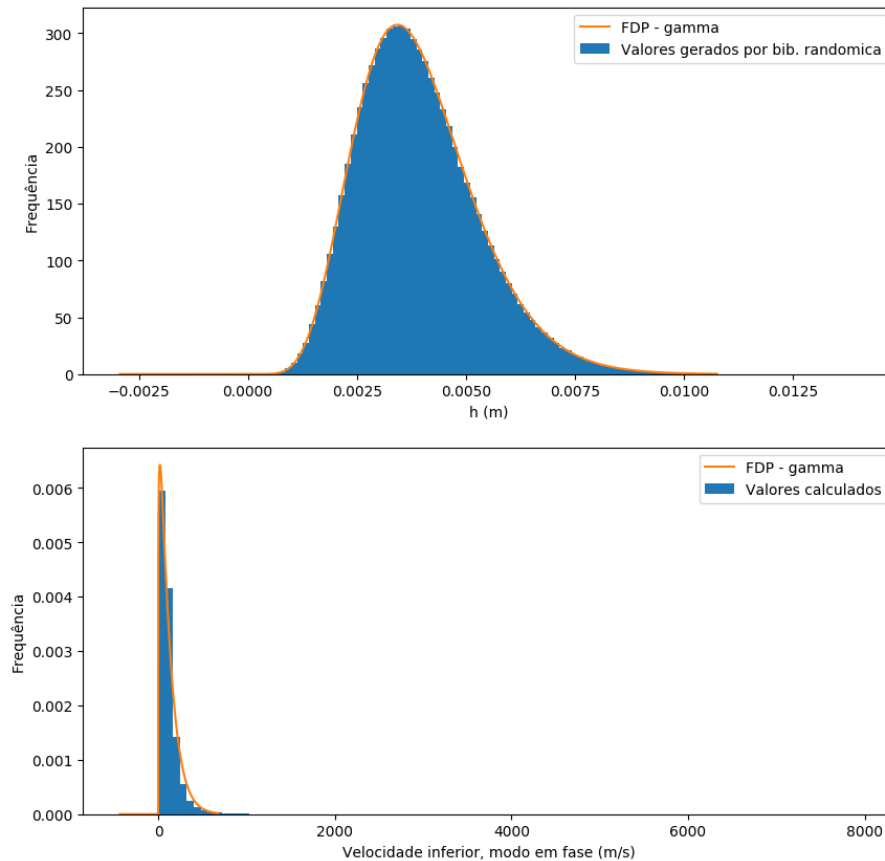


Figura 35 – Histograma variando h usando 35% de h como desvio padrão

Analisando as figuras 33 e 35 é possível inferir que a porcentagem de acoplamentos começa a decair a partir do momento em que o valor de desvio padrão começa a impor um valor baixo no parâmetro de forma da FDP gamma da distribuição dos valores de saída (V_e e V_i).

5 Conclusão

Esse trabalho de conclusão de curso teve como objetivo a caracterização de incertezas no fenômeno de vibração induzida por escoamento em mangueiras flexíveis para aplicações aeroespaciais. Para tal, foi estudado o método que descreve o fenômeno vibratório, este método foi implementado em linguagem computacional *Python* e devidamente validado. Uma vez validada a implementação do método foi analisada a sensibilidade do mesmo a cada um dos parâmetros descritivos e operacionais da mangueira flexível.

Realizou-se também o estudo e implementação do método de simulação de Monte Carlo. Simulações foram rodadas para considerando separadamente cada parâmetro como variáveis aleatórias seguida de uma simulação considerando incertezas em todos os parâmetros da linha flexível.

De maneira a extrair o máximo possível de informações da análise, foi também avaliado o efeito de variação do desvio padrão utilizado na descrição da função de densidade de probabilidade de entrada nas variáveis com maior sensibilidade ao método, bem como qual é a distribuição de probabilidade na saída do sistema.

Todos os códigos desenvolvidos encontram-se nos apêndices do presente trabalho.

Os parâmetros que se mostraram mais sensíveis na validação de linhas flexíveis foram a altura das convoluções (h) com 29.03% de acoplamento no modo fora de fase e o diâmetro interno da mangueira (D_i) com 31.32% de acoplamento para o modo fora de fase, ambos os parâmetros foram variados em mais e menos 20% do valor nominal. Dessa forma tais parâmetros devem receber especial atenção e uma margem de segurança deve ser aplicada nos mesmos para completamente evitar acoplamento fluido estrutural de acordo com [MSFC \(1992\)](#).

As simulações de Monte Carlo de cada parâmetro sendo randomizado isoladamente mostraram baixas porcentagens de acoplamento (6.16% no pior caso), porém ao considerar a incerteza em todos os parâmetros 18.61% dos exemplares entraram em acoplamento, um número significativo. Como as simulações foram realizadas a partir de um exemplo onde nominalmente não há acoplamento o estudo aqui realizado demonstra que para prevenir completamente a linha flexível de acoplamento é necessário considerar também o efeito das incertezas dos parâmetros.

Possíveis avanços nos estudos realizados na presente monografia podem ser alcançados a partir de análises experimentais do fenômeno, aprimorando o método empírico descrito em [MSFC \(1992\)](#). É possível também futuramente analisar o efeito de incertezas nas estimativas de tensões para cada modo de acoplamento descrito em [MSFC \(1992\)](#).

Referências

- BASS III, R. L. et al. *Flow-induced Vibration of Bellows With Internal Cryogenic Fluid Flows*. [S.l.], 1970. Disponível em: <<https://ntrs.nasa.gov/search.jsp?R=19710003606>>. Citado 2 vezes nas páginas 24 e 25.
- CAP, D.; URQUIDI, R.; CANZONA, G. *Nano-grained aluminum alloy bellows*. Google Patents, 2013. US Patent 8,429,894. Disponível em: <<http://www.google.com/patents/US8429894>>. Citado na página 23.
- CUNHA, A. J. Modeling and Quantification of Physical Systems Uncertainties in a Probabilistic Framework. In: ALEMAYEHU, S. E.-O. A. C. G. F. M. (Ed.). *Probabilistic Prognostics and Health Management of Energy Systems*. Springer International Publishing, 2017. p. 127–156. Disponível em: <<https://hal.archives-ouvertes.fr/hal-01516295>>. Citado na página 38.
- DOUGHERTY JR, N. S.; RAFFERTY, C. A. *Altitude Developmental Testing of the J-2 Rocket Engine in Propulsion Engine Test Cell (J-4) (Tests J4-1801-39 through J4-1801-41)*. [S.l.], 1968. Disponível em: <<http://www.dtic.mil/get-tr-doc/pdf?AD=AD0848188>>. Citado na página 24.
- GERLACH, C.; SCHROEDER, E. *Study of Minimum Pressure Loss in High Velocity Duct Systems*. [S.l.], 1969. Disponível em: <<https://ntrs.nasa.gov/search.jsp?R=19700016070>>. Citado 6 vezes nas páginas 24, 25, 30, 31, 32 e 34.
- GERLACH, C. R. Flow-induced vibrations of metal bellows. *Journal of Engineering for Industry*, ASME, v. 91, n. 4, p. 1196–1202, 11 1969. Disponível em: <<http://dx.doi.org/10.1115/1.3591771>>. Citado 3 vezes nas páginas 24, 25 e 31.
- HUZEL, D.; HUANG, D. *Modern Engineering for Design of Liquid-Propellant Rocket Engines*. [S.l.]: American Institute of Aeronautics & Astronautics, 1992. Citado na página 23.
- JOHANSEN, A. M.; EVERS, L. *Monte Carlo Methods*. [S.l.]: University of Bristol, 2008. (Lecture Notes of the Department of Mathematics). Citado na página 38.
- JOHNSON, J. E. et al. *Bellows Flow-Induced Vibrations*. [S.l.], 1979. Disponível em: <<https://ntrs.nasa.gov/search.jsp?R=19810023877>>. Citado na página 25.
- MONTGOMERY, D.; RUNGER, G. *Applied Statistics and Probability for Engineers*. John Wiley & Sons, 2010. ISBN 9780470053041. Disponível em: <https://books.google.com.br/books?id=_f4KrEcNAfEC>. Citado na página 38.
- NASA MARSHALL SPACE FLIGHT CENTER. *MSFC-DWG-20M02540 - Assessment of Flexible Lines For Flow Induced Vibration*. Huntsville, Alabama, 1992. 107 p. Citado 9 vezes nas páginas 25, 29, 31, 34, 35, 37, 39, 42 e 65.
- NATIONAL AERONAUTICS AND SPACE ADMINISTRATION. *NASA-STD-5012B - Strength and Life Assessment Requirements For Liquid-Fueled Space Propulsion System Engines*. [S.l.], 2016. 47 p. Citado na página 25.

PAPADOPOULOS, C. E.; YEUNG, H. Uncertainty estimation and monte carlo simulation method. *Flow Measurement and Instrumentation*, v. 12, n. 4, p. 291 – 298, 2001. ISSN 0955-5986. Disponível em: <<http://www.sciencedirect.com/science/article/pii/S0955598601000152>>. Citado na página 38.

RIPLEY, B. *Stochastic simulation*. J. Wiley, 1987. (Wiley Series in Probability and Statistics). ISBN 9780471818847. Disponível em: <<https://books.google.com.br/books?id=VW1HAAAAMAAJ>>. Citado na página 38.

TYGIELSKI, P. J.; SMYLY, H. M.; GERLACH, C. R. *Bellows Flow-Induced Vibrations*. [S.l.], 1983. Disponível em: <<https://ntrs.nasa.gov/search.jsp?R=19840014844>>. Citado 7 vezes nas páginas 25, 30, 32, 34, 35, 36 e 37.

YORIYAZ, H. Método de monte carlo: princípios e aplicações em física médica. *Revista Brasileira de Física Médica*, p. 141–149, 2009. Citado na página 38.

Apêndices

APÊNDICE A – Valores Nominais Utilizados

A.1 Parâmetros utilizados na validação da implementação em 4.1

Comprimento da convolução = $\sigma = 0.0018288m$

Passo entre as convoluções = $\lambda = 0.0026416m$

Altura das convoluções = $h = 0.0039116m$

Espessura da camada = $t = 0.000254m$

Número de camadas = $N_p = 2$

Diâmetro interno = $D_i = 0.04699m$

Diâmetro externo = $D_e = D_i + 2(h + (N_p t))m$

Módulo de elasticidade = $E = 1.96e11Pa$

Densidade do material das convoluções = $\rho_m = 7805.75kg/m^3$

Pressão interna = $P = 4.137e + 6Pa$

Temperatura interna = $T = 297.039K$

Vazão mássica = $\dot{m} = 2.63905kg/s$

Densidade do fluido = $\rho_f = 6.48kg/m^3$

Razão de calores específicos = $\gamma = (5/3)$

A.2 Valores nominais dos parâmetros utilizados em 4.2, 4.3, 4.4 e 4.5

$$\text{Comprimento da convolução} = \sigma = 0.0018288m$$

$$\text{Passo entre as convoluções} = \lambda = 0.0026416m$$

$$\text{Altura das convoluções} = h = 0.0039116m$$

$$\text{Espessura da camada} = t = 0.000254m$$

$$\text{Número de camadas} = N_p = 2$$

$$\text{Diâmetro interno} = D_i = 0.04699m$$

$$\text{Diâmetro externo} = D_e = D_i + 2(h + (N_p t))m$$

$$\text{Módulo de elasticidade} = E = 1.96e11Pa$$

$$\text{Densidade do material das convoluções} = \rho_m = 7805.75kg/m^3$$

$$\text{Pressão interna} = P = 4.137e + 6Pa$$

$$\text{Temperatura interna} = T = 297.039K$$

$$\text{Vazão mássica} = \dot{m} = 0.80kg/s$$

$$\text{Densidade do fluido} = \rho_f = 6.48kg/m^3$$

$$\text{Razão de calores específicos} = \gamma = (5/3)$$

APÊNDICE B – flexhose.py

```

1 from math import pi
2 from random import gammavariate
3
4
5 class FlexHose:
6     # constructor
7     def __init__(self, sigma=0.0018288, Lambda=0.0026416, h=0.0039116,
8                 t=0.000254, Di=0.04699, De=0, Np=2, Nc=1, E=1.96e11,
9                 rho_m=7805.75):
10        self.sigma = sigma           # inside convolute width, in meters [m]
11        self.Lambda = Lambda         # inside convolute pitch, in meters [m]
12        self.h = h                   # convolute height, in meters [m]
13        self.t = t                   # ply thickness, in meters [m]
14        self.Di = Di                 # internal diameter, in meters [m]
15        self.Np = Np                 # number of plies
16        self.De = Di + 2*(h+(Np*t)) # external diameter, in meters [m]
17        self.Nc = Nc                 # number of convolutions, 1 for
FlexHose
18        self.E = E                   # Young's module
19        self.rho_m = rho_m           # material density, in Kg/m^3
20
21    # return new FlexHose with random input values
22    def new_random(self, sd):
23        #sd -> standard deviation
24        sd_sigma=0.05*self.sigma
25        sd_h=sd*self.h
26        sd_t=0.05*self.t
27        sd_Di=sd*self.Di
28        sd_E=0.05*self.E
29        sd_rho_m=0.05*self.rho_m
30        return FlexHose(
31            # sigma = gammavariate((self.sigma/sd_sigma)**2, (sd_sigma**2)/
self.sigma),
32            # h = gammavariate((self.h/sd_h)**2, (sd_h**2)/self.h),
33            # t = gammavariate((self.t/sd_t)**2, (sd_t**2)/self.t),
34            Di = gammavariate((self.Di/sd_Di)**2, (sd_Di**2)/self.Di),
35            # E = gammavariate((self.E/sd_E)**2, (sd_E**2)/self.E),
36            # rho_m = gammavariate((self.rho_m/sd_rho_m)**2, (sd_rho_m**2)/
self.rho_m)
37        )
38
39    # return new hose for sensibility test
40    def new_hose(self, sigma=0.0018288, Lambda=0.0026416, h=0.0039116,

```

```

41         t=0.000254, Di=0.04699, De=0.0558292, Np=2, Nc=1, E=1.96e11
42     ,
43         rho_m=7805.75):
44
45     # mean diameter
46     def Dm(self):
47         return (self.Di + self.De)/2
48
49     # internal radius of external convolute, in meters [m]
50     def a(self):
51         return (self.sigma-self.t*self.Np)/2
52
53     # distance between adjacent convolutions
54     def delta(self):
55         return self.sigma - (2 * (self.t * self.Np))
56
57     # elemental spring rate
58     def k(self):
59         return 2 * (self.Dm() * self.E * (self.Np/self.Nc) * ((self.t/self.
60 h)**3))
61
62     # material mass
63     def m_m(self):
64         return pi * self.rho_m * self.t * self.Np * self.Dm() * ((pi * self
65 .a()) + self.h - (2 * self.a()))
66
67     # parameter for acoustic vibration
68     def FNCO(self):
69         if (self.h/(self.Di/2)) < 0.4 and (self.h/(self.Di/2)) >= 0:
70             return 3.8 - (16.72 * ((self.h/(self.Di/2))**2)) + (13.67 * ((
71 self.h/(self.Di/2))**3))
72         elif (self.h/(self.Di/2)) >= 0.4 and (self.h/(self.Di/2)) <= 1:
73             return -0.336 + 0.935 * ((self.h/(self.Di/2)) ** -1)
74
75     # SSR
76     def SSR(self):
77         return ((self.k())/2) * self.Nc / (self.Dm() * self.Np)
78
79     # parameter for FIS calc
80     def EE(self):
81         return 1 + 0.1 * ( 2757902.8/self.SSR()) * (2757902.8 / self.SSR())

```

APÊNDICE C – fluid.py

```

1 from random import gammavariate
2
3 class Fluid:
4     # constructor
5     def __init__(self, p=4.137e+6, T=297.039, m_dot=0.80, rho_f=6.48, gamma
    =(5/3)):
6         self.p = p           # fluid pressure, in pascal [Pa]
7         self.T = T           # fluid temperature, in kelvins [K]
8         self.m_dot = m_dot   # mass flow rate, in Kg/s
9         self.rho_f = rho_f   # fluid density, in Kg/m3
10        self.gamma = gamma   # Ratio of specific heats
11
12    # speed of sound in the medium
13    def S_s(self):
14        return (self.gamma * (self.p / self.rho_f))**0.5
15
16    # return new FlexHose with random input values
17    def new_random(self):
18        #sd -> standard deviation
19        sd_m_dot=0.05*self.m_dot
20        sd_rho_f=0.05*self.rho_f
21
22        return Fluid(
23            # m_dot = gammavariate((self.m_dot/sd_m_dot)**2, (sd_m_dot**2)/
    self.m_dot),
24            # rho_f = gammavariate((self.rho_f/sd_rho_f)**2, (sd_rho_f**2)/
    self.rho_f)
25        )
26
27    # return new fluid for sensibility test
28    def new_fluid(self, p=4.137e+6, T=297.039, m_dot=0.80, rho_f=6.48,
    gamma=(5/3)):
29        return Fluid(p, T, m_dot, rho_f, gamma)

```


APÊNDICE D – equations.py

```

1 from math import pi, sin
2
3 class Equations:
4     # constructor
5     def __init__(self, S_u = 0.3, S_c = 0.2, S_l = 0.1, c1 = 0.13, c2 =
6         0.462,
7         c3 = 1, c4 = 10, c5 = 0.06, c6 = 1.25, c7 = 5.5, elbow
8         = False, L = 0.034):
9         ## velocity calculation Parameters (Strouhal numbers)
10        self.S_u = S_u #Strouhal upper limit
11        self.S_c = S_c #Strouhal critic value
12        self.S_l = S_l #Strouhal lower limit
13        ## empirical non-dimensional coefficients for FIS calculation
14        self.c1 = c1
15        self.c2 = c2
16        self.c3 = c3
17        self.c4 = c4
18        self.c5 = c5
19        self.c6 = c6
20        self.c7 = c7
21        ## definition of equations for flow-induced stress calculation
22        procedure
23        self.elbow = elbow #False for no elbow present upstream, True is
24        elbow present upstream
25        self.L = L #distance from end of elbow to bellow, in
26        meters [m]
27
28        # flow speed in m/s
29        def flow_speed(self, f, fh):
30            return f.m_dot / f.rho_f / (pi * fh.Di * fh.Di / 4)
31
32        # apparent fluid added mass in convolutions (in-phase)
33        def m_IP(self, f, fh):
34            return pi * f.rho_f * fh.Dm() * fh.h * ((2 * fh.a()) - (fh.t * fh.Np)
35            ) * (0.5)
36
37        # apparent fluid added mass in convolutions (out-of-phase)
38        def m_OP(self, f, fh):
39            return 0.68 * f.rho_f * fh.Dm() * (fh.h**3) * (1/fh.delta())
40
41        # vibration frequency (in-phase)
42        def f_IP(self, f, fh):
43            return (1/(2 * pi)) * ((2 * fh.k())/(fh.m_m() + self.m_IP(f, fh)))

```

```

**0.5
38
39 # vibration frequency (out-of-phase)
40 def f_OP(self, f, fh):
41     return (1/(2 * pi)) * ((2 * fh.k())/((fh.m_m() + self.m_OP(f, fh)))
**0.5
42
43 # vibration frequency (convolute bending mode)
44 def f_CB(self, f, fh):
45     return (1/(2 * pi)) * ((8 * fh.k())/((fh.m_m() + self.m_OP(f, fh)))
**0.5
46
47 # first radial acoustic mode frequency
48 def f_acous(self, f, fh):
49     return fh.FNCO() * f.S_s() * (1/(2*pi*(fh.Di/2)))
50
51 # first radial acoustic mode velocity
52 def v_acous(self, f, fh):
53     return (self.f_acous(f, fh) * fh.sigma) / self.S_c
54
55 # velocity range calculation, outputs a vector in which position [0] is
56 # lower vel, [1] is critical vel, [2] is upper vel
57 def vel_range(self, f, fh, freq):
58     v_range = [0,0,0]
59     v_range[0] = (freq(f, fh) * fh.sigma) / self.S_u
60     v_range[1] = (freq(f, fh) * fh.sigma) / self.S_c
61     v_range[2] = (freq(f, fh) * fh.sigma) / self.S_l
62     return v_range
63
64 # critical frequency, equal to the f_OP
65 def f_c(self, f, fh):
66     return self.f_OP(f, fh)
67
68 # critical Velocity, equal to the critical vel in OP
69 def vel_c(self, f, fh):
70     return self.vel_range(f, fh, self.f_OP)[1]
71
72 # V'IP
73 def v_prime_IP(self, f, fh):
74     return self.vel_range(f, fh, self.f_IP)[1] / self.vel_c(f, fh)
75
76 # V'OP
77 def v_prime_OP(self, f, fh):
78     return self.vel_range(f, fh, self.f_OP)[1] / self.vel_c(f, fh)
79
80 # V'CB
81 def v_prime_CB(self, f, fh):

```



```

81         return self.vel_range(f, fh, self.f_CB)[1] / self.vel_c(f, fh)
82
83     # coefficient for number of plys (in-phase)
84     def Cnp_IP(self, f, fh):
85         if fh.Np == 1:
86             return 1
87         elif fh.Np > 1:
88             return 1 - ((self.c6 * (fh.sigma / fh.h)) / (1 + (self.c7 * (self
.v_prime_IP(f, fh)**2))))
89
90     # coefficient for number of plys (out-of-phase)
91     def Cnp_OP(self, f, fh):
92         if fh.Np == 1:
93             return 1
94         elif fh.Np > 1:
95             return 1 - ((self.c6 * (fh.sigma / fh.h)) / (1 + (self.c7 * (self
.v_prime_OP(f, fh)**2))))
96
97     # coefficient for number of plys (convolute bending mode)
98     def Cnp_CB(self, f, fh):
99         if fh.Np == 1:
100             return 1
101         elif fh.Np > 1:
102             return 1 - ((self.c6 * (fh.sigma / fh.h)) / (1 + (self.c7 * (self
.v_prime_CB(f, fh)**2))))
103
104     # parameter for FIS calc (in-phase)
105     def C_star_IP(self, f, fh):
106         return (self.c1 / (self.c2 + (self.v_prime_IP(f, fh)**2))) + ((self
.c3 * abs(sin(pi * self.v_prime_IP(f, fh)))) / (self.c4 + (self.v_prime_IP(
f, fh)**2))) + self.c5
107
108     # parameter for FIS calc (out-of-phase)
109     def C_star_OP(self, f, fh):
110         return (self.c1 / (self.c2 + (self.v_prime_OP(f, fh)**2))) + ((self
.c3 * abs(sin(pi * self.v_prime_OP(f, fh)))) / (self.c4 + (self.v_prime_OP(
f, fh)**2))) + self.c5
111
112     # parameter for FIS calc (convolute bending)
113     def C_star_CB(self):
114         return 0.4
115
116     # dynamic pressure (in-phase)
117     def Pd_IP(self, f, fh):
118         return (f.rho_f * (self.vel_range(f, fh, self.f_IP)[1]**2)) / 2
119
120     # dynamic pressure (out-of-phase)

```

```

121     def Pd_OP(self, f, fh):
122         return (f.rho_f * (self.vel_range(f, fh, self.f_OP)[1]**2)) / 2
123
124     # dynamic pressure (convolute bending)
125     def Pd_CB(self, f, fh):
126         return (f.rho_f * (self.vel_range(f, fh, self.f_CB)[1]**2)) / 2
127
128     # parameter for FIS calc (in-phase)
129     def DD_IP(self, f, fh):
130         return (self.C_star_IP(f, fh) * fh.t * self.Pd_IP(f, fh)) / (self.
131 v_prime_IP(f, fh) * fh.SSR() * fh.delta())
132
133     # parameter for FIS calc (out-of-phase)
134     def DD_OP(self, f, fh):
135         return (self.C_star_OP(f, fh) * fh.t * self.Pd_OP(f, fh)) / (self.
136 v_prime_OP(f, fh) * fh.SSR() * fh.delta())
137
138     # parameter for FIS calc (convolute bending)
139     def DD_CB(self, f, fh):
140         return (self.C_star_CB() * fh.t * self.Pd_CB(f, fh)) / (self.
141 v_prime_CB(f, fh) * fh.SSR() * fh.delta())
142
143     # elbow coefficient
144     def Ce(self, f, fh):
145         if self.elbow is True:
146             return 1 + (4.7 / (2 + (self.L / fh.Di)))
147         else:
148             return 1
149
150     # flow-induced stress (in-phase)
151     def FIS_IP(self, f, fh):
152         return fh.EE() * self.DD_IP(f, fh) * fh.E * self.Cnp_IP(f, fh) *
153 self.Ce(f, fh) / fh.Np
154
155     # flow-induced stress (out-of-phase)
156     def FIS_OP(self, f, fh):
157         return fh.EE() * self.DD_OP(f, fh) * fh.E * self.Cnp_OP(f, fh) *
158 self.Ce(f, fh) / fh.Np
159
160     # flow-induced stress (convolute bending)
161     def FIS_CB(self, f, fh):
162         return fh.EE() * self.DD_CB(f, fh) * fh.E * self.Cnp_CB(f, fh) *
163 self.Ce(f, fh) / fh.Np
164
165     # uncertainty factor (in-phase)
166     def UF_IP(self, f, fh):
167         if self.f_IP(f, fh) < self.f_acous(f, fh):

```

```
162         return 2.5
163     else:
164         return 2.5 * 1.5 * 5
165
166     # uncertainty factor (out-of-phase)
167     def UF_OP(self, f, fh):
168         if self.f_OP(f, fh) < self.f_acous(f, fh):
169             return 2.5
170         else:
171             return 2.5 * 1.5 * 5
172
173     # uncertainty factor (in-phase)
174     def UF_CB(self, f, fh):
175         if self.f_CB(f, fh) < self.f_acous(f, fh):
176             return 2.5
177         else:
178             return 2.5 * 1.5 * 5
179
180     # corected FISC_IP
181     def FISC_IP(self, f, fh):
182         return self.FISC_IP(f, fh) * self.UF_IP(f, fh)
183
184     # corected FISC_IP
185     def FISC_OP(self, f, fh):
186         return self.FISC_OP(f, fh) * self.UF_OP(f, fh)
187
188     # corected FISC_IP
189     def FISC_CB(self, f, fh):
190         return self.FISC_CB(f, fh) * self.UF_CB(f, fh)
```


APÊNDICE E – main.py

```

1 import fluid , flexhose , equations
2
3 f = fluid.Fluid()
4 fh = flexhose.FlexHose()
5 eq = equations.Equations()
6
7 print('The flow velocity is: %.2f m/s' %eq.flow_speed(f, fh) + '\n')
8
9 ## Checking if there is coupling for all modes
10
11 coupling_IP = False
12 coupling_OP = False
13 coupling_CB = False
14 coupling_acoustic = False
15
16 if eq.vel_range(f, fh, eq.f_IP)[0] <= eq.flow_speed(f, fh) and eq.vel_range
    (f, fh, eq.f_IP)[2] >= eq.flow_speed(f, fh):
17     coupling_IP = True
18     print('There is frequency coupling for the in-phase mode of vibration!!
    \n')
19
20 if eq.vel_range(f, fh, eq.f_OP)[0] <= eq.flow_speed(f, fh) and eq.vel_range
    (f, fh, eq.f_OP)[2] >= eq.flow_speed(f, fh):
21     coupling_OP = True
22     print('There is frequency coupling for the out-of-phase mode of
    vibration!! \n')
23
24 if eq.vel_range(f, fh, eq.f_CB)[0] <= eq.flow_speed(f, fh) and eq.vel_range
    (f, fh, eq.f_CB)[2] >= eq.flow_speed(f, fh):
25     coupling_CB = True
26     print('There is frequency coupling for the convolute bending mode of
    vibration!! \n')
27
28 if eq.v_acous(f, fh) <= eq.flow_speed(f, fh):
29     coupling_acoustic = True
30     print('There is acoustic resonance phenomenon!! \n')
31
32 ## Printing the values of velocity range and frequency for all modes
33
34 print('The coupling frequency for the in-phase mode of vibration is: \n' +
    \
35         'f(IP) = %.2f Hz \n' %eq.f_IP(f, fh) + \
36         'The velocity range for the in-phase mode of vibration is: \n' + \

```

```

37         'Lower limit (IP)      : %.2f m/s \n' %eq.vel_range(f, fh, eq.
f_IP)[0] + \
38         'Critical value (IP) : %.2f m/s \n' %eq.vel_range(f, fh, eq.
f_IP)[1] + \
39         'Upper limit (IP)      : %.2f m/s \n' %eq.vel_range(f, fh, eq.
f_IP)[2])
40
41 print('The coupling frequency for the out-of-phase mode of vibration is: \n
' + \
42         'f(OP) = %.2f Hz \n' %eq.f_OP(f, fh) + \
43         'The velocity range for the out-of-phase mode of vibration is: \n'
+ \
44         'Lower limit (OP)      : %.2f m/s \n' %eq.vel_range(f, fh, eq.
f_OP)[0] + \
45         'Critical value (OP) : %.2f m/s \n' %eq.vel_range(f, fh, eq.
f_OP)[1] + \
46         'Upper limit (OP)      : %.2f m/s \n' %eq.vel_range(f, fh, eq.
f_OP)[2])
47
48 print('The coupling frequency for the convolute bending mode of vibration
is: \n' + \
49         'f(CB) = %.2f Hz \n' %eq.f_CB(f, fh) + \
50         'The velocity range for the convolute bending mode of vibration is:
\n' + \
51         'Lower limit (CB)      : %.2f m/s \n' %eq.vel_range(f, fh, eq.
f_CB)[0] + \
52         'Critical value (CB) : %.2f m/s \n' %eq.vel_range(f, fh, eq.
f_CB)[1] + \
53         'Upper limit (CB)      : %.2f m/s \n' %eq.vel_range(f, fh, eq.
f_CB)[2])
54
55 print('The first radial acoustic mode frequency is: \n' + \
56         'f%c : %.2f Hz \n' %(955, eq.f_acous(f, fh)) + \
57         'The first radial acoustic mode velocity is: \n' + \
58         'V%c : %.2f m/s \n' %(955, eq.v_acous(f, fh)))
59
60 ### Printing the values of stress for all modes
61
62 print('The predicted Flow-Induced Stress (FIV) for the in-phase mode of
vibration is: \n' + \
63         'FIV(IP) = %.2f Pa \n' %eq.FISC_IP(f, fh) + \
64         'The predicted Flow-Induced Stress (FIV) for the out-of-phase mode of
vibration is: \n' + \
65         'FIV(OP) = %.2f Pa \n' %eq.FISC_OP(f, fh) + \
66         'The predicted Flow-Induced Stress (FIV) for the convolute bending
mode of vibration is: \n' + \
67         'FIV(CB) = %.2f Pa \n' %eq.FISC_CB(f, fh))

```

APÊNDICE F – sensibility-test-vel.py

```

1 import fluid , equations , flexhose
2 from numpy import linspace
3 import matplotlib.pyplot as plt
4
5 f = fluid.Fluid()
6 fh = flexhose.FlexHose()
7 eq = equations.Equations()
8
9 #txt for write percentage of coupling
10 txt = open('sensibility_test_vel_coup.txt', 'w')
11 txt.write('Analise de sensibilidade – Porcentagens de acoplamento em cada
12 modo\n')
13 txt.write('-----\n')
14 txt.write('Par. var. | em fase | fora de fase | flexao local \n')
15 txt.write('-----\n')
16 #txt for percentual range inposed in vel. inf. (IP) by variation of
17 variables
18 log_vel_range_ip = open('perc_comp_ip.txt', 'w')
19 log_vel_range_ip.write('Analise de sensibilidade – Velocidade Inferior modo
20 em fase\n')
21 log_vel_range_ip.write('
22 -----
23 \n')
24 log_vel_range_ip.write('Par. var. | Valor MIN | Valor Padrao | Valor MAX
25 | Porc. Esq. | Porc. Dir | Faixa de var. total(%)\n')
26 log_vel_range_ip.write('
27 -----
28 \n')
29 #txt for percentual range inposed in vel. inf. (OP) by variation of
30 variables
31 log_vel_range_op = open('perc_comp_op.txt', 'w')
32 log_vel_range_op.write('Analise de sensibilidade – Velocidade Inferior modo
33 fora de fase\n')
34 log_vel_range_op.write('
35 -----
36 \n')
37 log_vel_range_op.write('Par. var. | Valor MIN | Valor Padrao | Valor MAX
38 | Porc. Esq. | Porc. Dir | Faixa de var. total(%)\n')
39 log_vel_range_op.write('
40 -----
41 \n')
42 #txt for percentual range inposed in vel. inf. (CB) by variation of
43 variables

```

```

28 log_vel_range_cb = open('perc_comp_cb.txt', 'w')
29 log_vel_range_cb.write('Análise de sensibilidade – Velocidade Inferior modo
    de flexao local\n')
30 log_vel_range_cb.write('
    _____
    n')
31 log_vel_range_cb.write('Par. var. | Valor MIN | Valor Padrao | Valor
    MAX | Porc. Esq. | Porc. Dir | Faixa de var. total(%)\n')
32 log_vel_range_cb.write('
    _____
    n')
33
34 #txt for percentual range imposed in flow speed by variation of variables
35 log_flow_speed = open('flow_speed_range.txt', 'w')
36 log_flow_speed.write('Análise de sensibilidade – Velocidade do escoamento\n
    ')
37 log_flow_speed.write('
    _____
    n')
38 log_flow_speed.write('Par. var. | Valor MIN | Valor Padrao | Valor MAX |
    Porc. Esq. | Porc. Dir | Faixa de var. total(%)\n')
39 log_flow_speed.write('
    _____
    n')
40
41 sigma_x = linspace(0.8*fh.sigma, 1.2*fh.sigma, num=10000)
42 Lambda_x = linspace(0.8*fh.Lambda, 1.2*fh.Lambda, num=10000)
43 h_x = linspace(0.8*fh.h, 1.2*fh.h, num=10000)
44 t_x = linspace(0.8*fh.t, 1.2*fh.t, num=10000)
45 Di_x = linspace(0.8*fh.Di, 1.2*fh.Di, num=10000)
46 E_x = linspace(0.8*fh.E, 1.2*fh.E, num=10000)
47 rho_m_x = linspace(0.8*fh.rho_m, 1.2*fh.rho_m, num=10000)
48 m_dot_x = linspace(0.8*f.m_dot, 1.2*f.m_dot, num=10000)
49 rho_f_x = linspace(0.8*f.rho_f, 1.2*f.rho_f, num=10000)
50
51 #
    #####
52 # SIGMA
53
54 y1 = [] #to check if value are changing
55 yip = [] #will import value of freq. of the in-phase mode
56 yop = [] #will import value of freq. of the out-of-phase mode
57 ycb = [] #will import value of freq. of the conv. bending mode
58 y_flow_speed = [] #will import values of flow speed
59 hoses_coupling_ip = 0
60 hoses_coupling_op = 0

```



```

61 hoses_coupling_cb = 0
62
63 for i in sigma_x:
64     new_hose = fh.new_hose(sigma=i, Lambda=fh.Lambda, h=fh.h, t=fh.t, Di=fh
        .Di, De=fh.De, Np=fh.Np, Nc=fh.Nc, E=fh.E, rho_m=fh.rho_m)
65     new_fluid = f.new_fluid(p=f.p, T=f.T, m_dot=f.m_dot, rho_f=f.rho_f,
        gamma=f.gamma)
66
67     vell_ip = eq.vel_range(new_fluid, new_hose, eq.f_IP)[0]
68     velu_ip = eq.vel_range(new_fluid, new_hose, eq.f_IP)[2]
69     vell_op = eq.vel_range(new_fluid, new_hose, eq.f_OP)[0]
70     velu_op = eq.vel_range(new_fluid, new_hose, eq.f_OP)[2]
71     vell_cb = eq.vel_range(new_fluid, new_hose, eq.f_CB)[0]
72     velu_cb = eq.vel_range(new_fluid, new_hose, eq.f_CB)[2]
73     flow_speed = eq.flow_speed(new_fluid, new_hose)
74
75     #assessment of hose coupling for the in-phase mode
76     if vell_ip < flow_speed and flow_speed < velu_ip:
77         hoses_coupling_ip += 1
78     #assessment of hose coupling for the out-of-phase mode
79     if vell_op < flow_speed and flow_speed < velu_op:
80         hoses_coupling_op += 1
81     #assessment of hose coupling for the conv. bending mode
82     if vell_cb < flow_speed and flow_speed < velu_cb:
83         hoses_coupling_cb += 1
84
85     y1.append(new_hose.sigma)
86     yip.append([vell_ip, velu_ip])
87     yop.append([vell_op, velu_op])
88     ycb.append([vell_cb, velu_cb])
89     y_flow_speed.append(flow_speed)
90
91 perc_ip = (hoses_coupling_ip / len(sigma_x)) * 100
92 perc_op = (hoses_coupling_op / len(sigma_x)) * 100
93 perc_cb = (hoses_coupling_cb / len(sigma_x)) * 100
94
95 log_vel_range_ip.write('Sigma      |      %.2f      |      %.2f      |      %.2f      |
        %.2f      |      %.2f      |      %.2f\n' %(yip[0][0], eq.vel_range(f, fh, eq
        .f_IP)[0], yip[9999][0], 100*((eq.vel_range(f, fh, eq.f_IP)[0]-yip
        [0][0])/eq.vel_range(f, fh, eq.f_IP)[0]), 100*((yip[9999][0]-eq.
        vel_range(f, fh, eq.f_IP)[0])/eq.vel_range(f, fh, eq.f_IP)[0]), (100*((
        eq.vel_range(f, fh, eq.f_IP)[0]-yip[0][0])/eq.vel_range(f, fh, eq.f_IP)
        [0]) + 100*((yip[9999][0]-eq.vel_range(f, fh, eq.f_IP)[0])/eq.vel_range(
        f, fh, eq.f_IP)[0]))))
96
97 log_vel_range_op.write('Sigma      |      %.2f      |      %.2f      |      %.2f      |
        %.2f      |      %.2f      |      %.2f\n' %(yop[0][0], eq.vel_range(f, fh, eq.

```

```

f_OP)[0], yop[9999][0], 100*((eq.vel_range(f, fh, eq.f_OP)[0]-yop[0][0])
/eq.vel_range(f, fh, eq.f_OP)[0]), 100*((yop[9999][0]-eq.vel_range(f, fh
, eq.f_OP)[0])/eq.vel_range(f, fh, eq.f_OP)[0]), (100*((eq.vel_range(f,
fh, eq.f_OP)[0]-yop[0][0])/eq.vel_range(f, fh, eq.f_OP)[0]) + 100*((yop
[9999][0]-eq.vel_range(f, fh, eq.f_OP)[0])/eq.vel_range(f, fh, eq.f_OP)
[0])) ))
98
99 log_vel_range_cb.write('Sigma      |      %.2f      |      %.2f      |      %.2f      |
      %.2f      |      %.2f      |      %.2f\n' %(ycb[0][0], eq.vel_range(f, fh, eq.
f_CB)[0], ycb[9999][0], 100*((eq.vel_range(f, fh, eq.f_CB)[0]-ycb[0][0])
/eq.vel_range(f, fh, eq.f_CB)[0]), 100*((ycb[9999][0]-eq.vel_range(f, fh
, eq.f_CB)[0])/eq.vel_range(f, fh, eq.f_CB)[0]), (100*((eq.vel_range(f,
fh, eq.f_CB)[0]-ycb[0][0])/eq.vel_range(f, fh, eq.f_CB)[0]) + 100*((ycb
[9999][0]-eq.vel_range(f, fh, eq.f_CB)[0])/eq.vel_range(f, fh, eq.f_CB)
[0])) ))
100
101 log_flow_speed.write('Sigma      |      %.2f      |      %.2f      |      %.2f      |
      %.2f      |      %.2f      |      %.2f\n' %(y_flow_speed[0], eq.flow_speed(f,
fh), y_flow_speed[9999], 100*((eq.flow_speed(f, fh)-y_flow_speed[0])/eq.
flow_speed(f, fh)), 100*((y_flow_speed[9999]-eq.flow_speed(f, fh))/eq.
flow_speed(f, fh)), (100*((eq.flow_speed(f, fh)-y_flow_speed[0])/eq.
flow_speed(f, fh)) + 100*((y_flow_speed[9999]-eq.flow_speed(f, fh))/eq.
flow_speed(f, fh)))) ))
102
103 #write values of percentage of coupling for variable analysed
104 txt.write('Sigma      |      %.2f      |      %.2f      |      %.2f      \n' %(perc_ip,
perc_op, perc_cb))
105
106 plt.figure(1, figsize=(6, 15))
107 plt.subplot(311)
108 plt.plot(sigma_x, [i[0] for i in yip])
109 plt.plot(sigma_x, [i[1] for i in yip])
110 plt.plot(sigma_x, y_flow_speed)
111
112 plt.legend(['Valor inferior de velocidade, modo em fase', 'Valor superior
de velocidade, modo em fase', 'Velocidade do escoamento'])
113 plt.ylabel('Velocidade [m/s]')
114 plt.xlabel('\u03C3 (m)')
115 plt.title('Distribuicao de velocidades, \u03C3 variando em +/- 20%')
116
117 plt.subplot(312)
118 plt.plot(sigma_x, [i[0] for i in yop])
119 plt.plot(sigma_x, [i[1] for i in yop])
120 plt.plot(sigma_x, y_flow_speed)
121
122 plt.legend(['Valor inferior de velocidade, modo fora de fase', 'Valor
superior de velocidade, modo fora de fase', 'Velocidade do escoamento'])

```

```

123 plt.ylabel('Velocidade [m/s]')
124 plt.xlabel('\u03C3 (m)')
125 plt.title('Distribuicao de velocidades, \u03C3 variando em +/- 20%')
126
127 plt.subplot(313)
128 plt.plot(sigma_x, [i[0] for i in ycb])
129 plt.plot(sigma_x, [i[1] for i in ycb])
130 plt.plot(sigma_x, y_flow_speed)
131
132 plt.legend(['Valor inferior de velocidade, modo de flexao local', 'Valor
            superior de velocidade, modo de flexao local', 'Velocidade do escoamento
            '])
133 plt.ylabel('Velocidade [m/s]')
134 plt.xlabel('\u03C3 (m)')
135 plt.title('Distribuicao de velocidades, \u03C3 variando em +/- 20%')
136 plt.savefig('texto/figuras/graphs/sensibility_test/sigma.png',bbox_inches='
            tight')
137
138
139 #
            #####

140 #         h
141
142 y1 = [] #to check if value are changing
143 yip = [] #will import value of freq. of the in-phase mode
144 yop = [] #will import value of freq. of the out-of-phase mode
145 ycb = [] #will import value of freq. of the conv. bending mode
146 y_flow_speed = [] #will import values of flow speed
147 hoses_coupling_ip = 0
148 hoses_coupling_op = 0
149 hoses_coupling_cb = 0
150
151 for i in h_x:
152     new_hose = fh.new_hose(sigma=fh.sigma, Lambda=fh.Lambda, h=i, t=fh.t,
            Di=fh.Di, De=fh.De, Np=fh.Np, Nc=fh.Nc, E=fh.E, rho_m=fh.rho_m)
153     new_fluid = f.new_fluid(p=f.p, T=f.T, m_dot=f.m_dot, rho_f=f.rho_f,
            gamma=f.gamma)
154
155     vell_ip = eq.vel_range(new_fluid, new_hose, eq.f_IP)[0]
156     velu_ip = eq.vel_range(new_fluid, new_hose, eq.f_IP)[2]
157     vell_op = eq.vel_range(new_fluid, new_hose, eq.f_OP)[0]
158     velu_op = eq.vel_range(new_fluid, new_hose, eq.f_OP)[2]
159     vell_cb = eq.vel_range(new_fluid, new_hose, eq.f_CB)[0]
160     velu_cb = eq.vel_range(new_fluid, new_hose, eq.f_CB)[2]
161     flow_speed = eq.flow_speed(new_fluid, new_hose)
162

```

```

163 #assessment of hose coupling for the in-phase mode
164 if vell_ip < flow_speed and flow_speed < velu_ip:
165     hoses_coupling_ip += 1
166 #assessment of hose coupling for the out-of-phase mode
167 if vell_op < flow_speed and flow_speed < velu_op:
168     hoses_coupling_op += 1
169 #assessment of hose coupling for the conv. bending mode
170 if vell_cb < flow_speed and flow_speed < velu_cb:
171     hoses_coupling_cb += 1
172
173 y1.append(new_hose.h)
174 yip.append([vell_ip, velu_ip])
175 yop.append([vell_op, velu_op])
176 ycb.append([vell_cb, velu_cb])
177 y_flow_speed.append(flow_speed)
178
179 perc_ip = (hoses_coupling_ip / len(h_x)) * 100
180 perc_op = (hoses_coupling_op / len(h_x)) * 100
181 perc_cb = (hoses_coupling_cb / len(h_x)) * 100
182
183 log_vel_range_ip.write('h          |      %.2f      |      %.2f      |      %.2f      |
          %.2f      |      %.2f      | %.2f\n' %(yip[9999][0], eq.vel_range(f, fh,
eq.f_IP)[0], yip[0][0], 100*((eq.vel_range(f, fh, eq.f_IP)[0]-yip
[9999][0])/eq.vel_range(f, fh, eq.f_IP)[0]), 100*((yip[0][0]-eq.
vel_range(f, fh, eq.f_IP)[0])/eq.vel_range(f, fh, eq.f_IP)[0]), (100*((
eq.vel_range(f, fh, eq.f_IP)[0]-yip[9999][0])/eq.vel_range(f, fh, eq.
f_IP)[0]) + 100*((yip[0][0]-eq.vel_range(f, fh, eq.f_IP)[0])/eq.
vel_range(f, fh, eq.f_IP)[0]))))
184
185 log_vel_range_op.write('h          |      %.2f      |      %.2f      |      %.2f      |
          %.2f      |      %.2f      | %.2f\n' %(yop[9999][0], eq.vel_range(f, fh,
eq.f_OP)[0], yop[0][0], 100*((eq.vel_range(f, fh, eq.f_OP)[0]-yop
[9999][0])/eq.vel_range(f, fh, eq.f_OP)[0]), 100*((yop[0][0]-eq.
vel_range(f, fh, eq.f_OP)[0])/eq.vel_range(f, fh, eq.f_OP)[0]), (100*((
eq.vel_range(f, fh, eq.f_OP)[0]-yop[9999][0])/eq.vel_range(f, fh, eq.
f_OP)[0]) + 100*((yop[0][0]-eq.vel_range(f, fh, eq.f_OP)[0])/eq.
vel_range(f, fh, eq.f_OP)[0]))))
186
187 log_vel_range_cb.write('h          |      %.2f      |      %.2f      |      %.2f      |
          %.2f      |      %.2f      | %.2f\n' %(ycb[9999][0], eq.vel_range(f, fh,
eq.f_CB)[0], ycb[0][0], 100*((eq.vel_range(f, fh, eq.f_CB)[0]-ycb
[9999][0])/eq.vel_range(f, fh, eq.f_CB)[0]), 100*((ycb[0][0]-eq.
vel_range(f, fh, eq.f_CB)[0])/eq.vel_range(f, fh, eq.f_CB)[0]), (100*((
eq.vel_range(f, fh, eq.f_CB)[0]-ycb[9999][0])/eq.vel_range(f, fh, eq.
f_CB)[0]) + 100*((ycb[0][0]-eq.vel_range(f, fh, eq.f_CB)[0])/eq.
vel_range(f, fh, eq.f_CB)[0]))))
188

```

```

189 log_flow_speed.write('h          |      %.2f |      %.2f |      %.2f |
      %.2f |      %.2f |      %.2f\n' %(y_flow_speed[0], eq.flow_speed(f,
      fh), y_flow_speed[9999], 100*((eq.flow_speed(f, fh)-y_flow_speed[0])/eq.
      flow_speed(f, fh)), 100*((y_flow_speed[9999]-eq.flow_speed(f, fh))/eq.
      flow_speed(f, fh)), (100*((eq.flow_speed(f, fh)-y_flow_speed[0])/eq.
      flow_speed(f, fh)) + 100*((y_flow_speed[9999]-eq.flow_speed(f, fh))/eq.
      flow_speed(f, fh))) ))
190
191 #write values of percentage of coupling for variable analysed
192 txt.write('h          |      %.2f |      %.2f |      %.2f \n' %(perc_ip,
      perc_op, perc_cb))
193
194 plt.figure(3, figsize=(6, 15))
195 plt.subplot(311)
196 plt.plot(h_x, [i[0] for i in yip])
197 plt.plot(h_x, [i[1] for i in yip])
198 plt.plot(h_x, y_flow_speed)
199
200 plt.legend(['Valor inferior de velocidade, modo em fase', 'Valor superior
      de velocidade, modo em fase', 'Velocidade do escoamento'])
201 plt.ylabel('Velocidade [m/s]')
202 plt.xlabel('h (m)')
203 plt.title('Distribuicao de velocidades, h variando em +/- 20%')
204
205 plt.subplot(312)
206 plt.plot(h_x, [i[0] for i in yop])
207 plt.plot(h_x, [i[1] for i in yop])
208 plt.plot(h_x, y_flow_speed)
209
210 plt.legend(['Valor inferior de velocidade, modo fora de fase', 'Valor
      superior de velocidade, modo fora de fase', 'Velocidade do escoamento'])
211 plt.ylabel('Velocidade [m/s]')
212 plt.xlabel('h (m)')
213 plt.title('Distribuicao de velocidades, h variando em +/- 20%')
214
215 plt.subplot(313)
216 plt.plot(h_x, [i[0] for i in ycb])
217 plt.plot(h_x, [i[1] for i in ycb])
218 plt.plot(h_x, y_flow_speed)
219
220 plt.legend(['Valor inferior de velocidade, modo de flexao local', 'Valor
      superior de velocidade, modo de flexao local', 'Velocidade do escoamento
      '])
221 plt.ylabel('Velocidade [m/s]')
222 plt.xlabel('h (m)')
223 plt.title('Distribuicao de velocidades, h variando em +/- 20%')
224

```

```

225 plt.savefig('texto/figuras/graphs/sensibility_test/h.png',bbox_inches='
      tight')
226
227 #
      #####
228 #      t
229
230 y1 = [] #to check if value are changing
231 yip = [] #will import value of freq. of the in-phase mode
232 yop = [] #will import value of freq. of the out-of-phase mode
233 ycb = [] #will import value of freq. of the conv. bending mode
234 y_flow_speed = [] #will import values of flow speed
235 hoses_coupling_ip = 0
236 hoses_coupling_op = 0
237 hoses_coupling_cb = 0
238
239 for i in t_x:
240     new_hose = fh.new_hose(sigma=fh.sigma, Lambda=fh.Lambda, h=fh.h, t=i,
      Di=fh.Di, De=fh.De, Np=fh.Np, Nc=fh.Nc, E=fh.E, rho_m=fh.rho_m)
241     new_fluid = f.new_fluid(p=f.p, T=f.T, m_dot=f.m_dot, rho_f=f.rho_f,
      gamma=f.gamma)
242
243     vell_ip = eq.vel_range(new_fluid, new_hose, eq.f_IP)[0]
244     velu_ip = eq.vel_range(new_fluid, new_hose, eq.f_IP)[2]
245     vell_op = eq.vel_range(new_fluid, new_hose, eq.f_OP)[0]
246     velu_op = eq.vel_range(new_fluid, new_hose, eq.f_OP)[2]
247     vell_cb = eq.vel_range(new_fluid, new_hose, eq.f_CB)[0]
248     velu_cb = eq.vel_range(new_fluid, new_hose, eq.f_CB)[2]
249     flow_speed = eq.flow_speed(new_fluid, new_hose)
250
251     #assessment of hose coupling for the in-phase mode
252     if vell_ip < flow_speed and flow_speed < velu_ip:
253         hoses_coupling_ip += 1
254     #assessment of hose coupling for the out-of-phase mode
255     if vell_op < flow_speed and flow_speed < velu_op:
256         hoses_coupling_op += 1
257     #assessment of hose coupling for the conv. bending mode
258     if vell_cb < flow_speed and flow_speed < velu_cb:
259         hoses_coupling_cb += 1
260
261     y1.append(new_hose.t)
262     yip.append([vell_ip, velu_ip])
263     yop.append([vell_op, velu_op])
264     ycb.append([vell_cb, velu_cb])
265     y_flow_speed.append(flow_speed)
266

```

```

267 perc_ip = (hoses_coupling_ip / len(t_x)) * 100
268 perc_op = (hoses_coupling_op / len(t_x)) * 100
269 perc_cb = (hoses_coupling_cb / len(t_x)) * 100
270
271 log_vel_range_ip.write('t          |      %.2f |      %.2f |      %.2f |
      %.2f |      %.2f |      %.2f\n' %(yip[0][0], eq.vel_range(f, fh, eq.
f_IP)[0], yip[9999][0], 100*((eq.vel_range(f, fh, eq.f_IP)[0]-yip[0][0])
/eq.vel_range(f, fh, eq.f_IP)[0]), 100*((yip[9999][0]-eq.vel_range(f, fh
, eq.f_IP)[0])/eq.vel_range(f, fh, eq.f_IP)[0]), (100*((eq.vel_range(f,
fh, eq.f_IP)[0]-yip[0][0])/eq.vel_range(f, fh, eq.f_IP)[0]) + 100*((yip
[9999][0]-eq.vel_range(f, fh, eq.f_IP)[0])/eq.vel_range(f, fh, eq.f_IP)
[0]))))
272
273 log_vel_range_op.write('t          |      %.2f |      %.2f |      %.2f |
      %.2f |      %.2f |      %.2f\n' %(yop[0][0], eq.vel_range(f, fh, eq.
f_OP)[0], yop[9999][0], 100*((eq.vel_range(f, fh, eq.f_OP)[0]-yop[0][0])
/eq.vel_range(f, fh, eq.f_OP)[0]), 100*((yop[9999][0]-eq.vel_range(f, fh
, eq.f_OP)[0])/eq.vel_range(f, fh, eq.f_OP)[0]), (100*((eq.vel_range(f,
fh, eq.f_OP)[0]-yop[0][0])/eq.vel_range(f, fh, eq.f_OP)[0]) + 100*((yop
[9999][0]-eq.vel_range(f, fh, eq.f_OP)[0])/eq.vel_range(f, fh, eq.f_OP)
[0]))))
274
275 log_vel_range_cb.write('t          |      %.2f |      %.2f |      %.2f |
      %.2f |      %.2f |      %.2f\n' %(ycb[0][0], eq.vel_range(f, fh, eq.
f_CB)[0], ycb[9999][0], 100*((eq.vel_range(f, fh, eq.f_CB)[0]-ycb[0][0])
/eq.vel_range(f, fh, eq.f_CB)[0]), 100*((ycb[9999][0]-eq.vel_range(f, fh
, eq.f_CB)[0])/eq.vel_range(f, fh, eq.f_CB)[0]), (100*((eq.vel_range(f,
fh, eq.f_CB)[0]-ycb[0][0])/eq.vel_range(f, fh, eq.f_CB)[0]) + 100*((ycb
[9999][0]-eq.vel_range(f, fh, eq.f_CB)[0])/eq.vel_range(f, fh, eq.f_CB)
[0]))))
276
277 log_flow_speed.write('t          |      %.2f |      %.2f |      %.2f |
      %.2f |      %.2f |      %.2f\n' %(y_flow_speed[0], eq.flow_speed(f,
fh), y_flow_speed[9999], 100*((eq.flow_speed(f, fh)-y_flow_speed[0])/eq.
flow_speed(f, fh)), 100*((y_flow_speed[9999]-eq.flow_speed(f, fh))/eq.
flow_speed(f, fh)), (100*((eq.flow_speed(f, fh)-y_flow_speed[0])/eq.
flow_speed(f, fh)) + 100*((y_flow_speed[9999]-eq.flow_speed(f, fh))/eq.
flow_speed(f, fh))))))
278
279 #write values of percentage of coupling for variable analysed
280 txt.write('t          |      %.2f |      %.2f |      %.2f \n' %(perc_ip,
      perc_op, perc_cb))
281
282 plt.figure(4, figsize=(6, 15))
283 plt.subplot(311)
284 plt.plot(t_x, [i[0] for i in yip])
285 plt.plot(t_x, [i[1] for i in yip])

```

```

286 plt.plot(t_x, y_flow_speed)
287
288 plt.legend(['Valor inferior de velocidade, modo em fase', 'Valor superior
de velocidade, modo em fase', 'Velocidade do escoamento'])
289 plt.ylabel('Velocidade [m/s]')
290 plt.xlabel('t (m)')
291 plt.title('Distribuicao de velocidades, t variando em +/- 20%')
292
293 plt.subplot(312)
294 plt.plot(t_x, [i[0] for i in yop])
295 plt.plot(t_x, [i[1] for i in yop])
296 plt.plot(t_x, y_flow_speed)
297
298 plt.legend(['Valor inferior de velocidade, modo fora de fase', 'Valor
superior de velocidade, modo fora de fase', 'Velocidade do escoamento'])
299 plt.ylabel('Velocidade [m/s]')
300 plt.xlabel('t (m)')
301 plt.title('Distribuicao de velocidades, t variando em +/- 20%')
302
303 plt.subplot(313)
304 plt.plot(t_x, [i[0] for i in ycb])
305 plt.plot(t_x, [i[1] for i in ycb])
306 plt.plot(t_x, y_flow_speed)
307
308 plt.legend(['Valor inferior de velocidade, modo de flexao local', 'Valor
superior de velocidade, modo de flexao local', 'Velocidade do escoamento
'])
309 plt.ylabel('Velocidade [m/s]')
310 plt.xlabel('t (m)')
311 plt.title('Distribuicao de velocidades, t variando em +/- 20%')
312
313 plt.savefig('texto/figuras/graphs/sensibility_test/t.png', bbox_inches='
tight')
314
315 #
#####

316 # Di
317
318 y1 = [] #to check if value are changing
319 yip = [] #will import value of freq. of the in-phase mode
320 yop = [] #will import value of freq. of the out-of-phase mode
321 ycb = [] #will import value of freq. of the conv. bending mode
322 y_flow_speed = [] #will import values of flow speed
323 hoses_coupling_ip = 0
324 hoses_coupling_op = 0
325 hoses_coupling_cb = 0

```



```

326
327 for i in Di_x:
328     new_hose = fh.new_hose(sigma=fh.sigma, Lambda=fh.Lambda, h=fh.h, t=fh.t
, Di=i, De=fh.De, Np=fh.Np, Nc=fh.Nc, E=fh.E, rho_m=fh.rho_m)
329     new_fluid = f.new_fluid(p=f.p, T=f.T, m_dot=f.m_dot, rho_f=f.rho_f,
gamma=f.gamma)
330
331     vell_ip = eq.vel_range(new_fluid, new_hose, eq.f_IP)[0]
332     velu_ip = eq.vel_range(new_fluid, new_hose, eq.f_IP)[2]
333     vell_op = eq.vel_range(new_fluid, new_hose, eq.f_OP)[0]
334     velu_op = eq.vel_range(new_fluid, new_hose, eq.f_OP)[2]
335     vell_cb = eq.vel_range(new_fluid, new_hose, eq.f_CB)[0]
336     velu_cb = eq.vel_range(new_fluid, new_hose, eq.f_CB)[2]
337     flow_speed = eq.flow_speed(new_fluid, new_hose)
338
339     #assessment of hose coupling for the in-phase mode
340     if vell_ip < flow_speed and flow_speed < velu_ip:
341         hoses_coupling_ip += 1
342     #assessment of hose coupling for the out-of-phase mode
343     if vell_op < flow_speed and flow_speed < velu_op:
344         hoses_coupling_op += 1
345     #assessment of hose coupling for the conv. bending mode
346     if vell_cb < flow_speed and flow_speed < velu_cb:
347         hoses_coupling_cb += 1
348
349     y1.append(new_hose.Di)
350     yip.append([vell_ip, velu_ip])
351     yop.append([vell_op, velu_op])
352     ycb.append([vell_cb, velu_cb])
353     y_flow_speed.append(flow_speed)
354
355     perc_ip = (hoses_coupling_ip / len(Di_x)) * 100
356     perc_op = (hoses_coupling_op / len(Di_x)) * 100
357     perc_cb = (hoses_coupling_cb / len(Di_x)) * 100
358
359     log_vel_range_ip.write('Di          |      %.2f      |      %.2f      |      %.2f      |
          %.2f      |      %.2f      |      %.2f\n' %(yip[0][0], eq.vel_range(f, fh,
eq.f_IP)[0], yip[9999][0], 100*((eq.vel_range(f, fh, eq.f_IP)[0]-yip
[0][0])/eq.vel_range(f, fh, eq.f_IP)[0]), 100*((yip[9999][0]-eq.
vel_range(f, fh, eq.f_IP)[0])/eq.vel_range(f, fh, eq.f_IP)[0]), (100*((
eq.vel_range(f, fh, eq.f_IP)[0]-yip[0][0])/eq.vel_range(f, fh, eq.f_IP)
[0]) + 100*((yip[9999][0]-eq.vel_range(f, fh, eq.f_IP)[0])/eq.vel_range(
f, fh, eq.f_IP)[0]))))
360
361     log_vel_range_op.write('Di          |      %.2f      |      %.2f      |      %.2f      |
          %.2f      |      %.2f      |      %.2f\n' %(yop[0][0], eq.vel_range(f, fh,
eq.f_OP)[0], yop[9999][0], 100*((eq.vel_range(f, fh, eq.f_OP)[0]-yop

```

```

[0][0])/eq.vel_range(f, fh, eq.f_OP)[0]), 100*((yop[9999][0] - eq.
vel_range(f, fh, eq.f_OP)[0])/eq.vel_range(f, fh, eq.f_OP)[0]), (100*((
eq.vel_range(f, fh, eq.f_OP)[0] - yop[0][0])/eq.vel_range(f, fh, eq.f_OP)
[0]) + 100*((yop[9999][0] - eq.vel_range(f, fh, eq.f_OP)[0])/eq.vel_range(
f, fh, eq.f_OP)[0]))))
362
363 log_vel_range_cb.write('Di          |      %.2f      |      %.2f      |      %.2f      |
      %.2f      |      %.2f      |      %.2f\n' %(ycb[0][0], eq.vel_range(f, fh,
eq.f_CB)[0], ycb[9999][0], 100*((eq.vel_range(f, fh, eq.f_CB)[0] - ycb
[0][0])/eq.vel_range(f, fh, eq.f_CB)[0]), 100*((ycb[9999][0] - eq.
vel_range(f, fh, eq.f_CB)[0])/eq.vel_range(f, fh, eq.f_CB)[0]), (100*((
eq.vel_range(f, fh, eq.f_CB)[0] - ycb[0][0])/eq.vel_range(f, fh, eq.f_CB)
[0]) + 100*((ycb[9999][0] - eq.vel_range(f, fh, eq.f_CB)[0])/eq.vel_range(
f, fh, eq.f_CB)[0]))))
364
365 log_flow_speed.write('Di          |      %.2f      |      %.2f      |      %.2f      |
      %.2f      |      %.2f      |      %.2f\n' %(y_flow_speed[9999], eq.flow_speed(f,
fh), y_flow_speed[0], 100*((eq.flow_speed(f, fh) - y_flow_speed[9999])/eq.
flow_speed(f, fh)), 100*((y_flow_speed[0] - eq.flow_speed(f, fh))/eq.
flow_speed(f, fh)), (100*((eq.flow_speed(f, fh) - y_flow_speed[9999])/eq.
flow_speed(f, fh)) + 100*((y_flow_speed[0] - eq.flow_speed(f, fh))/eq.
flow_speed(f, fh))))))
366
367 #write values of percentage of coupling for variable analysed
368 txt.write('Di          |      %.2f      |      %.2f      |      %.2f      \n' %(perc_ip,
perc_op, perc_cb))
369
370 plt.figure(5, figsize=(6, 15))
371 plt.subplot(311)
372 plt.plot(Di_x, [i[0] for i in yip])
373 plt.plot(Di_x, [i[1] for i in yip])
374 plt.plot(Di_x, y_flow_speed)
375
376 plt.legend(['Valor inferior de velocidade, modo em fase', 'Valor superior
de velocidade, modo em fase', 'Velocidade do escoamento'])
377 plt.ylabel('Velocidade [m/s]')
378 plt.xlabel('Di (m)')
379 plt.title('Distribuicao de velocidades, Di variando em +/- 20%')
380
381 plt.subplot(312)
382 plt.plot(Di_x, [i[0] for i in yop])
383 plt.plot(Di_x, [i[1] for i in yop])
384 plt.plot(Di_x, y_flow_speed)
385
386 plt.legend(['Valor inferior de velocidade, modo fora de fase', 'Valor
superior de velocidade, modo fora de fase', 'Velocidade do escoamento'])
387 plt.ylabel('Velocidade [m/s]')

```

```

388 plt.xlabel('Di (m)')
389 plt.title('Distribuicao de velocidades, Di variando em +/- 20%')
390
391 plt.subplot(313)
392 plt.plot(Di_x, [i[0] for i in ycb])
393 plt.plot(Di_x, [i[1] for i in ycb])
394 plt.plot(Di_x, y_flow_speed)
395
396 plt.legend(['Valor inferior de velocidade, modo de flexao local', 'Valor
            superior de velocidade, modo de flexao local', 'Velocidade do escoamento
            '])
397 plt.ylabel('Velocidade [m/s]')
398 plt.xlabel('Di (m)')
399 plt.title('Distribuicao de velocidades, Di variando em +/- 20%')
400
401 plt.savefig('texto/figuras/graphs/sensibility_test/Di.png',bbox_inches='
            tight')
402
403 #
            #####
404 #      E
405
406 y1 = [] #to check if value are changing
407 yip = [] #will import value of freq. of the in-phase mode
408 yop = [] #will import value of freq. of the out-of-phase mode
409 ycb = [] #will import value of freq. of the conv. bending mode
410 y_flow_speed = [] #will import values of flow speed
411 hoses_coupling_ip = 0
412 hoses_coupling_op = 0
413 hoses_coupling_cb = 0
414
415 for i in E_x:
416     new_hose = fh.new_hose(sigma=fh.sigma, Lambda=fh.Lambda, h=fh.h, t=fh.t
            , Di=fh.Di, De=fh.De, Np=fh.Np, Nc=fh.Nc, E=i, rho_m=fh.rho_m)
417     new_fluid = f.new_fluid(p=f.p, T=f.T, m_dot=f.m_dot, rho_f=f.rho_f,
            gamma=f.gamma)
418
419     vell_ip = eq.vel_range(new_fluid, new_hose, eq.f_IP)[0]
420     velu_ip = eq.vel_range(new_fluid, new_hose, eq.f_IP)[2]
421     vell_op = eq.vel_range(new_fluid, new_hose, eq.f_OP)[0]
422     velu_op = eq.vel_range(new_fluid, new_hose, eq.f_OP)[2]
423     vell_cb = eq.vel_range(new_fluid, new_hose, eq.f_CB)[0]
424     velu_cb = eq.vel_range(new_fluid, new_hose, eq.f_CB)[2]
425     flow_speed = eq.flow_speed(new_fluid, new_hose)
426
427     #assessment of hose coupling for the in-phase mode

```

```

428     if vell_ip < flow_speed and flow_speed < velu_ip:
429         hoses_coupling_ip += 1
430     #assessment of hose coupling for the out-of-phase-phase mode
431     if vell_op < flow_speed and flow_speed < velu_op:
432         hoses_coupling_op += 1
433     #assessment of hose coupling for the conv. bending mode
434     if vell_cb < flow_speed and flow_speed < velu_cb:
435         hoses_coupling_cb += 1
436
437     y1.append(new_hose.E)
438     yip.append([vell_ip, velu_ip])
439     yop.append([vell_op, velu_op])
440     ycb.append([vell_cb, velu_cb])
441     y_flow_speed.append(flow_speed)
442
443     perc_ip = (hoses_coupling_ip / len(E_x)) * 100
444     perc_op = (hoses_coupling_op / len(E_x)) * 100
445     perc_cb = (hoses_coupling_cb / len(E_x)) * 100
446
447     log_vel_range_ip.write('E          |      %.2f      |      %.2f      |      %.2f      |
          %.2f      |      %.2f      |      %.2f\n' %(yip[0][0], eq.vel_range(f, fh,
eq.f_IP)[0], yip[9999][0], 100*((eq.vel_range(f, fh, eq.f_IP)[0]-yip
[0][0])/eq.vel_range(f, fh, eq.f_IP)[0]), 100*((yip[9999][0]-eq.
vel_range(f, fh, eq.f_IP)[0])/eq.vel_range(f, fh, eq.f_IP)[0]), (100*((
eq.vel_range(f, fh, eq.f_IP)[0]-yip[0][0])/eq.vel_range(f, fh, eq.f_IP)
[0]) + 100*((yip[9999][0]-eq.vel_range(f, fh, eq.f_IP)[0])/eq.vel_range(
f, fh, eq.f_IP)[0]))))
448
449     log_vel_range_op.write('E          |      %.2f      |      %.2f      |      %.2f      |
          %.2f      |      %.2f      |      %.2f\n' %(yop[0][0], eq.vel_range(f, fh, eq
.f_OP)[0], yop[9999][0], 100*((eq.vel_range(f, fh, eq.f_OP)[0]-yop
[0][0])/eq.vel_range(f, fh, eq.f_OP)[0]), 100*((yop[9999][0]-eq.
vel_range(f, fh, eq.f_OP)[0])/eq.vel_range(f, fh, eq.f_OP)[0]), (100*((
eq.vel_range(f, fh, eq.f_OP)[0]-yop[0][0])/eq.vel_range(f, fh, eq.f_OP)
[0]) + 100*((yop[9999][0]-eq.vel_range(f, fh, eq.f_OP)[0])/eq.vel_range(
f, fh, eq.f_OP)[0]))))
450
451     log_vel_range_cb.write('E          |      %.2f      |      %.2f      |      %.2f      |
          %.2f      |      %.2f      |      %.2f\n' %(ycb[0][0], eq.vel_range(f, fh, eq
.f_CB)[0], ycb[9999][0], 100*((eq.vel_range(f, fh, eq.f_CB)[0]-ycb
[0][0])/eq.vel_range(f, fh, eq.f_CB)[0]), 100*((ycb[9999][0]-eq.
vel_range(f, fh, eq.f_CB)[0])/eq.vel_range(f, fh, eq.f_CB)[0]), (100*((
eq.vel_range(f, fh, eq.f_CB)[0]-ycb[0][0])/eq.vel_range(f, fh, eq.f_CB)
[0]) + 100*((ycb[9999][0]-eq.vel_range(f, fh, eq.f_CB)[0])/eq.vel_range(
f, fh, eq.f_CB)[0]))))
452
453     log_flow_speed.write('E          |      %.2f      |      %.2f      |      %.2f      |

```

```

    %.2f | %.2f | %.2f\n' %(y_flow_speed[0], eq.flow_speed(f,
    fh), y_flow_speed[9999], 100*((eq.flow_speed(f, fh)-y_flow_speed[0])/eq.
    flow_speed(f, fh)), 100*((y_flow_speed[9999]-eq.flow_speed(f, fh))/eq.
    flow_speed(f, fh)), (100*((eq.flow_speed(f, fh)-y_flow_speed[0])/eq.
    flow_speed(f, fh)) + 100*((y_flow_speed[9999]-eq.flow_speed(f, fh))/eq.
    flow_speed(f, fh))) )
454
455 #write values of percentage of coupling for variable analysed
456 txt.write('E | %.2f | %.2f | %.2f \n' %(perc_ip,
    perc_op, perc_cb))
457
458 plt.figure(6, figsize=(6, 15))
459 plt.subplot(311)
460 plt.plot(E_x, [i[0] for i in yip])
461 plt.plot(E_x, [i[1] for i in yip])
462 plt.plot(E_x, y_flow_speed)
463
464 plt.legend(['Valor inferior de velocidade, modo em fase', 'Valor superior
    de velocidade, modo em fase', 'Velocidade do escoamento'])
465 plt.ylabel('Velocidade [m/s]')
466 plt.xlabel('E (Pa)')
467 plt.title('Distribuicao de velocidades, E variando em +/- 20%')
468
469 plt.subplot(312)
470 plt.plot(E_x, [i[0] for i in yop])
471 plt.plot(E_x, [i[1] for i in yop])
472 plt.plot(E_x, y_flow_speed)
473
474 plt.legend(['Valor inferior de velocidade, modo fora de fase', 'Valor
    superior de velocidade, modo fora de fase', 'Velocidade do escoamento'])
475 plt.ylabel('Velocidade [m/s]')
476 plt.xlabel('E (Pa)')
477 plt.title('Distribuicao de velocidades, E variando em +/- 20%')
478
479 plt.subplot(313)
480 plt.plot(E_x, [i[0] for i in ycb])
481 plt.plot(E_x, [i[1] for i in ycb])
482 plt.plot(E_x, y_flow_speed)
483
484 plt.legend(['Valor inferior de velocidade, modo de flexao local', 'Valor
    superior de velocidade, modo de flexao local', 'Velocidade do escoamento
    '])
485 plt.ylabel('Velocidade [m/s]')
486 plt.xlabel('E (Pa)')
487 plt.title('Distribuicao de velocidades, E variando em +/- 20%')
488
489 plt.savefig('texto/figuras/graphs/sensibility_test/E.png', bbox_inches='

```

```

    tight')
490
491 #
    #####

492 #     rho_m
493
494 y1 = [] #to check if value are changing
495 yip = [] #will import value of freq. of the in-phase mode
496 yop = [] #will import value of freq. of the out-of-phase mode
497 ycb = [] #will import value of freq. of the conv. bending mode
498 y_flow_speed = [] #will import values of flow speed
499 hoses_coupling_ip = 0
500 hoses_coupling_op = 0
501 hoses_coupling_cb = 0
502
503 for i in rho_m_x:
504     new_hose = fh.new_hose(sigma=fh.sigma, Lambda=fh.Lambda, h=fh.h, t=fh.t
    , Di=fh.Di, De=fh.De, Np=fh.Np, Nc=fh.Nc, E=fh.E, rho_m=i)
505     new_fluid = f.new_fluid(p=f.p, T=f.T, m_dot=f.m_dot, rho_f=f.rho_f,
    gamma=f.gamma)
506
507     vell_ip = eq.vel_range(new_fluid, new_hose, eq.f_IP)[0]
508     velu_ip = eq.vel_range(new_fluid, new_hose, eq.f_IP)[2]
509     vell_op = eq.vel_range(new_fluid, new_hose, eq.f_OP)[0]
510     velu_op = eq.vel_range(new_fluid, new_hose, eq.f_OP)[2]
511     vell_cb = eq.vel_range(new_fluid, new_hose, eq.f_CB)[0]
512     velu_cb = eq.vel_range(new_fluid, new_hose, eq.f_CB)[2]
513     flow_speed = eq.flow_speed(new_fluid, new_hose)
514
515     #assessment of hose coupling for the in-phase mode
516     if vell_ip < flow_speed and flow_speed < velu_ip:
517         hoses_coupling_ip += 1
518     #assessment of hose coupling for the out-of-phase-phase mode
519     if vell_op < flow_speed and flow_speed < velu_op:
520         hoses_coupling_op += 1
521     #assessment of hose coupling for the conv. bending mode
522     if vell_cb < flow_speed and flow_speed < velu_cb:
523         hoses_coupling_cb += 1
524
525     y1.append(new_hose.rho_m)
526     yip.append([vell_ip, velu_ip])
527     yop.append([vell_op, velu_op])
528     ycb.append([vell_cb, velu_cb])
529     y_flow_speed.append(flow_speed)
530
531 perc_ip = (hoses_coupling_ip / len(rho_m_x)) * 100

```

```

532 perc_op = (hoses_coupling_op / len(rho_m_x)) * 100
533 perc_cb = (hoses_coupling_cb / len(rho_m_x)) * 100
534
535 log_vel_range_ip.write('rho_m      |      %.2f      |      %.2f      |      %.2f      |
      %.2f      |      %.2f      |      %.2f\n' %(yip[9999][0], eq.vel_range(f, fh
, eq.f_IP)[0], yip[0][0], 100*((eq.vel_range(f, fh, eq.f_IP)[0]-yip
[9999][0])/eq.vel_range(f, fh, eq.f_IP)[0]), 100*((yip[0][0]-eq.
vel_range(f, fh, eq.f_IP)[0])/eq.vel_range(f, fh, eq.f_IP)[0]), (100*((
eq.vel_range(f, fh, eq.f_IP)[0]-yip[9999][0])/eq.vel_range(f, fh, eq.
f_IP)[0]) + 100*((yip[0][0]-eq.vel_range(f, fh, eq.f_IP)[0])/eq.
vel_range(f, fh, eq.f_IP)[0]))))
536
537 log_vel_range_op.write('rho_m      |      %.2f      |      %.2f      |      %.2f      |
      %.2f      |      %.2f      |      %.2f\n' %(yop[9999][0], eq.vel_range(f, fh,
eq.f_OP)[0], yop[0][0], 100*((eq.vel_range(f, fh, eq.f_OP)[0]-yop
[9999][0])/eq.vel_range(f, fh, eq.f_OP)[0]), 100*((yop[0][0]-eq.
vel_range(f, fh, eq.f_OP)[0])/eq.vel_range(f, fh, eq.f_OP)[0]), (100*((
eq.vel_range(f, fh, eq.f_OP)[0]-yop[9999][0])/eq.vel_range(f, fh, eq.
f_OP)[0]) + 100*((yop[0][0]-eq.vel_range(f, fh, eq.f_OP)[0])/eq.
vel_range(f, fh, eq.f_OP)[0]))))
538
539 log_vel_range_cb.write('rho_m      |      %.2f      |      %.2f      |      %.2f      |
      %.2f      |      %.2f      |      %.2f\n' %(ycb[9999][0], eq.vel_range(f, fh,
eq.f_CB)[0], ycb[0][0], 100*((eq.vel_range(f, fh, eq.f_CB)[0]-ycb
[9999][0])/eq.vel_range(f, fh, eq.f_CB)[0]), 100*((ycb[0][0]-eq.
vel_range(f, fh, eq.f_CB)[0])/eq.vel_range(f, fh, eq.f_CB)[0]), (100*((
eq.vel_range(f, fh, eq.f_CB)[0]-ycb[9999][0])/eq.vel_range(f, fh, eq.
f_CB)[0]) + 100*((ycb[0][0]-eq.vel_range(f, fh, eq.f_CB)[0])/eq.
vel_range(f, fh, eq.f_CB)[0]))))
540
541 log_flow_speed.write('rho_m      |      %.2f      |      %.2f      |      %.2f      |
      %.2f      |      %.2f      |      %.2f\n' %(y_flow_speed[0], eq.flow_speed(f,
fh), y_flow_speed[9999], 100*((eq.flow_speed(f, fh)-y_flow_speed[0])/eq.
flow_speed(f, fh)), 100*((y_flow_speed[9999]-eq.flow_speed(f, fh))/eq.
flow_speed(f, fh)), (100*((eq.flow_speed(f, fh)-y_flow_speed[0])/eq.
flow_speed(f, fh)) + 100*((y_flow_speed[9999]-eq.flow_speed(f, fh))/eq.
flow_speed(f, fh))))))
542
543 #write values of percentage of coupling for variable analysed
544 txt.write('rho_m      |      %.2f      |      %.2f      |      %.2f      \n' %(perc_ip,
perc_op, perc_cb))
545
546 plt.figure(7, figsize=(6, 15))
547 plt.subplot(311)
548 plt.plot(rho_m_x, [i[0] for i in yip])
549 plt.plot(rho_m_x, [i[1] for i in yip])
550 plt.plot(rho_m_x, y_flow_speed)

```

```

551
552 plt.legend(['Valor inferior de velocidade, modo em fase', 'Valor superior
de velocidade, modo em fase', 'Velocidade do escoamento'])
553 plt.ylabel('Velocidade [m/s]')
554 plt.xlabel('\u03C1 (kg/m\u00B3)')
555 plt.title('Distribuicao de velocidades, \u03C1 variando em +/- 20%')
556
557 plt.subplot(312)
558 plt.plot(rho_m_x, [i[0] for i in yop])
559 plt.plot(rho_m_x, [i[1] for i in yop])
560 plt.plot(rho_m_x, y_flow_speed)
561
562 plt.legend(['Valor inferior de velocidade, modo fora de fase', 'Valor
superior de velocidade, modo fora de fase', 'Velocidade do escoamento'])
563 plt.ylabel('Velocidade [m/s]')
564 plt.xlabel('\u03C1 (kg/m\u00B3)')
565 plt.title('Distribuicao de velocidades, \u03C1 variando em +/- 20%')
566
567 plt.subplot(313)
568 plt.plot(rho_m_x, [i[0] for i in ycb])
569 plt.plot(rho_m_x, [i[1] for i in ycb])
570 plt.plot(rho_m_x, y_flow_speed)
571
572 plt.legend(['Valor inferior de velocidade, modo de flexao local', 'Valor
superior de velocidade, modo de flexao local', 'Velocidade do escoamento
'])
573 plt.ylabel('Velocidade [m/s]')
574 plt.xlabel('\u03C1 (kg/m\u00B3)')
575 plt.title('Distribuicao de velocidades, \u03C1 variando em +/- 20%')
576
577 plt.savefig('texto/figuras/graphs/sensibility_test/rho_m.png', bbox_inches='
tight')
578
579 #
#####

580 #      m_dot
581
582 y1 = [] #to check if value are changing
583 yip = [] #will import value of freq. of the in-phase mode
584 yop = [] #will import value of freq. of the out-of-phase mode
585 ycb = [] #will import value of freq. of the conv. bending mode
586 y_flow_speed = [] #will import values of flow speed
587 hoses_coupling_ip = 0
588 hoses_coupling_op = 0
589 hoses_coupling_cb = 0
590

```



```

591 for i in m_dot_x:
592     new_hose = fh.new_hose(sigma=fh.sigma, Lambda=fh.Lambda, h=fh.h, t=fh.t
, Di=fh.Di, De=fh.De, Np=fh.Np, Nc=fh.Nc, E=fh.E, rho_m=fh.rho_m)
593     new_fluid = f.new_fluid(p=f.p, T=f.T, m_dot=i, rho_f=f.rho_f, gamma=f.
gamma)
594
595     vell_ip = eq.vel_range(new_fluid, new_hose, eq.f_IP)[0]
596     velu_ip = eq.vel_range(new_fluid, new_hose, eq.f_IP)[2]
597     vell_op = eq.vel_range(new_fluid, new_hose, eq.f_OP)[0]
598     velu_op = eq.vel_range(new_fluid, new_hose, eq.f_OP)[2]
599     vell_cb = eq.vel_range(new_fluid, new_hose, eq.f_CB)[0]
600     velu_cb = eq.vel_range(new_fluid, new_hose, eq.f_CB)[2]
601     flow_speed = eq.flow_speed(new_fluid, new_hose)
602
603     #assessment of hose coupling for the in-phase mode
604     if vell_ip < flow_speed and flow_speed < velu_ip:
605         hoses_coupling_ip += 1
606     #assessment of hose coupling for the out-of-phase mode
607     if vell_op < flow_speed and flow_speed < velu_op:
608         hoses_coupling_op += 1
609     #assessment of hose coupling for the conv. bending mode
610     if vell_cb < flow_speed and flow_speed < velu_cb:
611         hoses_coupling_cb += 1
612
613     y1.append(new_fluid.m_dot)
614     yip.append([vell_ip, velu_ip])
615     yop.append([vell_op, velu_op])
616     ycb.append([vell_cb, velu_cb])
617     y_flow_speed.append(flow_speed)
618
619 perc_ip = (hoses_coupling_ip / len(m_dot_x)) * 100
620 perc_op = (hoses_coupling_op / len(m_dot_x)) * 100
621 perc_cb = (hoses_coupling_cb / len(m_dot_x)) * 100
622
623 log_vel_range_ip.write('m_dot      |      %.2f      |      %.2f      |      %.2f      |
        %.2f      |      %.2f      |      %.2f\n' %(yip[0][0], eq.vel_range(f, fh,
eq.f_IP)[0], yip[9999][0], 100*((eq.vel_range(f, fh, eq.f_IP)[0]-yip
[0][0])/eq.vel_range(f, fh, eq.f_IP)[0]), 100*((yip[9999][0]-eq.
vel_range(f, fh, eq.f_IP)[0])/eq.vel_range(f, fh, eq.f_IP)[0]), (100*((
eq.vel_range(f, fh, eq.f_IP)[0]-yip[0][0])/eq.vel_range(f, fh, eq.f_IP)
[0]) + 100*((yip[9999][0]-eq.vel_range(f, fh, eq.f_IP)[0])/eq.vel_range(
f, fh, eq.f_IP)[0]))))
624
625 log_vel_range_op.write('m_dot      |      %.2f      |      %.2f      |      %.2f      |
        %.2f      |      %.2f      |      %.2f\n' %(yop[0][0], eq.vel_range(f, fh,
eq.f_OP)[0], yop[9999][0], 100*((eq.vel_range(f, fh, eq.f_OP)[0]-yop
[0][0])/eq.vel_range(f, fh, eq.f_OP)[0]), 100*((yop[9999][0]-eq.

```

```

vel_range(f, fh, eq.f_OP)[0])/eq.vel_range(f, fh, eq.f_OP)[0]), (100*((
eq.vel_range(f, fh, eq.f_OP)[0]-yop[0][0])/eq.vel_range(f, fh, eq.f_OP)
[0]) + 100*((yop[9999][0]-eq.vel_range(f, fh, eq.f_OP)[0])/eq.vel_range(
f, fh, eq.f_OP)[0]))))
626
627 log_vel_range_cb.write('m_dot      |      %.2f      |      %.2f      |      %.2f      |
      %.2f      |      %.2f      |      %.2f\n' %(ycb[0][0], eq.vel_range(f, fh,
eq.f_CB)[0], ycb[9999][0], 100*((eq.vel_range(f, fh, eq.f_CB)[0]-ycb
[0][0])/eq.vel_range(f, fh, eq.f_CB)[0]), 100*((ycb[9999][0]-eq.
vel_range(f, fh, eq.f_CB)[0])/eq.vel_range(f, fh, eq.f_CB)[0]), (100*((
eq.vel_range(f, fh, eq.f_CB)[0]-ycb[0][0])/eq.vel_range(f, fh, eq.f_CB)
[0]) + 100*((ycb[9999][0]-eq.vel_range(f, fh, eq.f_CB)[0])/eq.vel_range(
f, fh, eq.f_CB)[0]))))
628
629 log_flow_speed.write('m_dot      |      %.2f      |      %.2f      |      %.2f      |
      %.2f      |      %.2f      |      %.2f\n' %(y_flow_speed[0], eq.flow_speed(f, fh
), y_flow_speed[9999], 100*((eq.flow_speed(f, fh)-y_flow_speed[0])/eq.
flow_speed(f, fh)), 100*((y_flow_speed[9999]-eq.flow_speed(f, fh))/eq.
flow_speed(f, fh)), (100*((eq.flow_speed(f, fh)-y_flow_speed[0])/eq.
flow_speed(f, fh)) + 100*((y_flow_speed[9999]-eq.flow_speed(f, fh))/eq.
flow_speed(f, fh))))))
630
631 #write values of percentage of coupling for variable analysed
632 txt.write('m_dot      |      %.2f      |      %.2f      |      %.2f      \n' %(perc_ip,
perc_op, perc_cb))
633
634 plt.figure(8, figsize=(6, 15))
635 plt.subplot(311)
636 plt.plot(m_dot_x, [i[0] for i in yip])
637 plt.plot(m_dot_x, [i[1] for i in yip])
638 plt.plot(m_dot_x, y_flow_speed)
639
640 plt.legend(['Valor inferior de velocidade, modo em fase', 'Valor superior
de velocidade, modo em fase', 'Velocidade do escoamento'])
641 plt.ylabel('Velocidade [m/s]')
642 plt.xlabel('\u1E41 (kg/s)')
643 plt.title('Distribuicao de velocidades, \u1E41 variando em +/- 20%')
644
645 plt.subplot(312)
646 plt.plot(m_dot_x, [i[0] for i in yop])
647 plt.plot(m_dot_x, [i[1] for i in yop])
648 plt.plot(m_dot_x, y_flow_speed)
649
650 plt.legend(['Valor inferior de velocidade, modo fora de fase', 'Valor
superior de velocidade, modo fora de fase', 'Velocidade do escoamento'])
651 plt.ylabel('Velocidade [m/s]')
652 plt.xlabel('\u1E41 (kg/s)')

```

```

653 plt.title('Distribuicao de velocidades, \u1E41 variando em +/- 20%')
654
655 plt.subplot(313)
656 plt.plot(m_dot_x, [i[0] for i in ycb])
657 plt.plot(m_dot_x, [i[1] for i in ycb])
658 plt.plot(m_dot_x, y_flow_speed)
659
660 plt.legend(['Valor inferior de velocidade, modo de flexao local', 'Valor
        superior de velocidade, modo de flexao local', 'Velocidade do escoamento
        '])
661 plt.ylabel('Velocidade [m/s]')
662 plt.xlabel('\u1E41 (kg/s)')
663 plt.title('Distribuicao de velocidades, \u1E41 variando em +/- 20%')
664
665 plt.savefig('texto/figuras/graphs/sensibility_test/m_dot.png', bbox_inches='
        tight')
666
667 #
        #####

668 #      rho_f
669
670 y1 = [] #to check if value are changing
671 yip = [] #will import value of freq. of the in-phase mode
672 yop = [] #will import value of freq. of the out-of-phase mode
673 ycb = [] #will import value of freq. of the conv. bending mode
674 y_flow_speed = [] #will import values of flow speed
675 hoses_coupling_ip = 0
676 hoses_coupling_op = 0
677 hoses_coupling_cb = 0
678
679 for i in rho_f_x:
680     new_hose = fh.new_hose(sigma=fh.sigma, Lambda=fh.Lambda, h=fh.h, t=fh.t
        , Di=fh.Di, De=fh.De, Np=fh.Np, Nc=fh.Nc, E=fh.E, rho_m=fh.rho_m)
681     new_fluid = f.new_fluid(p=f.p, T=f.T, m_dot=f.m_dot, rho_f=i, gamma=f.
        gamma)
682
683     vell_ip = eq.vel_range(new_fluid, new_hose, eq.f_IP)[0]
684     velu_ip = eq.vel_range(new_fluid, new_hose, eq.f_IP)[2]
685     vell_op = eq.vel_range(new_fluid, new_hose, eq.f_OP)[0]
686     velu_op = eq.vel_range(new_fluid, new_hose, eq.f_OP)[2]
687     vell_cb = eq.vel_range(new_fluid, new_hose, eq.f_CB)[0]
688     velu_cb = eq.vel_range(new_fluid, new_hose, eq.f_CB)[2]
689     flow_speed = eq.flow_speed(new_fluid, new_hose)
690
691     #assessment of hose coupling for the in-phase mode
692     if vell_ip < flow_speed and flow_speed < velu_ip:

```

```

693     hoses_coupling_ip += 1
694     #assessment of hose coupling for the out-of-phase-phase mode
695     if vell_op < flow_speed and flow_speed < velu_op:
696         hoses_coupling_op += 1
697     #assessment of hose coupling for the conv. bending mode
698     if vell_cb < flow_speed and flow_speed < velu_cb:
699         hoses_coupling_cb += 1
700
701     y1.append(new_fluid.rho_f)
702     yip.append([vell_ip, velu_ip])
703     yop.append([vell_op, velu_op])
704     ycb.append([vell_cb, velu_cb])
705     y_flow_speed.append(flow_speed)
706
707     perc_ip = (hoses_coupling_ip / len(rho_f_x)) * 100
708     perc_op = (hoses_coupling_op / len(rho_f_x)) * 100
709     perc_cb = (hoses_coupling_cb / len(rho_f_x)) * 100
710
711     log_vel_range_ip.write('rho_f      |      %.2f      |      %.2f      |      %.2f      |
712                            %.2f      |      %.2f      |      %.2f\n' % (yip[0][0], eq.vel_range(f, fh, eq
713                            .f_IP)[0], yip[9999][0], 100*((eq.vel_range(f, fh, eq.f_IP)[0] - yip
714                            [0][0])/eq.vel_range(f, fh, eq.f_IP)[0]), 100*((yip[9999][0] - eq.
715                            vel_range(f, fh, eq.f_IP)[0])/eq.vel_range(f, fh, eq.f_IP)[0]), (100*((
716                            eq.vel_range(f, fh, eq.f_IP)[0] - yip[0][0])/eq.vel_range(f, fh, eq.f_IP)
717                            [0]) + 100*((yip[9999][0] - eq.vel_range(f, fh, eq.f_IP)[0])/eq.vel_range(
718                            f, fh, eq.f_IP)[0]))))
719
720     log_vel_range_op.write('rho_f      |      %.2f      |      %.2f      |      %.2f      |
721                            %.2f      |      %.2f      |      %.2f\n' % (yop[0][0], eq.vel_range(f, fh, eq.
722                            f_OP)[0], yop[9999][0], 100*((eq.vel_range(f, fh, eq.f_OP)[0] - yop[0][0])
723                            /eq.vel_range(f, fh, eq.f_OP)[0]), 100*((yop[9999][0] - eq.vel_range(f, fh
724                            , eq.f_OP)[0])/eq.vel_range(f, fh, eq.f_OP)[0]), (100*((eq.vel_range(f,
725                            fh, eq.f_OP)[0] - yop[0][0])/eq.vel_range(f, fh, eq.f_OP)[0]) + 100*((yop
726                            [9999][0] - eq.vel_range(f, fh, eq.f_OP)[0])/eq.vel_range(f, fh, eq.f_OP)
727                            [0]))))
728
729     log_vel_range_cb.write('rho_f      |      %.2f      |      %.2f      |      %.2f      |
730                            %.2f      |      %.2f      |      %.2f\n' % (ycb[0][0], eq.vel_range(f, fh, eq.
731                            f_CB)[0], ycb[9999][0], 100*((eq.vel_range(f, fh, eq.f_CB)[0] - ycb[0][0])
732                            /eq.vel_range(f, fh, eq.f_CB)[0]), 100*((ycb[9999][0] - eq.vel_range(f, fh
733                            , eq.f_CB)[0])/eq.vel_range(f, fh, eq.f_CB)[0]), (100*((eq.vel_range(f,
734                            fh, eq.f_CB)[0] - ycb[0][0])/eq.vel_range(f, fh, eq.f_CB)[0]) + 100*((ycb
735                            [9999][0] - eq.vel_range(f, fh, eq.f_CB)[0])/eq.vel_range(f, fh, eq.f_CB)
736                            [0]))))
737
738     log_flow_speed.write('rho_f      |      %.2f      |      %.2f      |      %.2f      |
739                            %.2f      |      %.2f      |      %.2f\n' % (y_flow_speed[9999], eq.flow_speed(f,

```

```

    fh), y_flow_speed[0], 100*((eq.flow_speed(f, fh)-y_flow_speed[9999])/eq
    .flow_speed(f, fh)), 100*((y_flow_speed[0]-eq.flow_speed(f, fh))/eq.
    flow_speed(f, fh)), (100*((eq.flow_speed(f, fh)-y_flow_speed[9999])/eq.
    flow_speed(f, fh)) + 100*((y_flow_speed[0]-eq.flow_speed(f, fh))/eq.
    flow_speed(f, fh))) )
718
719 #write values of percentage of coupling for variable analysed
720 txt.write('rho_f      |      %.2f      |      %.2f      |      %.2f      \n' %(perc_ip ,
    perc_op, perc_cb))
721
722 plt.figure(9, figsize=(6, 15))
723 plt.subplot(311)
724 plt.plot(rho_f_x, [i[0] for i in yip])
725 plt.plot(rho_f_x, [i[1] for i in yip])
726 plt.plot(rho_f_x, y_flow_speed)
727
728 plt.legend(['Valor inferior de velocidade, modo em fase', 'Valor superior
    de velocidade, modo em fase', 'Velocidade do escoamento'])
729 plt.ylabel('Velocidade [m/s]')
730 plt.xlabel('$\u03C1_f$ (kg/m\u00B3)')
731 plt.title('Distribuicao de velocidades, $\u03C1_f$ variando em +/- 20%')
732
733 plt.subplot(312)
734 plt.plot(rho_f_x, [i[0] for i in yop])
735 plt.plot(rho_f_x, [i[1] for i in yop])
736 plt.plot(rho_f_x, y_flow_speed)
737
738 plt.legend(['Valor inferior de velocidade, modo fora de fase', 'Valor
    superior de velocidade, modo fora de fase', 'Velocidade do escoamento'])
739 plt.ylabel('Velocidade [m/s]')
740 plt.xlabel('$\u03C1_f$ (kg/m\u00B3)')
741 plt.title('Distribuicao de velocidades, $\u03C1_f$ variando em +/- 20%')
742
743 plt.subplot(313)
744 plt.plot(rho_f_x, [i[0] for i in ycb])
745 plt.plot(rho_f_x, [i[1] for i in ycb])
746 plt.plot(rho_f_x, y_flow_speed)
747
748 plt.legend(['Valor inferior de velocidade, modo de flexao local', 'Valor
    superior de velocidade, modo de flexao local', 'Velocidade do escoamento
    '])
749 plt.ylabel('Velocidade [m/s]')
750 plt.xlabel('$\u03C1_f$ (kg/m\u00B3)')
751 plt.title('Distribuicao de velocidades, $\u03C1_f$ variando em +/- 20%')
752
753 plt.savefig('texto/figuras/graphs/sensibility_test/rho_f.png', bbox_inches='
    tight')

```


APÊNDICE G – Monte-Carlo-Analysis.py

```

1 import time
2 import matplotlib.pyplot as plt
3 import fluid, equations, flexhose
4
5 #starting calculation of computing time
6 start_time = time.time()
7
8 f = fluid.Fluid()
9 fh = flexhose.FlexHose()
10 eq = equations.Equations()
11
12 # y[0] = flow-speed
13 # y[1] = lower velocity in-phase random
14 # y[2] = upper velocity in-phase random
15
16 txt = open('Monte-Carlo-Simulation.txt', 'a')
17 # txt.write('Parametro | qnt acoplamento | total de mangueiras |
18 #          Porcentagem de acoplamento\n')
19
20 txt.write('
21
22
23
24
25
26
27
28
29
30
31
32
33
34
35
36
37
38
39
40

```

```
41 txt.write('todas10m | '+str(num_hoses_coupling)+' | '+str(len(x))+' | %.2f\
    n' %perc_coup)
42 y = sorted(y)
43
44 plt.figure(1, figsize=(10, 10))
45 plt.subplot(211)
46 plt.plot(x, [i[1] for i in y], '1')
47 plt.plot(x, [i[2] for i in y], '1')
48 plt.plot(x, [i[0] for i in y], '1')
49
50 plt.legend(['Valor inferior de velocidade, modo em-fase', 'Valor superior
    de velocidade, modo em-fase', 'Velocidade do escoamento'])
51 plt.ylabel('Velocidade [m/s]')
52 plt.title('Distribuicao de velocidades, randomizando todos os parametros')
53
54 plt.subplot(212)
55 plt.plot(x, [i[1] for i in y], '1')
56 plt.plot(x, [i[0] for i in y], '1')
57
58 plt.legend(['Valor inferior de velocidade, modo em-fase', 'Velocidade do
    escoamento'])
59 plt.ylabel('Velocidade [m/s]')
60 plt.xlabel('# do exemplar randomico de mangueira')
61
62 elapsed_time = time.time() - start_time
63 print('Execution time: %.2f s' %elapsed_time)
64 plt.savefig('texto/figuras/graphs/Monte_Carlo/todas10m.png', bbox_inches='
    tight')
65 # plt.show()
```


APÊNDICE H – histograma-io-h.py

```

1 import fluid , equations , flexhose
2 from numpy import linspace , std , mean
3 import matplotlib.pyplot as plt
4 import scipy.stats as stats
5
6 f = fluid.Fluid()
7 fh = flexhose.FlexHose()
8 eq = equations.Equations()
9
10 #standard deviation
11 sd_h = 0.05*fh.h
12 #alpha and beta for h value
13 alpha_h = (fh.h/sd_h)**2
14 beta_h = (sd_h**2)/fh.h
15
16 y_vel = [] #stores values of vell_ip_random
17 y_h = [] #stores values of h
18 num=1000000 #number of hoses (samples)
19 x = range(num) #number of hoses (samples)
20
21 #loop for generation of random hoses
22 for i in x:
23     new_hose = fh.new_random(sd_h/fh.h)
24     vell_ip_random = eq.vel_range(f, new_hose, eq.f_IP)[0]
25     y_h.append(new_hose.h)
26     y_vel.append(vell_ip_random)
27
28 #finds standard deviation and mean of vell_ip_random values
29 sd = std(y_vel)
30 mean = mean(y_vel)
31
32 vell_ip_x = linspace(mean-5*sd, mean+5*sd, num=num)
33 h_x = linspace(fh.h-5*sd_h, fh.h+5*sd_h, num=num)
34
35 #alpha and beta for vell_ip_random value
36 alpha_vel = (mean/sd)**2
37 beta_vel = (sd**2)/mean
38
39 y_vel = sorted(y_vel)
40 y_h = sorted(y_h)
41
42 #calculates pdf for h (in)
43 y_h_gamma = stats.gamma.pdf(h_x, alpha_h, scale=beta_h)

```

```
44 # y_h_gauss = stats.norm.pdf(h_x, loc=fh.h, scale=sd_h)
45 #calculates pdf for velu_ip_random values (out)
46 y_vel_gamma = stats.gamma.pdf(vell_ip_x, alpha_vel, scale=beta_vel)
47 # y_vel_gauss = stats.norm.pdf(vell_ip_x, loc=mean, scale=sd)
48
49 plt.figure(1, figsize=(10, 10))
50 #plot histogram for in (h)
51 plt.subplot(211)
52 plt.hist(y_h, 100, density=True)
53 plt.plot(h_x, y_h_gamma)
54 # plt.plot(h_x, y_h_gauss)
55
56 plt.legend(['FDP - gamma', 'Valores gerados por bib. randomica'])
57 plt.ylabel('Frequ\u00EAncia')
58 plt.xlabel('h (m)')
59
60 #plots histogram for out (vell_ip_random)
61 plt.subplot(212)
62 plt.hist(y_vel, 100, density=True)
63 plt.plot(vell_ip_x, y_vel_gamma)
64 # plt.plot(vell_ip_x, y_vel_gauss)
65
66 plt.legend(['FDP - gamma', 'Valores calculados'])
67 plt.ylabel('Frequ\u00EAncia')
68 plt.xlabel('Velocidade inferior, modo em fase (m/s)')
69
70 plt.savefig('texto/figuras/graphs/histograma/h.png', bbox_inches='tight')
71 # plt.show()
```

APÊNDICE I – histograma-io-Di.py

```

1 import fluid , equations , flexhose
2 from numpy import linspace , std , mean
3 import matplotlib.pyplot as plt
4 import scipy.stats as stats
5
6 f = fluid.Fluid()
7 fh = flexhose.FlexHose()
8 eq = equations.Equations()
9
10 #standard deviation
11 sd_Di = 0.05*fh.Di
12 #alpha and beta for h value
13 alpha_Di = (fh.Di/sd_Di)**2
14 beta_Di = (sd_Di**2)/fh.Di
15
16 y_vel = [] #stores values of flow_speed
17 y_Di = [] #stores values of Di
18 num=1000000 #number of hoses (samples)
19 x = range(num) #number of hoses (samples)
20
21 #loop for generation of random hoses
22 for i in x:
23     new_hose = fh.new_random(sd_Di/fh.Di)
24     flow_speed = eq.flow_speed(f , new_hose)
25     y_Di.append(new_hose.Di)
26     y_vel.append(flow_speed)
27
28 #finds standard deviation and mean of flow_speed values
29 sd = std(y_vel)
30 mean = mean(y_vel)
31
32 vell_ip_x = linspace(mean-5*sd , mean+5*sd , num=num)
33 Di_x = linspace(fh.Di-5*sd_Di , fh.Di+5*sd_Di , num=num)
34
35 #alpha and beta for flow_speed value
36 alpha_vel = (mean/sd)**2
37 beta_vel = (sd**2)/mean
38
39 y_vel = sorted(y_vel)
40 y_Di = sorted(y_Di)
41
42 #calculates pdf for Di (in)
43 y_Di_gamma = stats.gamma.pdf(Di_x , alpha_Di , scale=beta_Di)

```

```
44 y_Di_gauss = stats.norm.pdf(Di_x, loc=fh.Di, scale=sd_Di)
45 #calculates pdf for velu_ip_random values (out)
46 y_vel_gamma = stats.gamma.pdf(vell_ip_x, alpha_vel, scale=beta_vel)
47 y_vel_gauss = stats.norm.pdf(vell_ip_x, loc=mean, scale=sd)
48
49 plt.figure(1, figsize=(10, 10))
50 #plot histogram for in (Di)
51 plt.subplot(211)
52 plt.hist(y_Di, 100, density=True)
53 plt.plot(Di_x, y_Di_gamma)
54 # plt.plot(Di_x, y_Di_gauss)
55
56 plt.legend(['FDP - gamma', 'Valores gerados por bib. randomica'])
57 plt.ylabel('Frequ\u00EAncia')
58 plt.xlabel('Di (m)')
59
60 #plots histogram for out (flow_speed)
61 plt.subplot(212)
62 plt.hist(y_vel, 100, density=True)
63 plt.plot(vell_ip_x, y_vel_gamma)
64 # plt.plot(vell_ip_x, y_vel_gauss)
65
66 plt.legend(['FDP - gamma', 'Valores calculados'])
67 plt.ylabel('Frequ\u00EAncia')
68 plt.xlabel('Velocidade do escoamento (m/s)')
69
70 plt.savefig('texto/figuras/graphs/histograma/Di.png', bbox_inches='tight')
71 # plt.show()
```

APÊNDICE J – SD-Analysis-h.py

```

1 import time
2 import matplotlib.pyplot as plt
3 import fluid, equations, flexhose
4
5 #starting calculation of computing time
6 start_time = time.time()
7
8 f = fluid.Fluid()
9 fh = flexhose.FlexHose()
10 eq = equations.Equations()
11
12 # y[0] = flow-speed
13 # y[1] = lower velocity in-phase random
14 # y[2] = upper velocity in-phase random
15
16 txt = open('Monte-Carlo-Analysis-SD-var-h.txt', 'w')
17 txt.write('Des. Padrao (%h) | qnt acoplamento | total de mangueiras |
18          Porcentagem de acoplamento\n')
19
20 x = range(10000) #number of hoses (samples)
21 SD_h = [0.01, 0.02, 0.03, 0.04, 0.05, 0.06, 0.07, 0.08, 0.09, 0.1, 0.11,
22         0.12, 0.13, 0.14, 0.15, 0.16, 0.17, 0.18, 0.19, 0.2, 0.21, 0.22, 0.23,
23         0.24, 0.25, 0.26, 0.27, 0.28, 0.29, 0.30, 0.31, 0.32, 0.33, 0.34, 0.35,
24         0.36, 0.37, 0.38, 0.39, 0.40, 0.41, 0.42, 0.43, 0.44, 0.45, 0.46, 0.47,
25         0.48, 0.49, 0.50, 0.51, 0.52, 0.53, 0.54, 0.55, 0.56, 0.57, 0.58, 0.59,
26         0.60]#, 0.71, 0.72, 0.73, 0.74, 0.75, 0.76, 0.77, 0.78, 0.79, 0.80,
27         0.81, 0.82, 0.83, 0.84, 0.85, 0.86, 0.87, 0.88, 0.89, 0.90, 0.91, 0.92,
28         0.93, 0.94, 0.95, 0.96, 0.97, 0.98, 0.99, 1]
29
30 perc_coup_hoses = [] #array for percentage of hoses for each SD of h
31 sd = [] #array for SD value (in percentage of h)
32
33 for sd_h in SD_h:
34     y = []
35     num_hoses_coupling = 0
36
37     #loop for generation of random hoses
38     for i in x:

```

```

34     new_hose = fh.new_random(sd_h)
35     new_fluid = f.new_random()
36     vell_ip_random = eq.vel_range(new_fluid, new_hose, eq.f_IP)[0]
37     velu_ip_random = eq.vel_range(new_fluid, new_hose, eq.f_IP)[2]
38     flow_speed = eq.flow_speed(new_fluid, new_hose)
39     y.append([flow_speed, vell_ip_random, velu_ip_random])
40     #assessment of hose coupling for the in-phase mode
41     if vell_ip_random < flow_speed and flow_speed < velu_ip_random:
42         num_hoses_coupling += 1
43
44     perc_coup = (num_hoses_coupling / len(x)) * 100
45
46     perc_coup_hoses.append(perc_coup)
47     sd.append(sd_h*100)
48
49     txt.write('      %.1f      |'%(sd_h*100)+str(num_hoses_coupling)+' |
50 '+str(len(x))+' | %.2f\n'%(perc_coup))
51     y = sorted(y)
52
53     plt.figure(1, figsize=(10, 10))
54     plt.subplot(211)
55     plt.plot(x, [i[1] for i in y], '1')
56     plt.plot(x, [i[2] for i in y], '1')
57     plt.plot(x, [i[0] for i in y], '1')
58
59     plt.legend(['Valor inferior de velocidade, modo em-fase', 'Valor
60 superior de velocidade, modo em-fase', 'Velocidade do escoamento'])
61     plt.ylabel('Velocidade [m/s]')
62     plt.title('hstribuicao de velocidades, Desvio Padrao de h = %.2f %% de
63 h\n'%(sd_h*100))
64
65     plt.subplot(212)
66     plt.plot(x, [i[1] for i in y], '1')
67     plt.plot(x, [i[0] for i in y], '1')
68
69     plt.legend(['Valor inferior de velocidade, modo em-fase', 'Velocidade
70 do escoamento'])
71     plt.ylabel('Velocidade [m/s]')
72     plt.xlabel('# do exemplar randomico de mangueira')
73
74     elapsed_time = time.time() - start_time
75     print('Execution time: %.2f s'%(elapsed_time))
76
77     flag = '%s'%(str(sd_h*100))
78     plt.savefig('texto/figuras/graphs/Monte_Carlo/SD_Analysis/h/sd-%s.png'
79 %flag, bbox_inches='tight')
80     plt.clf()

```

```
76
77 plt.figure(1)
78 plt.bar(sd, perc_coup_hoses, width=0.8)
79 plt.xlabel('Desvio Padrao (em %h)')
80 plt.ylabel('Porcentagem de Acoplamento')
81 # plt.title('Relacao entre o desvio padrao e a porcentagem de acoplamento
82           em h')
83 plt.savefig('texto/figuras/graphs/Monte_Carlo/SD_Analysis/h/h-SD-Analysis.
84           png', bbox_inches='tight')
```


APÊNDICE K – SD-Analysis-Di.py

```

1 import time
2 import matplotlib.pyplot as plt
3 import fluid, equations, flexhose
4
5 #starting calculation of computing time
6 start_time = time.time()
7
8 f = fluid.Fluid()
9 fh = flexhose.FlexHose()
10 eq = equations.Equations()
11
12 # y[0] = flow-speed
13 # y[1] = lower velocity in-phase random
14 # y[2] = upper velocity in-phase random
15
16 txt = open('Monte-Carlo-Analysis-SD-var-Di.txt', 'w')
17 txt.write('Des. Padrao (%Di) | qnt acoplamento | total de mangueiras |
18          Porcentagem de acoplamento\n')
19
20 x = range(10000) #number of hoses (samples)
21 SD_DI = [0.01, 0.02, 0.03, 0.04, 0.05, 0.06, 0.07, 0.08, 0.09, 0.1, 0.11,
22          0.12, 0.13, 0.14, 0.15, 0.16, 0.17, 0.18, 0.19, 0.2, 0.21, 0.22, 0.23,
23          0.24, 0.25, 0.26, 0.27, 0.28, 0.29, 0.30, 0.31, 0.32, 0.33, 0.34, 0.35,
24          0.36, 0.37, 0.38, 0.39, 0.40, 0.41, 0.42, 0.43, 0.44, 0.45, 0.46, 0.47,
25          0.48, 0.49, 0.50, 0.51, 0.52, 0.53, 0.54, 0.55, 0.56, 0.57, 0.58, 0.59,
26          0.60] #0.71, 0.72, 0.73, 0.74, 0.75, 0.76, 0.77, 0.78, 0.79, 0.80, 0.81,
27          0.82, 0.83, 0.84, 0.85, 0.86, 0.87, 0.88, 0.89, 0.90, 0.91, 0.92, 0.93,
28          0.94, 0.95, 0.96, 0.97, 0.98, 0.99, 1]
29
30 perc_coup_hoses = [] #array for percentage of hoses for each SD of Di
31 sd = [] #array for SD value (in percentage of Di)
32
33 for sd_di in SD_DI:
34     y = []
35     num_hoses_coupling = 0
36
37     #loop for generation of random hoses
38     for i in x:

```

```

34     new_hose = fh.new_random(sd_di)
35     new_fluid = f.new_random()
36     vell_ip_random = eq.vel_range(new_fluid, new_hose, eq.f_IP)[0]
37     velu_ip_random = eq.vel_range(new_fluid, new_hose, eq.f_IP)[2]
38     flow_speed = eq.flow_speed(new_fluid, new_hose)
39     y.append([flow_speed, vell_ip_random, velu_ip_random])
40     #assessment of hose coupling for the in-phase mode
41     if vell_ip_random < flow_speed and flow_speed < velu_ip_random:
42         num_hoses_coupling += 1
43
44     perc_coup = (num_hoses_coupling / len(x)) * 100
45
46     perc_coup_hoses.append(perc_coup)
47     sd.append(sd_di*100)
48
49     txt.write('      %.1f      |'%(sd_di*100)+str(num_hoses_coupling)+'
| '+str(len(x))+ ' | %.2f\n' %(perc_coup))
50     y = sorted(y)
51
52     plt.figure(1, figsize=(10, 10))
53     plt.subplot(211)
54     plt.plot(x, [i[1] for i in y], '1')
55     plt.plot(x, [i[2] for i in y], '1')
56     plt.plot(x, [i[0] for i in y], '1')
57
58     plt.legend(['Valor inferior de velocidade, modo em-fase', 'Valor
superior de velocidade, modo em-fase', 'Velocidade do escoamento'])
59     plt.ylabel('Velocidade [m/s]')
60     plt.title('Distribuicao de velocidades, Desvio Padrao de Di = %.2f %%
de Di\n' %(sd_di*100))
61
62     plt.subplot(212)
63     plt.plot(x, [i[1] for i in y], '1')
64     plt.plot(x, [i[0] for i in y], '1')
65
66     plt.legend(['Valor inferior de velocidade, modo em-fase', 'Velocidade
do escoamento'])
67     plt.ylabel('Velocidade [m/s]')
68     plt.xlabel('# do exemplar randomico de mangueira')
69
70     elapsed_time = time.time() - start_time
71     print('Execution time: %.2f s' %elapsed_time)
72
73     flag = '%s' % str(sd_di*100)
74     plt.savefig('texto/figuras/graphs/Monte_Carlo/SD_Analysis/Di/sd-%s.png'
%flag ,bbox_inches='tight')
75     plt.clf()

```

```
76
77 plt.figure(1)
78 plt.bar(sd, perc_coup_hoses, width=0.8)
79 plt.xlabel('Desvio Padrao (em %Di)')
80 plt.ylabel('Porcentagem de Acoplamento')
81 # plt.title('Relacao entre o desvio padrao e a porcentagem de acoplamento
82           em Di')
83 plt.savefig('texto/figuras/graphs/Monte_Carlo/SD_Analysis/Di/Di-SD-Analysis
84           .png', bbox_inches='tight')
```